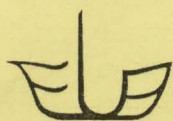


IV 517564

TRAIAN ZAHARESCU

CORNELIU PODINĂ

RADIOCHIMIA POLIMERILOR



Editura Universității din București

TRAIAN ZAHARESCU

CORNELIU PODINĂ

d. 20.10.07

RADIOCHIMIA POLIMERILOR



EDITURA UNIVERSITĂȚII DIN BUCUREȘTI
2003

Referenți științifici: Prof. dr. docent ing. **Rodica VÎLCU**
Prof. dr. **Mihai CONTINEANU**

IV 517564

Tiparul s-a executat sub c-da nr. 1097/2003
La Tipografia Editurii Universității din București

B.C.U. Bucuresti



C20035672

N21E

Descrierea CIP a Bibliotecii Naționale a României
ZAHARESCU, TRAIAN
Radiochimia polimerilor/ Traian Zaharescu, Corneliu
Podină – București: Editura Universității din București,
2003
134 p.
Bibliogr.
ISBN 973-575-803-2
I. Podină, Corneliu
678.7

Cuprins

Capitolul I		
Introducere	5	
Capitolul II		
Procese primare în radioprocесarea polimerilor	9	
Capitolul III		
Instalații de iradiere	27	
Capitolul IV		
Reacții induse de radiații ionizante în hidrocarburi	47	
Capitolul V		
Polimerizarea radioindusă.	59	
Polimerizarea în fază omogenă	64	
Capitolul VI		
Polimerizarea monomerilor în sisteme disperse	73	
Capitolul VII		
Producerea polimerilor grefați în câmp de radiații ionizante	83	
Capitolul VIII		
Reticularea polimerilor	95	
Capitolul IX		
Degradarea polimerilor	105	
Capitolul X		
Stabilizarea polimerilor la degradarea oxidativă	117	
Anexa 1	Radiostabilitatea polimerilor	127
Anexa 2	Corelarea proprietăților polimerilor cu proprietățile de interes aplicativ în vederea obținerii unui randament maxim de radioprocесare	129
Anexa 3	Clasificarea polimerilor în funcție de comportarea lor în câmp de radiații	130
Anexa 4	Repartiția dozei în probe iradiate cu electroni accelerați	131
Anexa 5	Caracteristicile câtorva dozimetre polimerice	133
Anexa 6	Energii de activare pentru scindarea lanțului principal	134

Capitolul I

INTRODUCERE

Aplicațiile practice ale procesării materialelor cu radiații ionizante evoluează continuu de la introducerea acestui tip de tehnologie cu aproape 50 de ani în urmă. Pentru scopuri comerciale procesele radiochimice sunt într-o permanentă competiție cu procedeele convenționale de fabricare sau de modificare a substratului.

Polimerii constituie produse indispensabile activității umane în care diverse clase de materiale sunt înlocuite de compușii macromoleculari cu proprietăți echivalente. Obținerea anumitor caracteristici generale sau specifice unui anumit domeniu de utilizare se poate realiza fie prin radioprosesarea monomerilor, fie prin modificări structurale sub acțiunea radiațiilor de mare energie. Ponderea prelucrării polimerilor prin procedee radiochimice raportată la ansamblul tehnologiilor clasice este din ce în ce mai mare, ajungându-se în țările dezvoltate la aproximativ 15%. În consecință, contribuția acestui mod de fabricație pentru o gamă largă de produse a devenit o practică curentă în activitatea economică, ca de exemplu polimerizarea și grefarea radioinduse, reticularea materialelor plastice, sterilizarea produselor medicale sau alimentare, obținerea de materiale celulare sau de hidrogeluri, reciclarea deșeurilor industriale sau menajere, etc.

În literatura de specialitate au apărut lucrări de referință pe baza cărora s-au putut generaliza informațiile obținute din principalele cercetări fundamentale privind efectele produse de expunerea materialelor polimerice la acțiunea radiațiilor de mare energie. Raportul dintre randamentele de scindare și de reticulare (Anexa 1) determină modalitatea de prelucrare prin iradiere a diferitelor tipuri de polimeri.

Procesele industriale de iradiere care folosesc fascicule incidente de mare energie (electroni accelerați, radiații γ sau X) sunt atractive datorită debitului mare de energie furnizată sistemului și datorită costurilor unitare cel mai adesea competitive cu tehnologiile chimice convenționale. În plus, radioprosesarea beneficiază de câteva trăsături definitorii pentru care sunt preferate alternativele radiochimice: lipsa deșeurilor care, de regulă, poluează mediul industrial, controlul strict al parametrilor tehnologici, disponibilitatea imediată a produselor pentru utilizare, versatilitatea schimbării condițiilor de expunere sau ale materialelor supuse iradierii. Cerințele energetice ale metodelor radiochimice pentru tratare a polimerilor sunt îndeplinite atunci când valorile de doză (doza totală și doza debit) sunt cele corespunzătoare randamentelor optime de conversie. Atât în cazul polimerilor naturali, cât și în cazul polimerilor sintetici se aplică un

principiu de bază al chimiei radiațiilor conform căruia *energia unității de masă sau doza absorbită necesară obținerii unui efect major este mai mică dacă masa moleculară a materialului este mai mare.*

Principial, procesarea prin iradiere a polimerilor se realizează prin trecerea materialului prin dreptul fasciculului de radiații ionizante (figura 1.1).

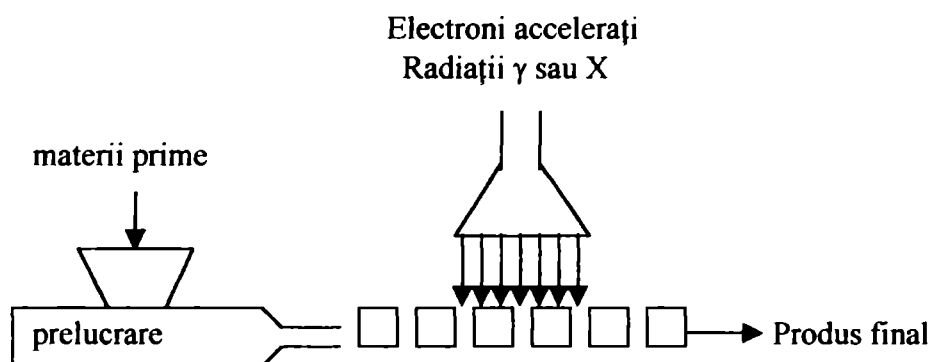


Figura 1.1. Schema de principiu a unei procesări cu radiații ionizante.

Conform definiției, unitatea de doză, Gray (Gy), reprezintă cantitatea de energie de 1J pe care o primește unitatea de masă (1kg), ceea ce se traduce printr-o energie specifică (ES), adică prin energia transferată unității de masă. Cu ajutorul randamentului radiochimic caracteristic unui proces valoarea de doză se poate converti și în alte unități de măsură, dând posibilitatea comparării condițiilor energetice în care decurge procesul respectiv atunci când el se realizează prin procedee termice clasice sau sub acțiunea radiațiilor ionizante

$$ES = 6,023 \cdot 10^{23} (100/G) \cdot 1,6 \cdot 10^{-19} = 9,65 \cdot 10^6/G \quad (\text{J/mol})$$

$$ES = 9,65 \cdot 10^3/G \quad (\text{kJ/mol})$$

$$ES = 9,65 \cdot 10^6/G \cdot (\text{Greutatea Moleculară}) \quad (\text{kJ/kg})$$

$$ES = 9,65 \cdot 10^6/G \cdot (\text{Greutatea Moleculară}) \quad (\text{kGy})$$

Stabilirea condițiilor de prelucrare prin iradiere a diverselor clase de polimeri impune cunoașterea mecanismului prin care materialul își modifică structura, în concordanță cu proprietățile sale chimice. Procesele de radioliză trebuie să conducă la îmbunătățirea performanțelor produsului în vederea utilizării lui la o scară mai largă sau pentru un domeniu restrâns cu cerințe specifice.

În contrast cu cele mai multe procedee chimice uzuale, iradierea cu fascicule de mare energie permite compatibilizarea unor amestecuri de polimeri care, în alte condiții, ar conduce la separarea fazelor. Din acest punct de vedere procesarea cu electroni accelerați sau cu radiații electromagnetice rezolvă problema aliajelor polimerice prin crearea de punți intermoleculare capabile să mențină integritatea geometrică, fizică și chimică a componentelor inițial incompatibile fără adaus de compus de legătură.

Înțelegerea efectelor radiolitice în polimeri pornește de la procesele care au loc în molecule mai simple. Trecerea la studiul mecanismelor de modificare a produselor macromoleculare implică o cunoaștere detaliată a proceselor de degradare și de stabilizare pentru a se putea concluziona asupra avantajelor și a dezavantajelor radioprocесării ca metodă alternativă de realizare a unor materiale noi sau a unor caracteristici funcționale prestabilite.

Durabilitatea produselor polimerice reprezintă un aspect important în practică și determină funcționarea instalațiilor sau a unităților în care ele se înserează. De acest parametru temporal se leagă siguranța în exploatare și caracterizarea situațiilor de accidente. Studiul comportării polimerilor în condițiile unei degradări accelerate furnizează date esențiale privind starea de operare în condiții limită, ceea ce permite evaluarea riscurilor de avarie sau a potențialului fiecărui material de a rezista în circumstanțe bine definite.

PROCESE PRIMARE IN RADIOPROCESAREA POLIMERILOR

Termenii de *radiații ionizante* sau *radiații de mare energie* se referă la radiații care, în urma transferului de energie, produc ioni secundari. În această categorie de particule incidente sunt incluse atât fluxurile corpusculare încărcate (electroni, protoni), cât și radiații electromagnetice (gama sau X). O caracteristică importantă a acestor radiații constă în nivelul lor energetic mult superior potențialelor de ionizare care se situează în domeniul energetic 10 - 15 eV. Energia primită de molecule se poate localiza conducând la ruperea de legături și reconfigurarea rapidă a structurii moleculare. Procesele fizice și chimice cauzate de expunerea polimerilor la radiații ionizante constituie fenomenologia de bază a proceselor industriale. Deoarece în procesele de ionizare sau de excitare se manifestă interacțiuni puternice între particulele care se mișcă rapid și moleculele mediului, ionii primari și moleculele excitate sunt localizate de-a lungul traiectoriei. Distribuția acestor entități intermediare reprezintă o multitudine de situații care sunt posibile între două cazuri limită: (a) coloane cilindrice puternic ionizate care înconjoară parcursul unei particule α și (b) aglomerări izolate de ioni așezate ca perlele pe direcția de mișcare a unui electron rapid (figura 2.1).

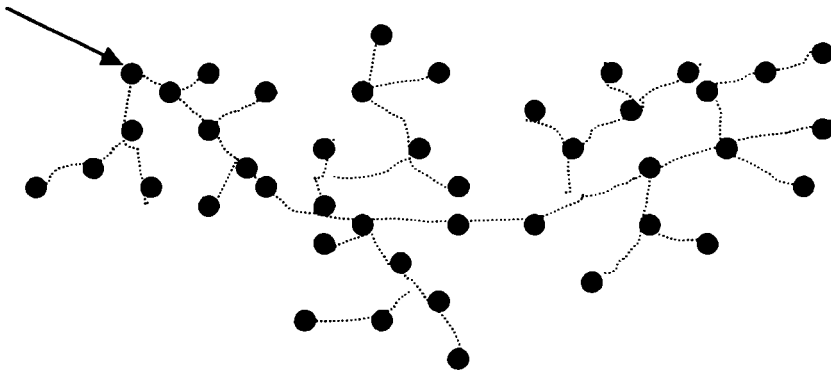


Figura 2.1. Schema distribuției globale a evenimentelor primare de-a lungul traiectoriei unui electron rapid

Interacțiunea primară a radiațiilor de diferite tipuri cu materia îmbracă diferite forme fizice și se manifestă prin procese caracteristice. În practica industrială, marea majoritate a aplicațiilor sunt realizate ca urmare a folosirii radiațiilor gama și a electronilor accelerați. Trebuie însă făcută o distincție între efectele induse în zonele cristaline și în cele amorfe, deoarece gradul de ordonare a distribuției macromoleculelor influențează mișcarea intermediarilor de radioliză.

(a) *Radiațiile electromagnetice*

Fotonii care penetrează materialul iradiat pierd energia în mod discontinuu, probabilitatea de transfer energetic fiind determinată de numărul de interacțiuni pe unitatea de lungime a parcursului lor. Această probabilitate depinde atât de energia fotonului, cât și de caracteristicile materialului:

$$\mu = N \cdot \sigma = \frac{N_A \cdot \rho \cdot \sigma}{A} \quad (2.1)$$

unde: μ = coeficientul linear de atenuare, exprimat în m^{-1} și care reprezintă probabilitatea de interacțiune macroscopică;

ρ = densitatea materialului supus iradierii ($\text{kg} \cdot \text{m}^{-3}$);

σ = secțiunea eficace de interacțiune (m^2);

A = masa atomică relativă ($\text{kg} \cdot \text{kmol}^{-1}$);

N și N_A reprezintă numărul de atomi pe unitatea de lungime și respectiv, numărul lui Avogadro.

Atunci când un foton interacționează cu un material el poate fi absorbit sau poate suferi un proces de împrăștiere. Din formula (2.1) se observă că materiale cu numere atomice identice, dar cu densități diferite prezintă coeficienți liniari de atenuare diferiți. Pentru a elimina această discordanță s-a introdus termenul de coeficient masic de atenuare (μ/ρ), exprimat în $\text{m}^2 \cdot \text{kg}^{-1}$:

$$\frac{\mu}{\rho} = \frac{N_A \cdot \sigma}{A} \quad (2.2)$$

Radiațiile X sau γ , la trecerea lor prin substanță, pot pierde energia în mai multe procese: absorbție fotoelectrică (pentru energii ale fotonilor incidenți în jurul a 60 keV), împrăștiere Compton (pentru energii ale radiațiilor cuprinse între 60 keV și 25 MeV) și producerea de perechi electron-pozitron la energii care depășesc 1,02 MeV. În cazul radiațiilor cu energii de valori medii, fenomenul de absorbție este o cumulare a efectelor interacțiunilor individuale, astfel că valoarea globală a coeficientului linear de absorbție este o însumare a coeficienților fiecăruia dintre procese:

$$\mu = \tau + \sigma + \chi \quad (2.3)$$

unde: τ este coeficientul de absorbție fotoelectric, σ este coeficientul de împrăștiere Compton, χ este coeficientul de absorbție prin formare de perechi.

Atenuarea unui fasciculi de fotoni monoenergetici care străbat unitatea de arie depinde de grosimea absorbantului după legea:

$$I = I_0 e^{-\mu x} \quad (2.4)$$

unde: I_0 și I sunt intensitățile fasciculului de fotoni incident și respectiv a fasciculului după parcurgerea grosimii x de material. Această ecuație exponențială este efectul ciocnirilor repetate, care conduc la un transfer parțial de energie progresiv mai mic.

În figura 2.2 sunt reprezentate probabilitățile de producere a celor trei procese principale în carbon în funcție de energia fotonului. Se poate observa că împrăștierea Compton este procesul dominant într-un domeniu energetic foarte larg. În figura 2.3 este dată curba care descrie variația coeficientului masic de atenuare pentru polistiren.

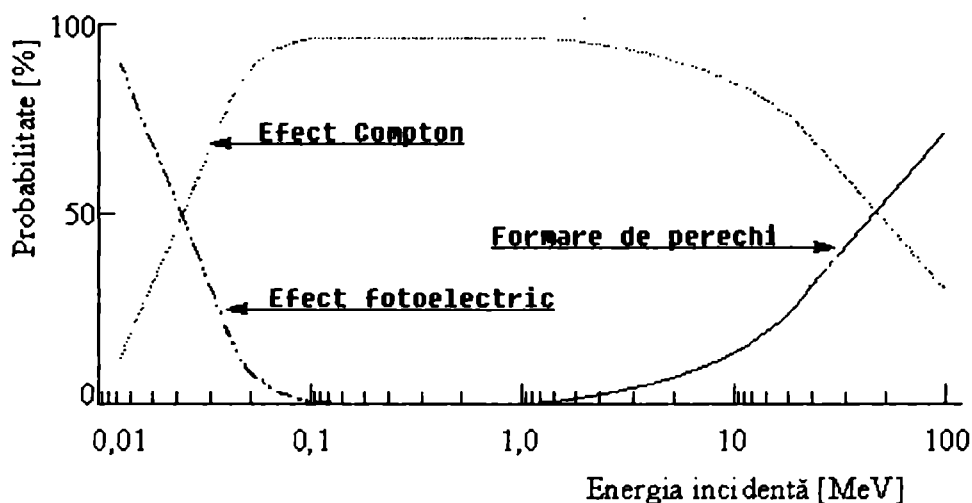


Figura 2.2. Probabilitățile relative ale celor trei procese de interacțiune în carbon

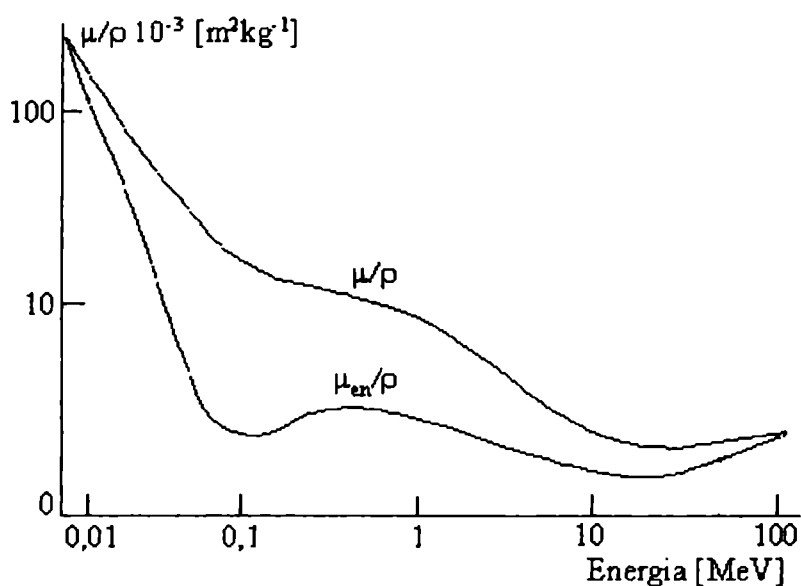


Figura 2.3. Variația coeficientului masic de atenuare pentru PS în funcție de energia incidentă.

Deoarece marea majoritate a radiațiilor gamma prezintă un spectru energetic, relația (2.4) trebuie aplicată separat pentru fiecare energie. Penetrarea medie a unui fascicul de fotoni este, de fapt, distanța medie parcursă înainte de prima interacțiune și este egală cu $1/\mu$.

O caracteristică importantă care descrie cantitatea de energie cedată materialului de la un foton este cantitatea de energie transferată electronilor secundari implicați ulterior în producerea unei ionizări locale în vecinătatea interacțiunii primare. Proporția de energie transferată electronilor

δ de la undele electromagnetice primare este dată de coeficientul masic de transfer energetic, μ_{tr}/ρ :

$$\frac{\mu_{tr}}{\rho} = \frac{\mu}{\rho} \cdot \frac{T_m}{E} \quad (2.5)$$

unde T_m este energia medie a electronilor secundari (δ), iar E este energia inițială a fotonului. Dar nu toată energia fotonului este transferată electronului sub formă de energie cinetică. O fracțiune, f , din energia incidentă este convertită în radiație de frânare astfel încât se poate defini un coeficient masic pentru absorbția energetică, μ_{en}/ρ :

$$\frac{\mu_{en}}{\rho} = (1 - f) \frac{\mu_{tr}}{\rho} \quad (2.6)$$

În tabelul 2.1 se dau valorile coeficienților masici de atenuare și a coeficienților masici de absorbție energetică pentru câteva materiale mai importante.

Tabelul 2.1. Valorile coeficienților masici de atenuare și a coeficienților masici de absorbție energetică pentru apă și câteva materiale polimerice exprimați în $m^2 \cdot kg^{-1} \cdot 10^{-3}$.

Energia fotonului (MeV)	Apă		Polietilenă		Polistiren		Polimetilmetacrilat	
	$\frac{\mu}{\rho}$	$\frac{\mu_{en}}{\rho}$	$\frac{\mu}{\rho}$	$\frac{\mu_{en}}{\rho}$	$\frac{\mu}{\rho}$	$\frac{\mu_{en}}{\rho}$	$\frac{\mu}{\rho}$	$\frac{\mu_{en}}{\rho}$
0,01	521	479	204	169	217	182	331	291
0,1	17,1	2,56	17,3	2,43	16,4	2,31	16,5	2,38
1,0	7,06	3,09	7,25	3,19	6,83	3,00	6,85	3,01
10,0	2,22	1,57	2,15	1,51	2,06	1,45	2,10	1,48

Practic, nu toți fotonii sunt absorbiți; o fracțiune din cuantele fasciculului incident își păstrează energia. În consecință, numărul de fotoni care străbat mediul dat tinde spre zero, dar nu atinge niciodată această valoare.

(b) *Electroni*

Fluxurile de electroni de mare energie pot fi monoenergetice când particulele incidente sunt furnizate de acceleratori sau prezintă un spectru de energii dacă provin din emițători β . În urma proceselor de interacțiune a radiațiilor electromagnetice cu substanța apar electroni din învelișurile atomice. Atunci când electronul incident de mare energie trece prin vecinătatea unui atom, el poate ca într-un timp de 10^{-18} s să-i transfere acestuia o parte din energia sa prin exercitarea unor forțe foarte puternice de tip coulombian. Electronii secundari sunt expulzați într-un interval de 10^{-15} s și interacționează cu electronii din straturile de valență ale atomilor producând numeroase fenomene

de excitare și de ionizare. Electronii secundari cu energii mai mari de 100 eV se numesc *electroni δ* și au un parcurs neregulat (figura 2.1). Energia medie a acestor electroni este mică, reprezentând doar aproximativ 5% din energia electronilor incidenți când posedă o energie de 100 eV și numai 1% când au energii de aproximativ 500eV. Numărul electronilor δ este considerabil mai mare decât numărul particulelor din fasciculul primar. Dacă energia medie a electronilor este de circa 500 eV și ei acumulează jumătate din energia incidentă înseamnă că un electron de 1MeV va produce aproximativ 2000 de electroni δ. In acest mod se explică apariția ciorchinilor de ioni de-a lungul traiectoriei radiației.

După ce energia electronului primar a devenit mai mică decât potențialul de ionizare al mediului parcurs electronul nu mai poate provoca decât excitări ale moleculelor. Pentru electronii cu energii sub nivelul de excitare ei se termalizează cedând energia mediului pentru ca moleculele să-și mărească viteza browniană.

Un parametru important care exprimă viteza de pierdere a energiei de către un electron în raport cu densitatea unitară de suprafață a absorbantului este *puterea masică de stopare prin ciocnire*:

$$Ps = \left(-\frac{dE_c}{\rho \cdot dx} \right) = \frac{k \cdot B}{v^2 \cdot A} \quad (2.7)$$

unde: Ps este puterea masică de stopare prin ciocnire (MeV.m².kg⁻¹),

ρ este densitatea de suprafață (kg.m²),

$\frac{dE_c}{dx}$ este gradientul de pierdere a energiei (MeV.m⁻¹),

k este o constantă,

B este numărul atomic de stopare care, pentru un electron nerelativist are expresia:

$$B = Z \cdot \ln(2m_0v^2/E),$$

v este viteza electronului (m.s⁻¹) și

A este masa atomică a materialului.

După cum se poate observa, această putere de stopare depinde în primul rând de energia cinetică a electronului incident (E_c) și în mai mică măsură, de compoziția materialului polimeric. In figura 2.4 este prezentată variația puterii masice de stopare prin ciocnire cu energia cinetică a electronilor incidenți în cazul polietilenei. Atunci când energia cinetică a electronului din fasciculul de iradiere crește, termenul 1/v² scade până când atinge o valoare minimă între 1,5 și 2 MeV, după care crește lent cu lnE_c.

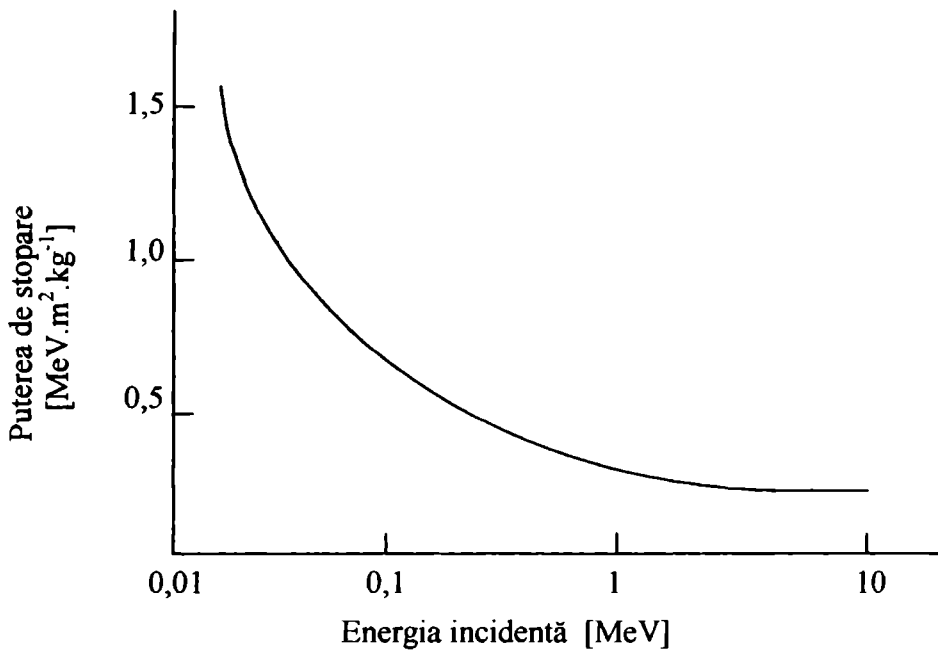


Figura 2.4. Variația puterii masice de stopare prin ciocnire cu energia cinetică a electronilor incidenti în cazul polietilenei

Emisia de radiații de frânare este un proces caracteristic electronilor cu viteze relativiste atunci când își pierd o parte din energia lor cinetică inițială. Viteza de decelerare a electronilor primari, atunci când aceștia intră în câmpul electrostatic al unui nucleu, este:

$$\left(-\frac{dE_c}{dx} \right)_{fr} \sim Z^2 (E_c + m_0 c^2) \quad (2.8)$$

Se poate remarca faptul că numărul atomic, Z și energia cinetică inițială, T , influențează în mod decisiv puterea de stopare a materialului străbătut.

PROCESE RADIOCHIMICE PRIMARE

Atunci când radiația trece prin materie, o parte importantă din energia incidentă se consumă pentru ionizarea și excitarea moleculelor. Cunoașterea naturii fragmentelor primare care rezultă în urma disocierii unei molecule din mediul de iradiere este foarte importantă, ca și distribuția spațială a evenimentelor primare. Acestea nu se realizează întâmplător în material, ci de-a lungul traiectoriei particulei primare. *Cu cât energia particulei este mai mare, cu atât concentrația produșilor primari este mai mare*, localizați cilindric în jurul traiectoriei sau sub formă de ciorchini, respectând distribuția electronilor secundari. În mod inevitabil, în aceste regiuni polimerice vor avea loc

majoritatea proceselor secundare care conduc la producții finali, stabili.

(a) **Ionizarea**

Când un electron sau orice particulă încărcată “ciocnește” o moleculă a mediului de iradiere, câmpul electric al particulei incidente polarizează electronii de pe orbitalii moleculari. Dacă energia eliberată în această interacțiune este mai mare decât energia de legătură a unui electron în moleculă, atunci acest electron va părăsi starea sa staționară și se va mișca prin material. Deși cantitatea cea mai mică de energie necesară extragerii unui electron dintr-o moleculă este în mod obișnuit de ordinul a 10 – 15 eV, energia medie transmisă în urma ciocnirilor prin care se formează o pereche de ioni este de aproximativ 30 eV. În tabelul 2.2 sunt date valorile energiei medii de ionizare (W), ale potențialului de ionizare (J) și raporturile lor pentru câteva structuri hidrocarbonate simple (metan, etenă și acetilenă) exemplificând comportarea energetică a diferitelor legături carbon-carbon. Așa cum se poate observa, numai aproximativ jumătate din energia absorbită este utilizată pentru procesul de ionizare.

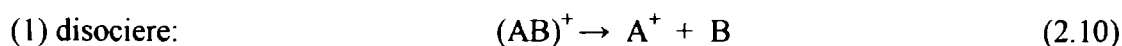
Tabelul 2.2. Energii medii de ionizare și potențiale de ionizare pentru metan, etenă și acetilenă

Hydrocarbură	W (eV)	J (eV)	W/J
CH ₄	27,3	13,1	2,09
C ₂ H ₄	26,3	12,2	2,15
C ₂ H ₂	26,1	11,3	2,30

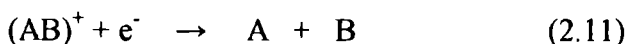
În consecință, electronii emiși se comportă ca niște electroni secundari (electroni δ). În funcție de energia cu care sunt expulzați, ei vor multiplica același proces de interacțiune pe parcursul lor, până la termalizare, încetinirea având loc pe distanțe foarte scurte, în funcție de energia incidentă. Efectul produs de electronii secundari progresează în cascadă, amplificând acțiunea primară a particulelor incidente.



O trăsătură caracteristică existenței ionilor pozitivi (AB)⁺ este instabilitatea lor, fapt determinat de excesul de energie rămas. Ei pot să se consume pe diferite căi:



(2) neutralizare urmată de disociere:



Pe de altă parte, electronii expulzați din molecule și care posedă o energie apropiată de cea a agitației termice își pierd libertatea prin două procese complementare: combinarea cu un ion pozitiv

(reacția 2.11) sau prin alipire la o moleculă neutră. Această reacție simplă de captare a electronului poate fi pusă în evidență prin determinări de rezonanță electronică de spin (figura 2.5). Linia îngustă intensă poate să se micșoreze sau chiar să dispară dacă se micșorează concentrația speciilor paramagnetice așa cum s-a obținut prin expunerea probelor radiolizate (figura 2.5, curba b).



Figura 2.5. Spectrul RES al unei polietilene de înaltă densitate, nestabilizată, iradiată γ la 77 K. (a) imediat după terminarea iradierii; (b) după trei zile de la încetarea acțiunii radiațiilor.

Experimentele realizate pentru determinarea tipului de conducție în polimeri iradiați au demonstrat existența electronilor ca entități - purtători de sarcină (figura 2.6). Ca urmare a iradierii cu radiații de mare energie și a aplicării unei diferențe de potențial s-au obținut curenți electrici slabi, de ordinul 10^{-12} A, ceea ce constituie o dovadă a eliberării electronilor trapați în diferite structuri.

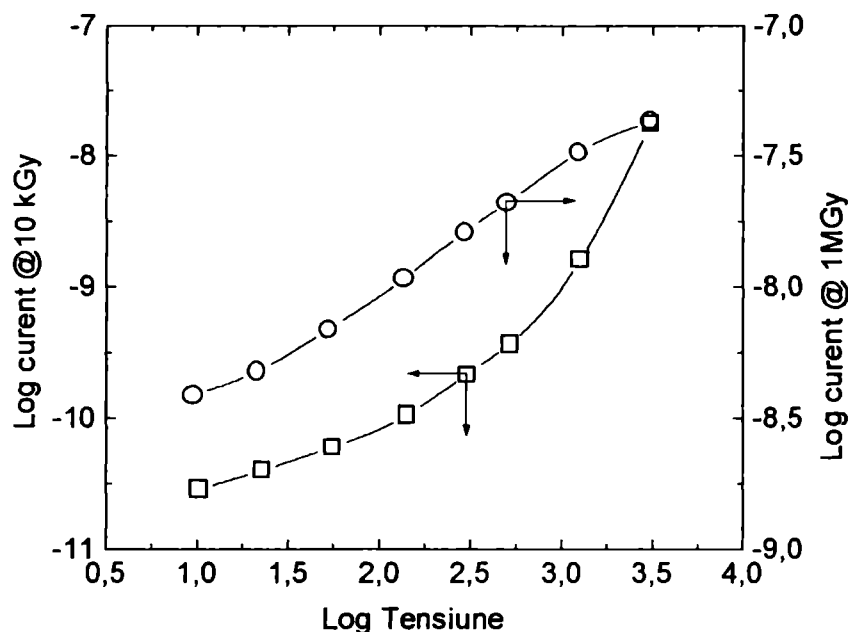


Figura 2.6. Curbe curent/tensiune - dovadă a mobilității electronilor trapați în polietilenă iradiată cu electroni accelerați.

Dacă o substanță este incapabilă să captureze electronii lenți, aceștia vor dispărea prin reacții de neutralizare (reacția 2.10). În cazul când substanța iradiată conține urme dintr-o impuritate cu afinitate mare pentru electroni, această impuritate poate captura cea mai mare parte din electronii termalizați modificând randamentele radiochimice ale produșilor finali.

Moleculele mediului iradiat care conțin atomi sau grupe de atomi și care prezintă valori mari pentru afinități electronice, superioare energiei de legătură din restul moleculei, captura electronică poate avea ca rezultat un proces de disociere moleculară conform reacției:



În urma unor astfel de procese de captură, A devine un radical liber, iar B⁻ va fi un ion-radical liber. Captura disociativă este foarte probabilă atunci când în moleculele polimerilor există halogeni sau grupări cian. În tabelul 2.3 sunt prezentate valorile afinităților pentru electroni ale diferitelor grupe funcționale posibile în materialele macromoleculare. Comportarea polimerilor funcționali în câmp de radiații ionizante va fi influențată de structura moleculară în care pozițiile reactive determină mecanismul de degradare radiochimică. Pe măsura acumulării produșilor de radioliză, ei vor avea un aport din ce în ce mai pronunțat asupra vitezei de transformare radiochimică.

Tabelul 2.3. Valorile afinităților pentru electroni ale diferitelor grupe funcționale

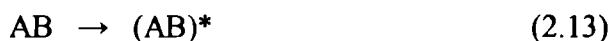
Atom	Afinitate electronică (eV)	Radical	Afinitate electronică (eV)
H	0,75	OH	2,17
C	1,7	NH ₂	1,24
O	2,2	CH ₃	1,22
S	2,4	CN	3,61
F	3,9		
Cl	3,8	Molecule	
Br	3,55	O ₂	0,87
I	3,24	Cl ₂	1,70

Trebuie menționat faptul că prin simpla atașare a unui electron la o moleculă neutră randamentele radiochimice ale entităților A și B nu cresc, în timp ce captura electronică disociativă (reacția 2.12) va mări randamentul radiochimic al speciei A și pe cel al fragmentului încărcat negativ, B⁻, capabil de a produce schimbări chimice ulterioare. Pe această cale, atașarea electronului la fragmentul B explică funcționarea sa ca un captor de electroni sau este posibil ca intermediarul B să constituie un ion stabil din punct de vedere energetic. Aceste procese vor determina viteza de polimerizare ionică, deoarece este posibilă existența intermediarilor prin atașarea electronilor la

molecule neutre sau prin procese de transfer de sarcină cu implicații asupra randamentelor radiochimice ale anumitor produși de radioloză.

(b) *Excitarea*

Dacă energia transferată unui electron legat este mai mică decât potențialul său de ionizare, dar suficient de mare pentru a scoate electronul din starea sa fundamentală, atunci are loc un proces de excitare care va sensibiliza legăturile mai slabe sau va accentua efectele electromere ale diferitelor funcțiuni organice:



Molecula $(AB)^*$ se află într-o stare de excitare avansată și posedă suficientă energie pentru a se disocia și astfel se crează posibilitatea unor rearanjări. Astfel, apar radicalii liberi care vor reacționa între ei măbind fracția insolubilă din materialul iradiat sau cu oxigenul difuzat când se obțin produși oxigenați de degradare.

Dacă particula incidentă este un electron lent, deci o particulă care nu posedă o energie suficientă pentru a conduce la disociere, se formează o moleculă în stare de triplet, analogă unei situații de biradical, susceptibilă de rearanjări.

Fracțiunea din energia totală responsabilă pentru producerea ionizării este de aproape 50%, deci, *numărul de excitări primare este aproximativ egal cu cel al ionizărilor*. Prin această proporție a entităților implicate în transformările radiochimice din polimeri se poate aprecia probabilitatea unui mecanism parțial ionic al degradării.

(c) *Reacții ale speciilor primare*

(1) **Reacții ionice**

Odată cu expulzarea electronilor secundari, în polimeri iradiați apar ioni pozitivi. Prin urmare, în material vor exista simultan ioni de ambele semne în cantități echivalente. În consecință, sunt posibile două procese diferite de neutralizare:

recombinarea ion-electron

Atunci când un electron termalizat ajunge în vecinătatea unui ion pozitiv, recombinația are loc imediat sub acțiunea unor forțe coulombiene puternice conducând la formarea unei molecule înalt excitate:

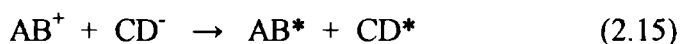


Starea de excitare rezultată din această reacție posedă o energie superioară stării de excitare apărută în urma interacțiunii directe cu particulele rapide în mișcare. Într-o reacție de tipul (2.14) energia

câștigată de molecula AB este egală cu potențialul său de ionizare. Deci, această energie de excitare este de ordinul a 10 – 15 eV. În consecință, aproape sigur această energie va provoca o disociere având ca rezultat final schimbări structurale profunde și permanente. Procesul descris de reacția (2.14) este mult mai probabil decât atașarea electronului la o moleculă neutră (reacția 2.12), deoarece parcursul electronului expulzat din molecula de origine este scurt, acesta fiind rezultatul unei energii cinetice inițiale mici. S-a stabilit că un electron care posedă o energie cinetică de 5 eV este termalizat și se reîntoarce la ionul său pereche în mai puțin de 10^{-13} s. Acest model se aplică foarte bine moleculelor organice datorită afinităților lor scăzute pentru electroni.

interacțiunea ion pozitiv-ion negativ

În sistemele conținând molecule care acționează ca trape eficiente pentru electroni, cea mai mare parte din ionii negativi vor dispărea printr-un proces de neutralizare (reacția 2.15) prin interacțiune cu un ion pozitiv:



unde AB^* și CD^* reprezintă stări excitate ale moleculelor AB și respectiv CD. Pe de altă parte, AB și CD pot să fie aceleași molecule sau pot să difere una de alta.

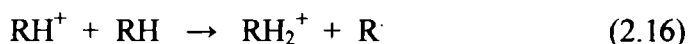
Energia totală eliberată în acest proces este mai mică decât cea eliberată în urma unui proces de recombinare ion-electron, deoarece o parte din energia disponibilă este folosită pentru disocierea ionului negativ CD^- . Pentru un ion pozitiv AB^+ diferența dintre energiile eliberate în procesele (2.14) și (2.15) reprezintă afinitatea pentru electron a moleculei CD. Prin urmare, procesul de neutralizare ion negativ – ion pozitiv este un proces mai puțin eficient în comparație cu neutralizarea electron - ion pozitiv.

reacții ion-moleculă

Reacțiile chimice inițiate de ioni sunt cunoscute în chimia organică clasică sau în procesele de polimerizare ionică. În domeniul chimiei radiațiilor reacțiile radicalilor liberi sunt mult mai probabile decât cele ale ionilor deoarece timpul de viață al speciilor încărcate electric este foarte scurt în lichide, dar ceva mai lung în solide. În cazul polimerilor procesul de neutralizare a sarcinilor este limitat de propria mobilitate. Dovada existenței entităților ionice o constituie posibilitatea de evaluare a conductivității electrice a multor polimeri solizi.

Reacțiile ion-moleculă pot fi grupate în două categorii:

reacții cu transfer de proton:



în care RH este o hidrocarbură iar R^\cdot este un radical liber; acesta poate reacționa ulterior cu un alt

radical și se produce o reticulare sau poate reacționa cu O₂ și produsul rezultat este un compus de degradare;

reacții de condensare:



unde AC⁺ este un produs de condensare, iar D este o moleculă stabilă.

În prezent, există puține informații privitoare la reacții de acest tip. Totuși, în elastomeri etilen-propilenici iradiați în soluții saline s-a pus în evidență o reacție de transfer de sarcină care a condus la un proces accelerat de degradare în masa polimerului și anume, reacția dintre un hidroxid provenit din degradarea materialului polimeric și ionul de clor existent în mediul de radioliză:



Pe de altă parte, existența acestor procese este atestată de procesele de polimerizare inițiată de ioni în câmp de radiații. Deci, în anumite condiții ionii pot fi stabilizați într-un interval de timp mai lung, ceea ce face posibilă propagarea lanțului de polimerizare.

(2) Reacții ale moleculelor excitate

Moleculele excitate formate în urma proceselor primare descrise anterior sunt implicate în mai multe tipuri de reacții prin care apar produșii finali stabili:

disociere în radicali liberi:



Această reacție este cea mai importantă sursă de radicali liberi în radiochimia polimerilor. Dacă starea excitată posedă o energie în exces față de valoarea energiei de disociere, atunci fragmentele A[·] și B[·] vor primi o energie cinetică suficientă pentru a scăpa de "cușca" formată de moleculele vecine care le înconjoară. Astfel, disocierea este un proces care urmează, în cele mai multe cazuri, neutralizării deoarece aceasta pune la dispoziția entităților care interacționează o cantitate mare de energie.

disociere în produși moleculari:



unde C și D pot fi atât molecule saturate cât și molecule nesaturate. Acest tip de reacții este puțin probabil, el fiind postulat pentru explicarea unor procese neconvenționale.

reacții cu alte molecule:

Este posibil ca moleculele excitate să se ciocnească cu alte molecule aflate în stare fundamentală și evenimentul producă molecule stabile, diferite de cele inițiale:



Este posibil ca moleculele excitate să se ciocnească cu alte molecule aflate în stare fundamentală și evenimentul producă molecule stabile, diferite de cele inițiale:



Reacții de tipul (2.21) sunt sugerate pentru explicarea unor reacții de condensare.

(3) Reacții ale radicalilor liberi

Radicalii liberi sunt intermediarii cei mai importanți cu ajutorul cărora se pot explica majoritatea transformărilor chimice induse de radiațiile de mare energie. Această afirmație se bazează pe mai multe dovezi practice:

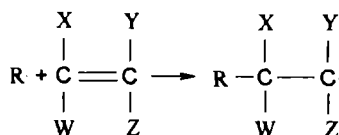
- Producții obținute în radioliza unui număr foarte mare de compuși organici sunt asemănători, dar nu identici, cu producții formați în timpul fotolizei aceluiași compus;
- Multe din reacțiile “clasice” în lanț la care participă radicali liberi (polimerizarea monomerilor vinilici, clorurarea sau oxidarea hidrocarburilor, descompunerea apei oxigenate) pot fi inițiate de radiațiile ionizante iar cinetica lor este foarte asemănătoare cu reacțiile inițiate chimic sau cu radiații ultra-violete;
- Inhibitorii reacțiilor obișnuite ale radicalilor liberi sunt eficienți în multe situații în care sunt utilizate radiațiile ionizante.

Radicalii liberi participă la numeroase reacții în funcție de natura grupărilor chimice pe care le conțin și care determină distribuția finală a compușilor stabili. În această secțiune se vor exemplifica câteva reacții generale care decurg în majoritatea polimerilor iradiati.



unde X este un atom, de exemplu H, Cl, Br, etc, iar $R_1 \cdot$ sau $R_2 \cdot$ sunt fie radicali liberi, fie atomi. Această reacție are loc printr-o stare de tranziție când atomul X pune electroni în comun, fie cu radicalul R_1 , fie cu R_2 , cele trei entități fiind aliniate pe aceeași axă. Figura 2.7 demonstrează că astfel de reacții necesită o energie de activare E care este determinată de energiile de disociere ale legăturilor R_1-X și R_2-X și de pozițiile relative ale celor două curbe de potențial corespunzătoare stărilor inițială și finală. Pentru radicalii hidrocarbonați uzuali, energia de activare pentru schimbul unui proton este de ordinul a 8-12 kcal/mol (33–50 kJ/mol), în timp ce reacțiile în care sunt implicați atomi de halogen necesită o energie de activare de numai 5-7 kcal/mol (20–28 kJ/mol).

reacții de adiție la molecule nesaturate:



Cele mai multe reacții de acest tip necesită o energie de activare de 4-7 kcal/mol. În mod obișnuit reacțiile de adiție a unui radical liber la o legătură dublă implică o energie de activare inferioară.

În cazurile în care adiția se face la compuși aromatici, reacția se poate scrie sub forma:



unde Φ este o moleculă aromatică iar $R\Phi$ simbolizează un complex de adiție care are o structură de radical chinonic. Acest tip de reacții a fost observat în cazul benzenului sau al altor compuși aromatici.

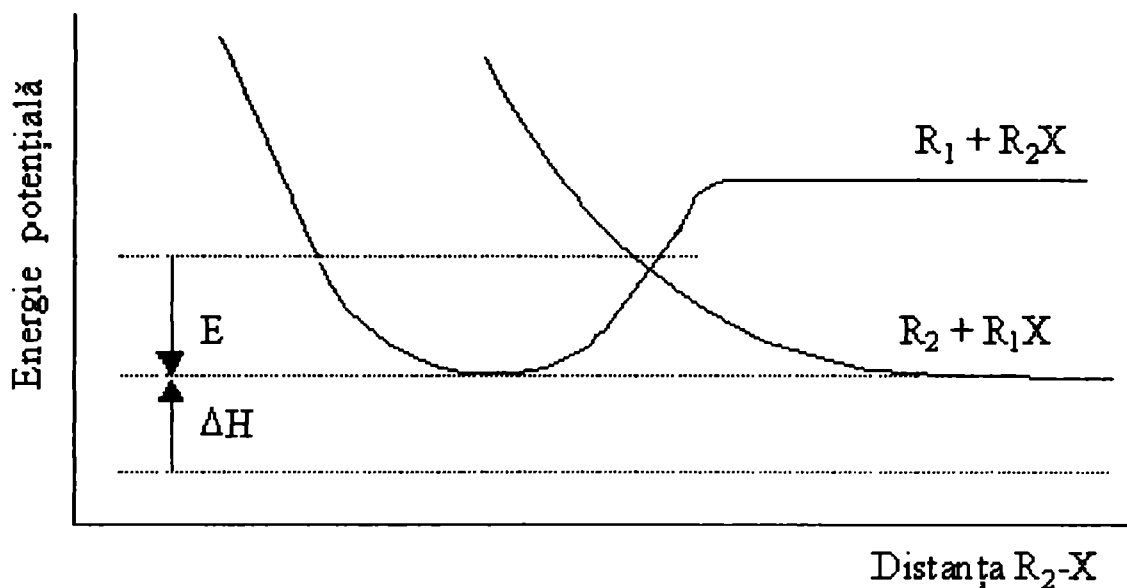


Figura 2.7. Curbele de potențial corespunzătoare unei reacții de transfer în funcție de alungirea legăturii unui reactant

reacții radical-radical:



Recombinarea constă în cuplarea a doi electroni neîmperechiați iar acest proces nu necesită, practic, energie de activare. Un exemplu este polimerizarea vinilică realizată prin combinarea a două lanțuri polimerice în creștere, energia de activare fiind mai mică de 2kcal/mol. Reacția de disproporționare necesită o energie de activare ceva mai mare; în consecință această reacție este mult mai probabilă la temperaturi mai ridicate.

Polimerii care se compun din două faze, una cristalină iar cealaltă – amorfă, prezintă viteze de reacție diferite pentru recombinarea radicalilor. În faza cristalină viteza de reacție este inferioară celei din faza amorfă datorită mobilității diferite a radicalilor liberi. Astfel, radicalii “înghețați” vor avea o durată de viață mai lungă în faza cu un nivel de ordonare mai ridicat.

(4) procese cu transfer de energie

În urma producerii unor entități cu energii superioare apare posibilitatea transferului de

energie spre o altă entitate. În acest fel proporția diferitelor produse finale de radioliză care își au originea în aceste tipuri de intermediari va depinde atât de compoziția inițială a probei, cât și de probabilitatea unor astfel de procese de transfer energetic. Acest tip de proces reprezintă mecanismul polimerizărilor radiochimice ionice.

Între doi reactanți se pot realiza două tipuri de transfer: de sarcină și de energie de excitare.

Transferul de sarcină poate avea loc în regim de rezonanță (reacția 2.25), adică între două molecule de același tip sau între două molecule de naturi chimice diferite (reacțiile 2.26 și 2.27).



Reacția (2.26) la care participă ioni pozitivi este mult mai importantă decât procesul (2.27). Pentru ca acest tip de reacție să aibă loc la temperatura camerei, cel mai mic potențial de ionizare al moleculei A trebuie să fie superior celui al moleculei B; în felul acesta reacția este exotermă.

Transferul de energie de excitare poate fi reprezentat de reacția (2.28)



În acest proces molecula B trebuie să prezinte cel puțin o stare excitată inferioară nivelului de energie al moleculei A* pentru ca reacția (2.28) să fie exotermă, adică foarte probabilă.

RETICULAREA POLIMERILOR

Sub acțiunea radiațiilor ionizante polimerii se comportă diferit în funcție de structura lor moleculară. În funcție de efectul global indus în masa de polimer, aceste materiale pot fi formal incluse în două categorii: polimeri care se reticulează și polimeri care se degradează. Din prima categorie fac parte polietilena, policarbonații, elastomerii etilen-propilenici; în cea de a doua grupă se încadrează compușii polifluorurați, poliizobutilena, materialele celulozice. Un caz aparte îl constituie polipropilena care, iradiată în vid sau în atmosferă inertă, se reticulează, iar dacă expunerea are loc în aer polipropilena se degradează (Anexa 3).

Procesul principal care determină modificări în structura materialelor polimerice este ruperea unora din legăturile care alcătuiesc macromoleculele. În cazul polimerilor radioreticulabili, radicalii odată formați reacționează cu alți radicali și "reformează" structura polimerului într-o aranjare tridimensională. Polimerii radiodegradabili generează în urma iradierii molecule mai mici sau radicalii liberi care reacționează prioritar cu oxigenul conducând la degradarea oxidativă radioindusă.

Modificările intervenite în gradul de reticulare al unui polimer pot fi apreciate prin cunoașterea valorii randamentului radiochimic de formare a noilor legături. Valoarea G reprezintă

numărul mediu de reacții specifice care au avut loc în urma absorbției unei energii de 100eV.

Un material care este iradiat cu 1kGy primește o energie de 1J/g, adică $6,24 \cdot 10^{18}$ eV/g. În cazul unui polimer cu masa moleculară gravimetrică M , într-un gram se vor găsi N_A/M molecule, unde N_A reprezintă numărul lui Avogadro. Rezultă că pentru fiecare moleculă se vor produce $0,624 \cdot 10^{17} G \cdot M / N_A$ modificări sau $1,04 \cdot 10^{-7} G \cdot M$ modificări. Dacă se notează cu q_0 susceptibilitatea unui sistem polimeric de a se reticula și se definește ca proporția de unități monomerice reticulate, valoare care este echivalentă cu numărul de evenimente, atunci $q_0 = 1,04 \cdot 10^{-7} G \cdot M$ și, deci:

$$G(\text{reticulare}) = 0,96 \cdot 10^6 \frac{q_0}{M} \quad (2.29)$$

Intrucât procesul de reticulare are loc între două entități reactante, *randamentul radiochimic de reticulare*, echivalent randamentului radiochimic de formare a punților intermoleculare este

$$G(\text{reticulare}) = 0,48 \cdot 10^6 \frac{q_0}{M} \quad (2.30)$$

Pentru caracterizarea masei moleculare, M , a polimerului radioreticulat se poate folosi o formulă derivată din relația (2.30) și anume:

$$M = \frac{0,48 \cdot 10^6}{G} \quad (2.31)$$

Procesul de reticulare conduce la o mărire a cantității de fracție insolubilă conținută în materialul iradiat. Cantitatea de gel care se acumulează în polimer datorită expunerii la radiații de mare energie, deci datorită transferului de energie la o anumită doză totală absorbită, este determinată de vitezele de scindare a moleculelor și de reticulare. Relația Charlesby-Pinner permite evaluarea raportului dintre randamentele de scindare și de reticulare:

$$S + \sqrt{S} = \frac{P_0}{Q_0} + \frac{1}{Q_0 \cdot P_{n,0}} \cdot \frac{1}{D} \quad (2.32)$$

unde S reprezintă fracția solubilă (%),

P_0 reprezintă randamentul radiochimic de scindare,

Q_0 reprezintă randamentul radiochimic de reticulare,

$P_{n,0}$ reprezintă gradul mediu inițial de reticulare, iar

D reprezintă doza absorbită corespunzătoare cantității S de fracție solubilă (Mrad).

Dacă se cunosc valorile randamentului de reticulare, $G(\text{unități reticulate})$, variația masei moleculare a unui polimer poate fi caracterizată în corelare cu M_w , masa moleculară medie gravimetrică și doza de gel, D_g , prin relațiile (2.33):

$$\begin{aligned} G(\text{punți de reticulare}) \cdot M_w \cdot D_g &= 0,48 \cdot 10^7 \\ \text{sau} \quad G(\text{unități reticulate}) \cdot M_w \cdot D_g &= 0,96 \cdot 10^7 \end{aligned} \quad (2.33)$$

deoarece o punte de reticulare presupune legarea a două unități. În această formulă doza de gel se exprimă în kGy.

Pentru exemplificarea efectului macroscopic pe care îl produce transferul energetic de la radiația incidentă la substratul polimeric în figura 2.8 sunt prezentate dependențele fracției de gel și a fracției solubile de doza de iradiere, respectiv de valoarea sa reciprocă (diagramă Charlesby-Pinner) rezultate la iradierea poliizobutilenei.

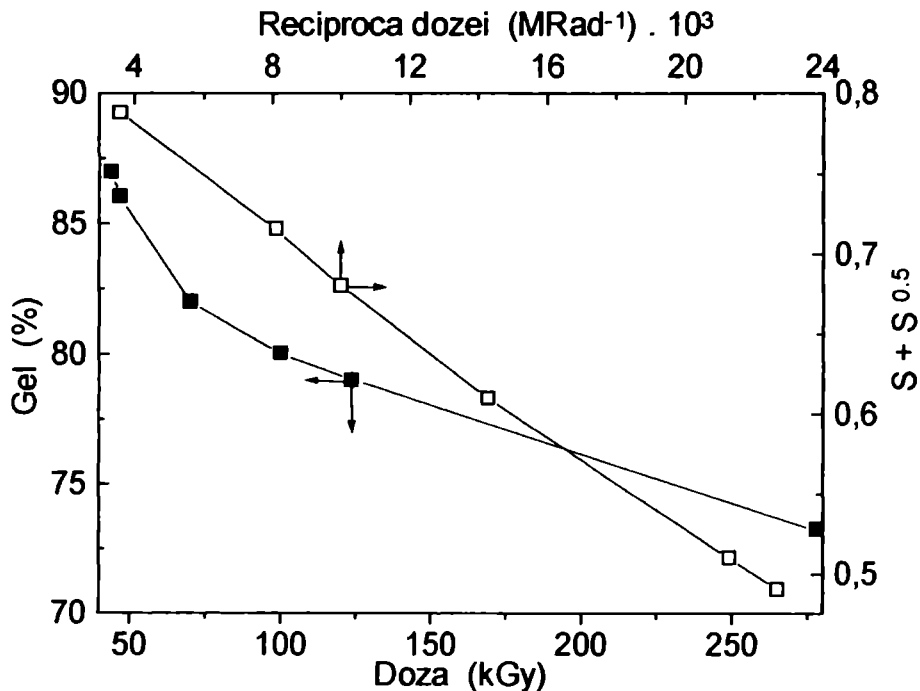


Figura 2.8. Diagrame Charlesby-Pinner pentru diferite sisteme polimerice iradiate. (a) poliizobutilena; (b) amestecuri de elastomer etilen-propilenic și poliizobutilenă

Pentru polimerii cu masa moleculară gravimetrică cuprinsă în domeniul 10^5 - 10^6 , cu un randament de reticulare luat arbitrar 1, doza de gel se va situa în intervalul 100 – 10kGy. Pentru biopolimeri cu aceeași valoare a randamentului de reticulare, $G=1$, masa lor moleculară gravimetrică va deveni aproximativ 10^9 la o doză de gel de 10Gy.

Capitolul III.

INSTALATII DE IRADIERE

Iradierea cu radiații ionizante, electromagnetice (γ sau X) sau corpusculare, constituie o modalitate de utilizare a procedeelelor radiochimice în procese industriale, pe baza transformărilor ce se induc în materialul expus. Procesele primare descrise în capitolul anterior conduc la modificări de cele mai multe ori ireversibile ale căror randamente determină eficiența procedeeului. Aplicațiile industriale ale iradierilor tehnologice trebuie să țină seama de mai mulți factori, printre care se pot enumera: tipul de radiație emisă, energia și distribuția spectrală a radiației, distribuția spațială a densității de flux (omogenitatea iradierii) și productivitatea sursei.

Principalele sisteme de iradiere folosesc acceleratoarele de electroni sau surse izotopice. Fiecare dintre acestea prezintă avantaje care sunt contrabalansate de inconveniente de ordin economic sau procedural. De exemplu, acceleratoarele de electroni au avantajul folosirii continue sau discontinue, fără a afecta caracteristicile de iradiere (flux, doză debit) cerute de tehnologie. Pe de altă parte, construcția unui accelerator de electroni reprezintă o investiție cu un efort financiar deosebit. Pentru o sursă de radiații γ , de exemplu surse de ^{60}Co , investiția nu este atât de costisitoare ca în cazul acceleratorilor, dar prezintă dezavantajul diminuării în timp a activității, deci a rentabilității.

ACCELERATOARE DE ELECTRONI

Procedeele radiochimice de transformare a compușilor organici au debutat în jurul anului 1950, domeniul dezvoltându-se exponențial prin construcția unui număr foarte mare de acceleratoare de electroni. Ramurile industriale unde se utilizează tehnologiile de iradiere cu electroni accelerați sunt foarte diferite: reticularea polimerilor, vulcanizarea cauciucurilor, depolimerizarea celulozei, uscarea lacurilor și a vopselelor pe suporturi de lemn, metal sau materiale plastice, sterilizarea unor accesorii medicale sau alimente, pasteurizarea unor produse alimentare, tratarea unor deșeuri solide sau a apelor reziduale, etc.

În principiu, un accelerator de electroni este alcătuit dintr-o sursă de electroni și un sistem aferent de colimare, un con de baleiaj și o bandă transportoare sau o masă-suport pe care se așează materialul de iradiat (figura 3.1). Dacă ținta este un cablu sau un produs sub formă de fire, atunci operația de iradiere nu mai necesită un astfel de purtător, iar expunerea se execută direct pe material.

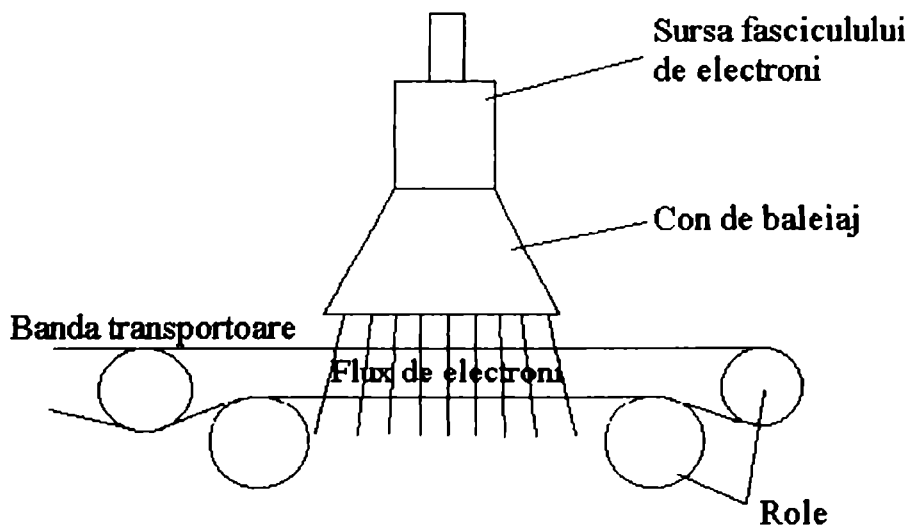


Figura 3.1. Schema funcțională a unui accelerator de electroni

Intensitatea efectelor induse de electronii accelerați în materialele condensate depinde atât de energia cinetică a fluxului de particule incidente, cât și de compoziția atomică a materialelor iradiate. Astfel, doza absorbită la o anumită adâncime depinde de aceasta. *Adâncimea de penetrare* este distanța măsurată de la suprafață până unde energia transferată are aceeași valoare cu energia primită de straturile superficiale. Figura 3.2 prezintă variația adâncimii de penetrare a unui fascicul de electroni cu diferite energii incidente atunci când materialul are densitatea 1 g/cm^3 .

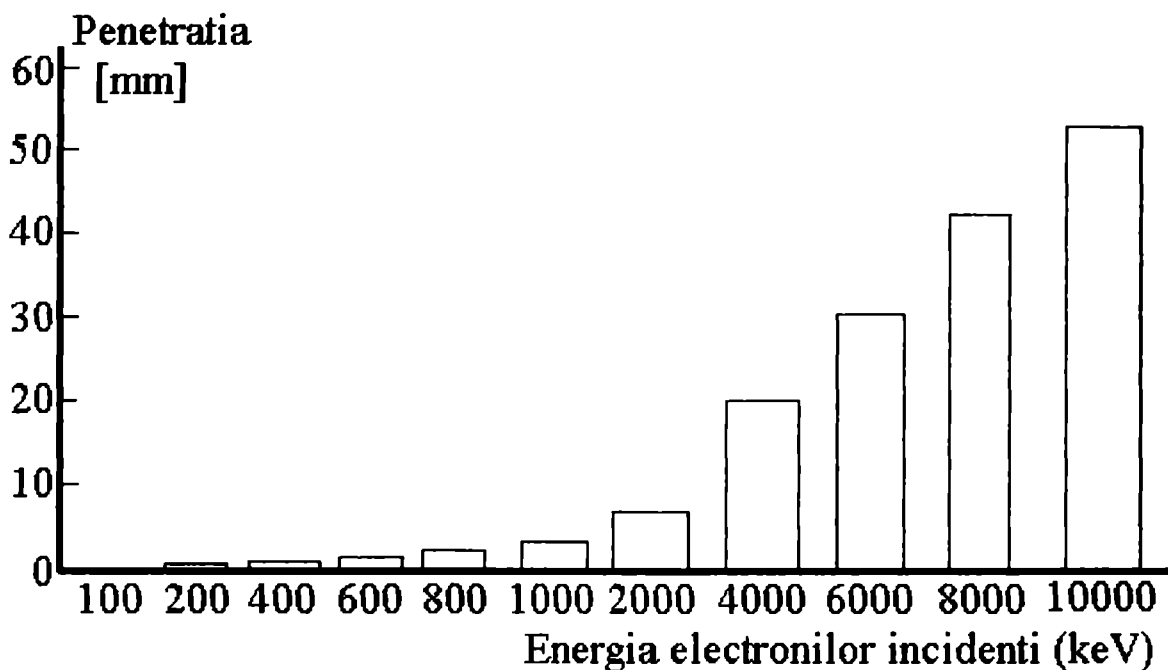


Figura 3.2 Adâncimea de pătrundere a electronilor de diferite energii incidente într-un material cu densitatea 1 g/cm^3 .

În practică, adâncimea de penetrare este distanța la care doza este egală cu cea de la suprafață. Pentru electronii cu energie cuprinsă între 1 și 10 MeV această mărime se calculează după formula empirică:

$$d = \frac{0,4 \cdot E - 1}{\rho} \quad (3.1)$$

unde: d este adâncimea de penetrare exprimată în cm; E este energia electronilor incidenți măsurată în MeV; ρ este densitatea medie a materialului exprimată în g/cm^3 .

Dacă iradierea se realizează pe cele două fețe opuse ale substratului iradiat, atunci adâncimea de penetrare calculată cu relația (3.1) se multiplică cu un factor de 2,4. În figura 3.3 este reprezentată variația dozei absorbite pentru electroni cu energia de 4 MeV, iar în figura 3.4 este prezentată dependența grosimii optime de iradiere în funcție de energia electronilor pentru un material cu densitatea 1.

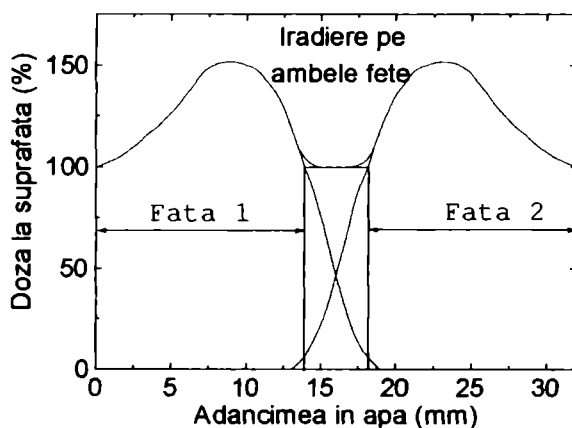


Figura 3.3. Variația dozei la suprafața unei probe din material cu densitatea $1\text{g}/\text{cm}^3$ în cazul expunerii la un flux de electroni cu energia de 4 MeV

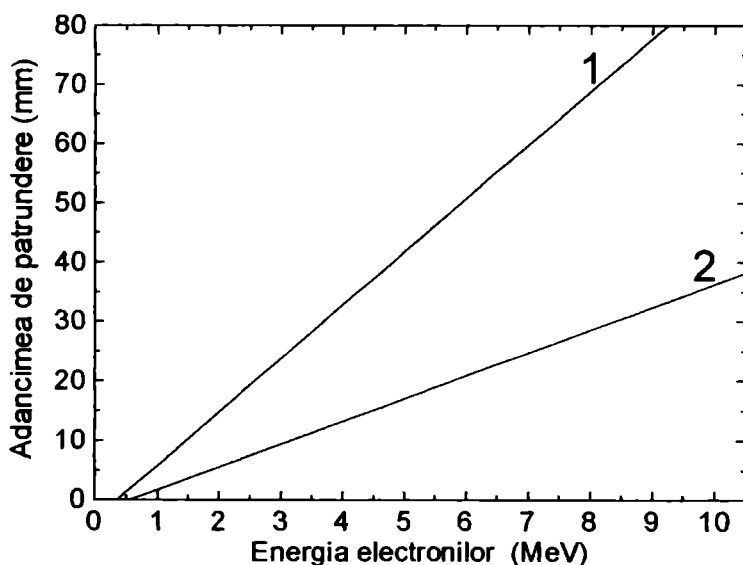


Figura 3.4. Grosimea optimă de iradiere în funcție de energia electronilor pentru un material cu densitatea $1\text{g}/\text{cm}^3$

Pentru a se obține o penetrare mai mare a particulelor incidente, fasciculul de electroni se poate converti în fascicul de raze X care sunt capabile să penetreze materialele ca și radiațiile γ emise de ^{60}Co . În acest fel adâncimea optimă crește cu 7% pentru o energie de intrare a electronilor accelerați de 4,5MeV și cu 17% pentru energii de aproximativ 10MeV.

Din practica industrială s-a stabilit că în procesele care necesită o doză de 100 kGy cu iradiere pe ambele fețe pentru fiecare kW se pot procesa 10,8 kg material cu o eficiență de 30%. Într-o instalație care dezvoltă o putere de 25 kW se pot procesa în fiecare oră 270 kg produs, în timp ce la o putere de 150 kW sunt prelucrate 1,6 t/h.

Instalațiile de iradiere cu electroni accelerați se compun din mai multe elemente: acceleratorul propriu zis, sistemul de transport al produselor, cel de protecție, sistemul de ventilație, sistemul de securitate și control.

Acceleratoarele de electroni, în diferitele lor variante, sunt instalații în care funcționează un sistem de alimentare și de obținere a tensiunilor necesare accelerării, o sursă emițătoare de electroni și un sistem de baleiaj al electronilor accelerați. În cele ce urmează vor fi descrise câteva acceleratoare mai cunoscute.

Acceleratorul de electroni de tip LINEAC este utilizat în scopuri industriale, medicale sau de cercetare. Funcționarea acestui tip de instalație de accelerare a electronilor se bazează pe generarea unui flux de electroni prin reglare și modularea unui curent alternativ de alimentare a unui tub de microunde de putere. Pentru accelerarea electronilor se aplică o tensiune înaltă unui ghid de undă vidat (figura 3.5). Cu cât tubul-ghid de undă este mai lung cu atât energia electronilor furnizați este mai mare.

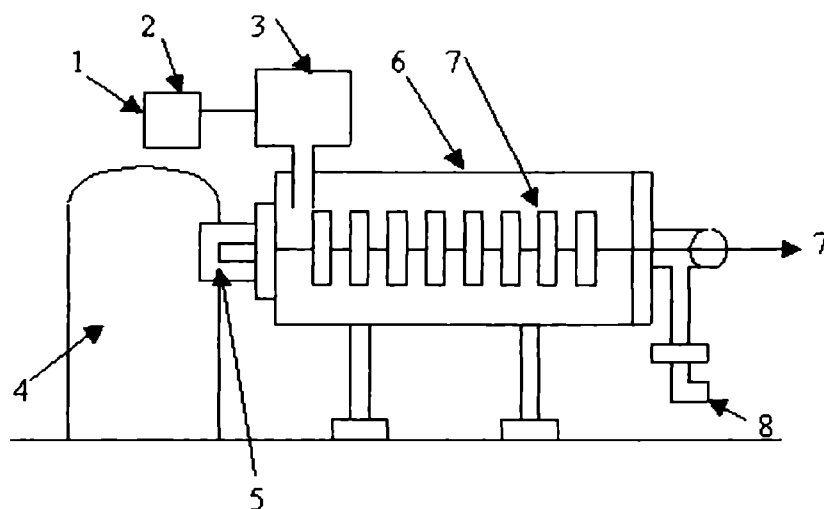


Figura 3.5. Structura unui accelerador linear (lineac).

- (1) intrare curent alternativ; (2) modulator; (3) tub de microunde; (4) alimentarea sursei de electroni; (5) sursă de electroni, (6) ghid accelerator de undă; (7) fasciculul de electroni; (8) pompă de vid.

Acceleratorul de tip Van der Graaff (figura 3.6) În această instalație tensiunea de accelerare este obținută prin transportul sarcinilor către cupola izolată cu ajutorul unor curele speciale din cauciuc izoprenic. Rola din cupola acceleratorului constituie în același timp alternatorul de alimentare a circuitelor sursei de electroni. Aceste particule își măresc energia în tubul de accelerare vidat. Fasciculul accelerat de electroni este baleiat cu frecvența și cu amplitudinea necesară.

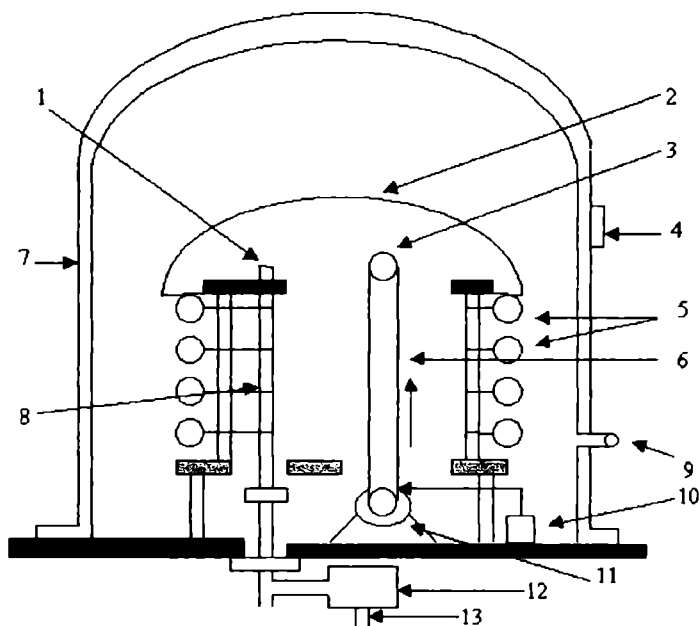


Fig. 3.6. Schema unui accelerator de tip van der Graaff

(1) sursă de electroni; (2) cupolă; (3) alternator; (4) voltmetru generator; (5) izolatoare cu inele de echipotențial; (6) curea de încărcare; (7) tanc de presiune; (8) tub de accelerare; (9) robinet de presiune; (10) sursă de încărcare; (11) motor de antrenare a curelei; (12) pompă de vid; (13) fascicul de electroni.

Acceleratorul de electroni cu transformator rezonant este conceput special pentru scopuri industriale. Transformatorul constituit din mai multe etaje lucrează ca un tot unitar între bare izolatoare, excitarea fiind rezolvată cu o tensiune alternativă variabilă cu frecvența de 180Hz aplicată bobinei primare. Bobina finală alimentează circuitele sursei de electroni, restul bobinelor fiind conectate la electrozii tubului de accelerare. Electronii “pulsează” în tubul de accelerare prin câmpurile de focalizare ajungând în spațiul de baleiere. Energia electrică de alimentare a transformatorului rezonant este obținută de la un motor generator alcătuit din patru componente: un motor sincron de alimentare, un alternator de 180Hz, un excitator și un generator de curent continuu.

Un accelerator de tip Dynamitron este construit în numeroase variante cu tensiuni de accelerare cuprinse între 0,3 și 10 MV și intensități ale fasciculelor de electroni de până la 100mA. Se compune din tancul de presiune, oscilatorul de radiofrecvență, sisteme de baleiaj și de control.

Circuitul rezonant cuprinde o bobină (transformatorul de radiofrecvență) și un condensator (electrozi de radiofrecvență și inele-coronă din jurul coloanei de redresare).

Atunci când se aplică o tensiune de radiofrecvență primarului transformatorului, în secundarul acestuia apare o tensiune înaltă de radiofrecvență aplicată electrozilor. Alimentarea în paralel a redresoarelor conectate în serie conduce, prin însumare, la apariția tensiunii de accelerare. Mărimea acesteia determină numărul modulelor de redresare. Tubul de accelerare vidat este constituit din diode de oțel inoxidabil intercalate cu izolatoare de sticlă. Diodele sunt conectate prin intermediul unor rezistoare care asigură uniformitatea câmpului de-a lungul tubului de accelerare.

Benzile transportoare asigură trecerea produselor sub conul de iradiere. Materialele din care sunt confecționate aceste sisteme de transport trebuie să fie rezistente la doze mari de iradiere, în condițiile unor concentrații mari de ozon.

Produsele care pot fi manipulate pe aceste mijloace de vehiculare sunt diverse: fire, benzi sau tuburi; piese presate sau ambalaje; lichide sau pulberi. Expunerea trebuie să răspundă cerințelor tehnologice de doză. În acest scop, sunt posibile treceri multiple prin zona de iradiere așa cum se arată în figura 3.7. Numărul de treceri și durata parcurgerii fasciculului de iradiere sunt determinate de valoarea dozei totale și, implicit, de doza debit.

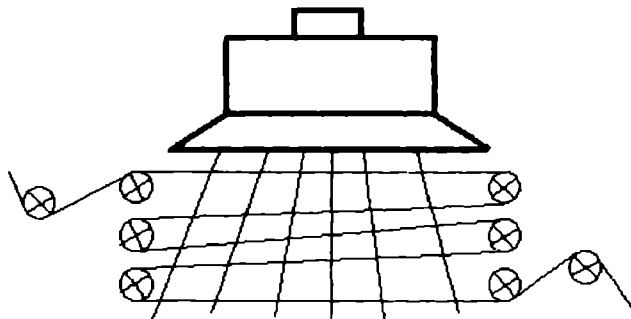


Fig. 3.7. Procesarea filmelor subțiri prin treceri multiple prin fața conului de iradiere

Există în exploatare sisteme de iradiere cu două acceleratoare care funcționează simultan. Utilizarea eficientă a fluxurilor de electroni accelerați face posibilă iradierea pe toate cele patru părți ale produsului măbind în mod substanțial grosimea produselor procesate.

Pentru materialele omogene, doza absorbită crește cu adâncimea de penetrare pe o lungime echivalentă cu parcursul mediu al electronilor și descrește până aproape de anulare în apropierea sfârșitului parcursului. În același timp, datorită generării radiațiilor X, dozele de expunere se măresc corespunzător. În tehnologia iradierii cu electroni accelerați se folosesc mai multe noțiuni de parcurs, în care energia incidentă, E , se exprimă în MeV, iar parcursul se exprimă în g/cm^2 :

parcursul optim, L (optim), definit ca grosimea materialului pentru care doza de ieșire este egală cu doza de intrare. El se calculează după formula:

$$L(\text{optim}) = 0,404 E - 0,161 \quad (3.2)$$

semiparcursul L (50), definit ca distanța de penetrare până la care doza locală este jumătate din doza maximă. El se obține după formula:

$$L(50) = 0,435 E - 0,152 \quad (3.3)$$

semiparcursul L (50e), definit ca distanța la care doza locală este jumătate din doza de intrare. El se obține după formula:

$$L(50e) = 0,458 E - 0,152 \quad (3.4)$$

parcursul practic, $L(p)$, reprezintă distanța până la care tangenta la curba descendentă a funcției doză $D=f(E)$, unde E este energia electronilor incidenti, dusă în punctul de inflexiune, intersectează fondul de radiații X, adică coordonata unde suma dintre energiile cedate de electronii din fasciculul incident și de radiațiile X egalează doza la intrarea fluxului de electroni accelerați. Acesta se calculează după formula:

$$L(p) = 0,510 E - 0,145 \quad (3.5)$$

În tabelul 3.1. sunt prezentate valorile acestor parametri obținuți pentru polietilenă, iar în anexa 4 se dau curbele care reprezintă funcțiile dozei de iradiere la diferite adâncimi în material în funcție de energia electronilor primari.

Tabelul 3.1. Parcursurile electronilor accelerați în polietilenă

Energia (MeV)	Parcursuri* (g/cm ²)			
	L(optim)	L(50)	L(50e)	L(p)
0,40	0,0000	0,0538	0,0538	0,0828
0,60	0,0750	0,1258	0,1288	0,1688
0,80	0,1608	0,2018	0,2138	0,2618
1,00	0,2428	0,2818	0,3018	0,3578
1,50	0,4488	0,4858	0,5288	0,6096
2,00	0,6518	0,6988	0,7538	0,8608
3,00	1,0538	1,1278	1,20088	1,3730
5,00	1,8592	2,0002	2,1312	2,4050
7,50	2,8538	3,1338	3,2838	3,6815
10,00	3,8842	4,2042	4,4292	4,9545

Parcursul, $L = \text{grosime} \times \text{densitate}$

În procesarea prin iradiere cu fascicule de electroni accelerați doza absorbită de materiale (energia absorbită/unitatea de masă) este proporțională cu puterea fluxului de electroni conform expresiei:

$$D(\text{medie}) = F(p).P.t / m \quad (3.6)$$

unde: $D(\text{medie})$ este doza primită de material, exprimată în kGy, P este puterea de emisie, exprimată în kW, t este timpul de iradiere în secunde, iar m este masa totală (kg) prelucrată în intervalul de timp t . Astfel, viteza masică de procesare exprimată în kg/s se poate obține din ecuația:

$$m/t = F(p).P / D(\text{medie}) \quad (3.7)$$

Funcția $F(p)$ este, de fapt, rezultanta unui produs:

$$F(p) = F(i).F(e) \quad (3.8)$$

unde: $F(i)$ este fracția din curentul fluxului emis care ajunge la suprafața materialului, iar $F(e)$ este fracția din puterea fluxului incident care este absorbită în mod real de material, deoarece o parte din puterea inițială se pierde prin emisie de radiații de frânare, la împrăștiere sau în timpul penetrării materialului și prin emisii de radiații X.

Protecția contra radiațiilor reprezintă ecranarea din jurul echipamentului de procesare necesară reducerii nivelului de doză în afara zonei de lucru sub limita admisă.

Fluxul de iradiere are două componente: radiația primară, adică fluxul electronilor accelerați și radiația secundară, fotonii razelor X rezultați în urma ciocnirii electronilor cu nucleele atomilor existenți în materialul procesat. Electronii accelerați, deși formează fascicule de intensitate mare, parcursul lor este relativ mic; radiațiile X au o intensitate mai redusă, dar, în schimb, prezintă o penetrație mult mai mare. În consecință, proiectarea grosimii protecției trebuie să țină seama de fluxul total de radiații și de energia maximă.

Sistemul de ventilație reprezintă echipamentul care asigură extragerea ozonului din zona de lucru pentru a se obține o valoare a concentrației sale sub limita maximă admisibilă. Aceasta presupune eliminarea unui volum de aer proporțional cu concentrația O_3 și cu volumul zonei de iradiere și înlocuirea lui cu aer proaspăt. Pentru evitarea poluării atmosferei curentul de evacuare este diluat până la limita admisă de norme.

Volumul de ozon generat în timpul iradierii poate fi micșorat prin minimalizarea distanței dintre fereastra acceleratorului și produsul expus. Dacă produsul reacționează cu ozonul, de exemplu polimerii cu un conținut ridicat de legături multiple, este recomandată plasarea unei hote în imediata vecinătate a conului de iradiere. Pentru protejarea personalului care exploatează instalația de iradiere este permisă intrarea în zona conului de iradiere sau a ariilor aferente când condițiile de mediu sunt conforme cu reglementările în vigoare.

Sistemele de securitate și de control

În vederea exploatării în condiții de securitate a instalațiilor de iradiere cu electroni accelerați este necesar să existe circuite de autoblocare, o supraveghere permanentă a zonei de iradiere la pornire și în timpul iradierii. Controlul operației de iradiere, realizat prin folosirea unei console, trebuie să indice parametrii optimi de iradiere, respectarea normelor de securitate și de protecție, precum și semnalarea greșelilor de manipulare/operare.

Controlul eficient al procesului și al procedurii de iradiere este asigurat prin plasarea de senzori specifici în diferite zone ale ansamblului de procesare ale căror semnale sunt colectate și vizualizate pe consola acceleratorului.

INSTALAȚII DE IRADIERE CU SURSE IZOTOPICE

Radiațiile γ reprezintă o sursă de energie care poate fi valorificată în cazul obiectelor cu grosimi mari datorită puterii lor de penetrare. Instalațiile de iradiere cu surse γ folosesc procesele de dezintegrare ale ^{60}Co sau ^{137}Cs , iar cele cu surse β sunt dotate cu emițători de ^{90}Sr . Schemele de dezintegrare și perioadele lor de înjumătățire sunt date în figura 3.8.

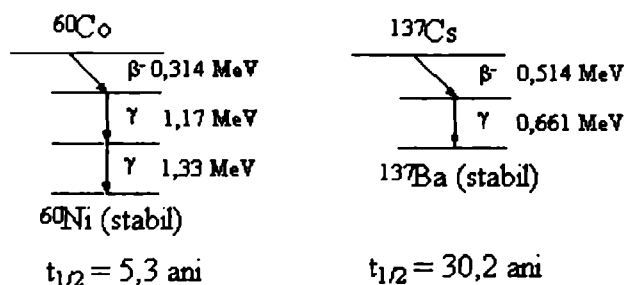


Fig. 3.8. Schemele de dezintegrare și perioadele lor de înjumătățire ale câtorva izotopi folosiți ca surse industriale

Construcția unui sistem de iradiere dotat cu surse izotopice impune respectarea câtorva cerințe de bază:

- realizarea unei repartiții a surselor în camera de iradiere astfel încât să se obțină un coeficient maxim de utilizare și o omogenitate cât mai bună a câmpului de radiație;
- realizarea unei protecții eficiente la radiații pentru prevenirea accidentelor;
- asigurarea unui acces în camera de iradiere în vederea executării lucrărilor de întreținere precum și în spațiul de depozitare a surselor pentru înlocuirea lor.

În instalații industriale care folosesc surse izotopice materialul radioactiv se înglobează, în cele mai multe cazuri, în pastile a căror activitate specifică este dependentă de concentrația

emițătorului. In consecință, numărul de pastile utilizat în realizarea sursei va determina activitatea sa totală și deci, doza debit, timpul de iradiere și grosimea protecției contra radiațiilor.

Cele mai multe instalații în care se execută iradierile γ sunt folosite pentru sterilizări medicale sau pentru conservarea alimentelor. In domeniul polimerilor, radioprocésarea cu radiații γ , în special in instalații echipate cu surse de ^{60}Co , este rezultatul transformărilor chimice inițiate de radicalii liberi. In acest fel se pot realiza polimerizarea etilenei sau copolimerizări prin grefare. Procedul radiochimic poate fi aplicat cu succes la obținerea copolimerului polietilenă-butadienă, grefarea stirenului pe polietilenă, grefarea acrilonitrilului pe policlorură de vinil, grefarea acidului acrilic pe fibre de polietilentereftalat, obținerea de materiale compozite lemn-material plastic sau beton-polimer, întărirea rășinilor poliesterice, etc.

Iradierile efectuate în scopul sterilizării obiectelor de uz medical sunt practicate la doze mici, rareori depășind doza de 100-150kGy. Materialele polimerice care se pretează radiosterilizării sunt polietilena (PE), polipropilena (PP), polistirenul (PS), policlorura de vinil (PVC), polistiren-acrilonitrilul (SAN), acrilonitril-butadienstirenul (ABS), materiale celulozice, fluoroplaste, acriilați. Avantajul major al acestui tip de tratament constă în penetrarea omogenă a materialelor supuse iradierii ceea ce este greu de obținut în procedeele cu oxid de etilenă. In plus, absența deșeurilor sau consumurile energetice reduse fac din metodele de sterilizare cu radiații ionizante alternative atractive la tratamentele clasice menționate.

Totuși, un inconvenient major al acestui tip de sterilizare în cazul polipropilenei sau a policlorurii de vinil, atunci când el nu este corect aplicat, este inducerea unui efect de degradare în materialul iradiat concretizat prin decolorare și deprecierea proprietăților mecanice. Apariția fragilizării este o consecință a schimbării greutateii moleculare a compusului antrenând și o îmbătrânire prematură a produselor.

SISTEME DOZIMETRICE

Schimbările structurale induse de radiațiile de mare energie sunt produse în urma absorbției unei anumite cantități de energie. Necesitatea corelării nivelului modificărilor fizice și chimice cu transferul energetic de la fasciculul care traversează materialul iradiat a condus la folosirea unor sisteme dozimetrice diverse.

Exactitatea măsurătorilor de doză impun ca dozimetrele să prezinte anumite trăsături:

- *reproductibilitate*, în sensul obținerii acelorași valori pentru sisteme iradiate în aceleași condiții; efectul obținut prin iradiere trebuie să fie proporțional cu cantitatea de energie primită; schimbarea produsă trebuie să fie ireversibilă;

- *sensibilitate*, în sensul decelării unor diferențe cât mai mici între două măsurători similare realizate cu două tipuri diferite de radiații adică să nu depindă de natura sau de energia radiației;
- *robustețe*, în sensul păstrării caracteristicilor fizice sau geometrice, iar fenomenul să se producă cu un randament mare;
- *independență*, în sensul posibilității de folosire în orice zonă de expunere cu sau fără probe de testat.

Dozimetria radiațiilor este necesară în trei situații generale:

- achiziționarea unei instalații noi de iradiere pentru care trebuie cunoscute cu exactitate doza debit și doza totală absorbită. În cazul folosirii acestei instalații pentru procesarea polimerilor, uniformitatea câmpului de radiații este un factor determinant al respectării tehnologiei de iradiere.
- cunoașterea distribuției dozei conduce la evaluarea corectă a timpului de expunere pentru a se obține efectul dorit.
- evaluarea efectelor induse trebuie interpretate în mod corect în interdependență cu energia primită în cursul radiolizei.

Tehnicile dozimetrice se pot realiza folosindu-se metode de măsură absolute sau relative.

Metode dozimetrice absolute

Calorimetria

Radiațiile de mare energie care traversează un material vor ceda parțial sau total energia lor care este transformată în căldură. Pentru acest gen de determinări se face presupunerea că sistemul iradiat lucrează în regim adiabatic, astfel încât să se asigure absența pierderilor termice.

Un calorimetru asigură determinarea temperaturii atinse după o anumită expunere în timpul căreia absorbantul primește energia E . Pentru o masă m , raportul E/m reprezintă doza primită, deci:

$$\Delta T = \frac{E}{mc} = \frac{D}{c} \quad (3.9)$$

unde ΔT reprezintă variația de temperatură a materialului iradiat (K), D este doza absorbită ($J \cdot kg^{-1}$), iar c este căldura specifică a materialului testat ($J \cdot kg^{-1} \cdot K^{-1}$)

În figura (3.9) este prezentată o secțiune transversală printr-un calorimetru folosit drept dozimetru. Absorbantul poate fi grafit sau apă în care radiația transferă energie, iar acesta își mărește temperatura. În tabelul 3.2 sunt date valorile creșterilor de temperatură, calculate folosind expresia (3.9) ce se obțin la iradierea diferitelor materiale polimerice cu electroni accelerați.

În condiții ideale, atunci când pierderile de căldură în exterior sunt nule iar doza are o distribuție uniformă, viteza de creștere a temperaturii este descrisă de relația (3.10):

$$\frac{dT}{dt} = \frac{1}{c} \cdot \frac{dD}{dt} \quad (3.10)$$

Temperatura absorbantului se măsoară cu ajutorul unui termistor, deoarece acest tip de detector are o masă suficient de mică și un coeficient de temperatură al rezistenței foarte convenabil. Produsul $c(dT_e/dt)$ necesar în evaluarea dozei se poate determina folosindu-se un element de încălzire în absorbant. Pe baza efectului termic al curentului electric etalonarea calorimetrului se realizează independent de acțiunea radiațiilor făcând posibilă calcularea dozei după formula (3.11):

$$c \cdot \frac{dT_e}{dt} = \frac{I^2 \cdot R}{m} \quad (3.11)$$

unde I este intensitatea curentului folosit pentru încălzire în timpul etalonării (A), R este rezistența electrică a încălzitorului (Ω), T_e este temperatura mantalei încălzită electric ($^{\circ}\text{C}$), iar celelalte mărimi fiind definite pentru relația (3.10).

Tabelul 3.2. Creșteri de temperatură la iradierea cu electroni accelerați a unor polimeri

Polimer	Căldura specifică ($\text{J} \cdot \text{g}^{-1} \cdot \text{K}^{-1}$)	Creșterea de temperatură ($\text{K} \cdot \text{kGy}^{-1}$)
Nylon 6	1,67	0,60
Nylon 6,6	1,67	0,60
Policarbonat	1,26	0,79
Polietilenă	2,30	0,43
Polimetilmetacrilat	2,09	0,48
Polipropilenă	1,92	0,52
Polistiren	1,34	1,75
Politetrafluoretilenă	1,05	0,95
Policlorură de vinil	1,34	0,75

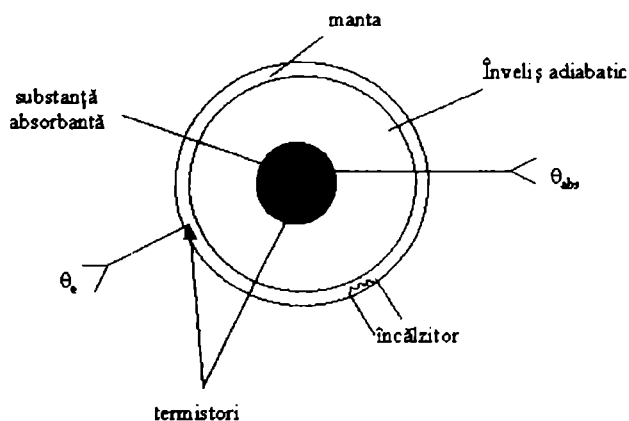


Figura 3.9. Secțiune transversală printr-un calorimetru adiabetic folosit ca dozimetru absolut

Calorimetrele sunt folosite ca instrumente de referință într-un domeniu larg de doză. Pentru studiul efectelor radioinduse în polimeri, domeniul optim de doză absorbită este de la 3 la 50 kGy.. Se pot da două exemple de determinare calorimetrică a dozei: polimetilmetacrilatul care are o căldură specifică $c = 1500\text{J}\cdot\text{kg}^{-1}\cdot\text{K}^{-1}$ își mărește temperatura cu 67K atunci când primește o energie corespunzătoare unei doze de 100kGy; polistirenul ($c = 1300\text{J}\cdot\text{kg}^{-1}\cdot\text{K}^{-1}$) își modifică temperatura cu 77K pentru aceeași doză de 100kGy.

Se poate observa că determinarea calorimetrică a dozei nu este influențată de spectrul energetic al radiației folosite.

Dozimetria cu camera de ionizare

Această metodă folosită în mod curent pentru determinarea dozei în sisteme gazoase constă în colectarea ionilor pozitivi și a electronilor apăruiți în urma interacțiunii radiației cu materialul dintre electrozi. Câmpul electric aplicat în acest spațiu este rezultatul diferenței de potențial dintre armături, V , aflate la o distanță d una de cealaltă.

Mișcarea purtătorilor de sarcină și descărcarea lor pe electrozi determină un curent electric măsurabil. În figura 3.10 este prezentat regimul de variație a intensității curentului în funcție de intensitatea câmpului pentru două doze absorbite. În primul domeniu de intensitate a câmpului elec-

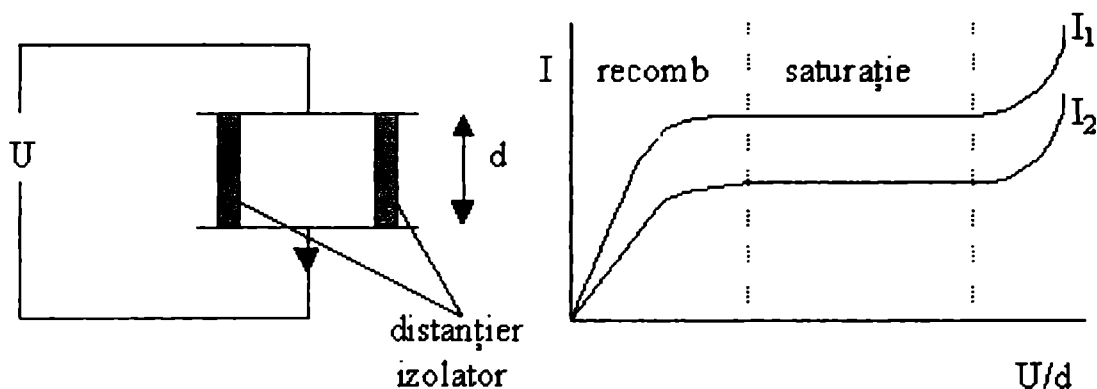


Figura 3.10. Schema unei camere de ionizare și variația curentului obținut într-o cameră de ionizare pentru două doze totale diferite

tric, U/d , curentul crește până se atinge valoarea de saturatie. Cu cât doza este mai mică cu atât curentul obținut este mai mic. Pentru câmpuri cu intensitate mică purtătorii de sarcină nu sunt accelerați suficient pentru a se descărca rapid, astfel încât probabilitatea de recombinație a entităților cu sarcini opuse este mai mare. În felul acesta valoarea curentului măsurat se diminuează. Recombinarea poate avea loc între particulele aceluiasi ciorchine sau între sarcini aparținând ciorchinilor vecini. Pe de altă parte, intensitatea câmpului nu poate fi mărită oricât în scopul colectării unei cantități foarte mari de sarcini. În această situație ionizarea secundară a dielectricului

dintre armături se va suprapune peste ionizarea produsă de radiații, iar curentul va depăși valoarea de saturație fără ca radiațiile să aibă vreun aport.

Pentru determinarea dozei debit se poate folosi relația (3.12):

$$\frac{dD}{dt} = W \cdot J \quad (3.12)$$

unde $\frac{dD}{dt}$ este doza debit

W este energia cheltuită pentru formarea unei perechi de ioni,

J este numărul de perechi de ioni produse în unitatea de masă într-o secundă. El se poate calcula direct din valoarea sarcinii electrice corespunzătoare curentului de saturație și din ecuația de stare a gazului cunoscându-se presiunea, temperatura și volumul gazului.

Metode dozimetrice relative

În scopul determinării dozelor de iradiere într-un domeniu larg de valori și considerând marea diversitate a materialelor supuse iradierii au fost propuse un număr foarte mare de sisteme dozimetrice relative. Ele au fost concepute pe baza efectelor macroscopice măsurabile pe căi fizice sau chimice.

Dozimetria chimică se bazează pe reacții chimice bine definite care au loc datorită transferului de energie către substratul iradiat. Au fost inventate dozimetre în toate cele trei stări de agregare.

Sistemele dozimetrice gazoase sunt deosebit de utile în caracterizarea proceselor de polimerizare a hidrocarburilor gazoase (dozimetrul cu etilenă), în decelarea unor doze relativ mici (dozimetrul cu acetilenă) datorită sensibilității acestei hidrocarburi inferioare la acțiunea radiațiilor ionizante sau în evaluarea aportului energetic în reacțiile de sinteză anorganică, de exemplu fabricarea acidului azotic sau clorhidric (dozimetrul cu oxid azotos).

Sistemele dozimetrice lichide au o aplicabilitate foarte largă datorită mecanismelor de radioliză bine cunoscute și a valorilor randamentelor radiochimice exact precizate în funcție de compoziția lor chimică. Cele mai frecvent folosite sunt dozimetrul cu sulfat feros (dozimetrul Fricke) sau cu sulfat ceric, dozimetrul cu acid oxalic, etc. Aceste sisteme dozimetrice sunt ușor de preparat și satisfac cerințele tehnologiilor care utilizează medii condensate. În plus, sistemele lichide permit introducerea lor în incinte cu dimensiuni dintre cele mai diferite răspunzând celor mai variate aplicații (industria chimică, reactori nuclear - energetici, radiobiologie, medicină nucleară,). Aceste tipuri de dozimetre au marele avantaj că se pot prepara foarte simplu, iar determinarea modificărilor chimice se face cu destulă ușurință.

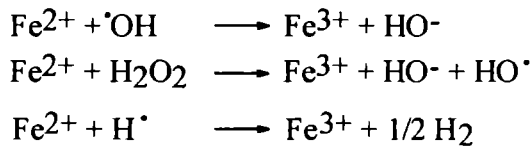
În clasa dozimetrelor solide sunt incluse și materialele polimerice în care schimbarea culorii poate fi evaluată cantitativ prin metode optice. Aceste sisteme trebuie să îndeplinească următoarele

cerințe:

- relația dintre doză și variația densității optice să fie liniară (pe cât posibil) și independentă de doza debit;
- densitatea optică trebuie să fie reproductibilă și stabilă în timp după terminarea iradierii;
- variația măsurabilă să fie independentă de factori externi ca de exemplu: temperatura sau lumina;
- schimbările induse în materialul polimeric să fie independente de natura radiației într-un domeniu larg de energie.

Dozimetrul cu sulfat feros

Reacția de oxidare care conduce la transformarea ionului Fe^{2+} în Fe^{3+} stă la baza determinării dozei de iradiere cu sulfat feros în domeniul 10-400 kGy la o doză debit inferioară valorii de 10^2 kGy/s. Speciile intermediare rezultate din radioliza apei reacționează cu ionii feroși existenți în soluția de H_2SO_4 0,8 N:



Deci, randamentul radiochimic global al ionilor ferici este:

$$G(Fe^{3+}) = G_{OH} + 2.G_{H_2O_2} + G_{red} = 8,2 \text{ ioni}/100eV \quad (3.13)$$

În urma determinărilor absorbanțelor pentru soluția finală, A_f , cât și pentru soluția inițială, A_i , se pot calcula dozele de iradiere. Astfel, conform definiției randamentului radiochimic:

$$D\left(\frac{eV}{g}\right) = \frac{100.n_{even}/g}{G} \quad \text{sau} \quad D(Gy) = D\left(\frac{J}{kg}\right) = \frac{100.n_{even}/g}{G} \cdot \frac{1,6 \cdot 10^{-19}}{1000}$$

Din legea Lambert-Beer ($A = \epsilon \cdot l \cdot c$, unde A este absorbanta citită, ϵ este coeficientul molar de extincție, l este lungimea statului absorbant, iar c este concentrația soluției) folosită în măsurătorile spectroscopice se poate afla concentrația soluțiilor inițială și finală, precum și numărul de ioni frici formați în urma procesului de radioliză a soluției de sulfat feros. Astfel, dacă

$$c = \frac{A}{\epsilon \cdot l}, \text{ exprimată în mol/l sau } c = \frac{A}{\epsilon \cdot l} \cdot N_A \text{ exprimată în molec/l}$$

Această ultimă expresie poate fi convertită în număr de ioni Fe^{3+} (n_{even}) cu ajutorul densității:

$$c = \frac{A}{\epsilon \cdot l \cdot \rho} N_A \text{ exprimată în molecule/g}$$

Prin urmare,

$$D(kGy) = \frac{1,6 \cdot 10^{-19} \cdot 100 \cdot 6,023 \cdot 10^{26}}{15,6 \cdot 1000 \cdot 2174} \cdot \frac{A_f - A_i}{\ell} = 2,84 \cdot 10^2 \cdot \frac{A_f - A_i}{\ell} \quad (3.14)$$

unde $N_A = 6,023 \cdot 10^{26}$ molecule/kmol, 15,6 este valoarea randamentului radiochimic al Fe^{3+} din soluția dozimetrică folosită, coeficientul molar de extincție al Fe^{3+} este $2174 \text{ mol}^{-1} \cdot \text{cm}^{-1}$ la lungimea de undă de 3020-3050 Å considerându-se densitatea soluției $1 \text{ g} \cdot \text{cm}^{-3}$. În formula (3.14) lungimea statului de soluție se exprimă în cm.

Dozimetru cu sulfat ceric

Reducerea ionilor de ceriu din starea de valență 4+ la Ce^{3+} reprezintă procesul pe care se bazează acest sistem dozimetric. Față de sistemul standard cu sulfat feros, dozimetrul cu sulfat ceric prezintă două avantaje:

- independența față de prezența sau de absența oxigenului,
- posibilitatea efectuării de evaluări de doză în domenii de valori depășind 10^6 kGy.

Determinările spectrale la lungimea de undă de 3200 Å, cu o valoare a coeficientului de extincție de $5565 \text{ mol}^{-1} \cdot \text{cm}^{-1}$, permit cunoașterea valorilor de absorbantă pentru cele două soluții, inițială (neiradiată) și finală.

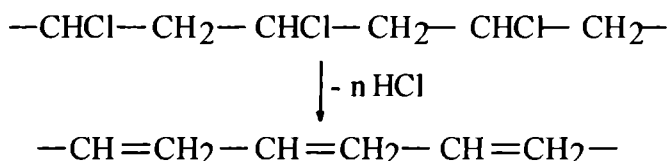
Analog dozimetrului Fricke, pentru determinarea dozei de iradiere se pornește de la reacțiile chimice care au loc în timpul radiolizei soluțiilor de sulfat ceric și de la valoarea randamentului radiochimic de formare a ceriului trivalent:

$$G(Ce^{3+}) = G_H + 2 \cdot G_{H_2O_2} - G_{OH} = 2,3 \text{ ioni} / 100eV \quad (3.15)$$

Existența altor tipuri de dozimetre chimice, ca de exemplu soluții apoase de acid oxalic, de acid benzoic sau de benzoat de calciu, de acid formic sau de formiat de sodiu, coloranți, benzen, etc. permite stabilirea dozelor de iradiere, doza totală sau doza debit, în cele mai diverse condiții.

Sistemele dozimetrice solide constituie modalități prin care modificările induse în urma expunerii lor la radiații de mare energie sunt corelate cu schimbarea culorii. Polimerii pot fi folosiți ca dozimetre în domeniul dozelor relativ mari (10^2 - 10^6 Gy).

Policlorigura de vinil se folosește sub formă de plăci sau de folii. Mecanismul procesului de colorare se bazează pe procesul de dehidroclorurare a polimerului în urma transferului energetic de la radiațiile incidente și formarea de legături duble:



Este foarte posibil ca odată inițiat acest proces de degradare prin dehidroclorurare, el să se propage printr-o reacție în lanț, iar rezultatul să fie apariția unor legături conjugate, ceea ce reprezintă o configurație cromoforă. La început, culoarea plăcii este verzuie, apoi ea devine maro-roșcat, iar la doze foarte mari culoarea virează spre un maro intens. Developarea plăcilor dozimetrice de policlorură de vinil se execută prin încălzire timp de 1h la 50°C sau într-un interval de 5-10 minute la 80°C. După developarea plăcilor înregistratoare de doză, se citește absorbanta la lungimea de undă de 3960 Å.

Alegerea materialului pentru prepararea dozimetrelor de PVC trebuie să țină cont de uniformitatea materialului și de proprietățile sale optice. Pentru evaluarea dozelor cu acest tip de material plastic este indicat să se ridice o curbă de calibrare pentru fiecare lot în raport cu determinări efectuate cu dozimetrul Fricke. Astfel se elimină erorile care apar datorită diferențelor care provin din regimul de fabricație al polimerului. Calibrarea trebuie realizată cu același tip de radiații, deoarece efectele induse de radiațiile γ ale ^{60}Co și cele produse de electronii accelerați sunt diferite în cele două sisteme dozimetrice. În figura (3.11) este prezentată o curbă de calibrare a plăcilor de PVC de grosime 0,4 mm, iradierea fiind realizată la o sursă de ^{60}Co .

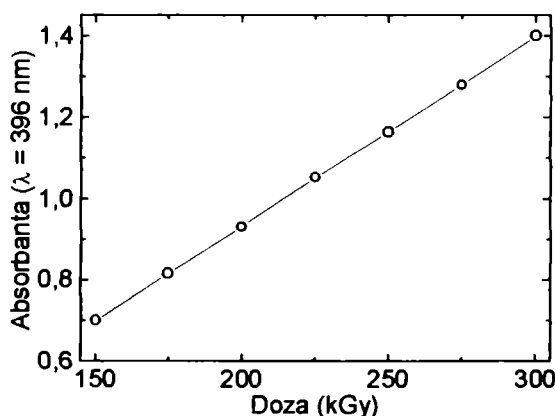


Figura 3.11. Curbă de calibrare pentru plăci de PVC de grosime 0,4 mm trasată după efectuarea expunerilor la o sursă de ^{60}Co .

Polimetilmetacrilatul (Perspex) expus radiațiilor de mare energie suferă modificări structurale care se traduc prin creșterea absorbantei în ultraviolet. Din punct de vedere comercial, PMMA se prezintă sub diferite rețete de fabricație, astfel încât concentrațiile de adaosuri (inițiatori de polimerizare, plastifianți, monomeri reziduali, etc.) influențează în mod decisiv comportamentul polimerului la iradiere. În felul acesta, nu se poate asigura o reproductibilitate a măsurătorilor de la un producător la altul. Din acest motiv, sunt produse dozimetre din polimetilmetacrilat cu proprietăți speciale, bine definite, de exemplu, marca PERSPEX.

Măsurătorile optice pe dozimetrul din PMMA se realizează în regiunea spectrală caracteristică absorbției maxime pentru polimetilmetacrilat (2600-3450 Å). Calibrarea se poate face cu sisteme

dozimetric standard. Pentru un film de Perspex preparat special pentru măsurători dozimetrice în câmp de radiații ionizante, calcularea dozei se poate face analog procedurii descrise pentru dozimetrul Fricke folosind relația (3.16):

$$D(\text{kGy}) = 3,48 \cdot \frac{A}{I} \cdot 10^{-2} \quad (3.16)$$

iar curbele de calibrare sunt prezentate în figura (3.12).

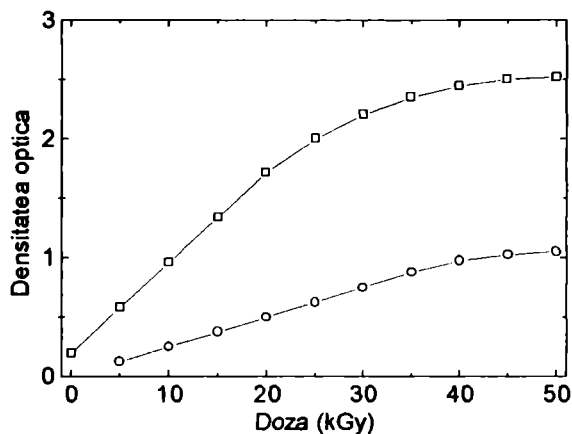


Figura 3.12. Curbe de calibrare dozimetrică pentru Perspex HX.
Grosimi de filme: (□) 3 mm; (○) 1 mm.

Polistirenul prezintă calități dozimetrice similare cu ale polimetilmetacrilatului. Absorbanța polimerului neiradiat prezintă un maxim în regiunea ultravioletă sub 2800 Å. Ca rezultat al iradierii polistirenului el devine mult mai transparent în domeniul spectral ultraviolet, iar absorbanța maximă se mută spre lungimi de undă mai mari.

Variația absorbanței polistirenului cu doza de iradiere la 5200 Å este redată în figura (3.13), iar schimbarea valorilor de absorbanță a materialului iradiat se produce într-un domeniu larg de lungimi de undă (3100-5000 Å, figura 3.14).

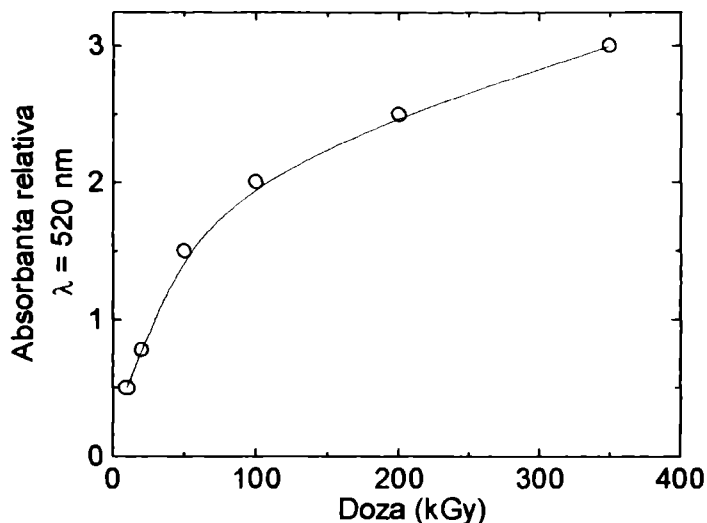


Figura 3.13. Variația absorbanței unei folii de polistiren cu doza de iradiere.

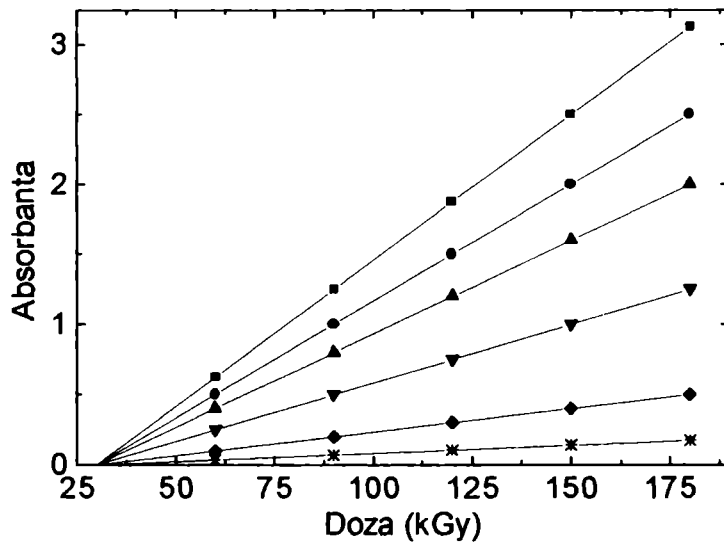


Figura 3.14. Dependența absorbantei unei folii de polistiren iradiată în urma determinărilor spectrale realizate la diferite lungimi de undă.

Polietilena este un material polimeric des utilizat în dozimetria radiațiilor ionizante. Variația culorii sale ca urmare a acțiunii radiațiilor ionizante se bazează pe formarea de legături duble, proces simultan cu formarea și degajarea unei cantități corespunzătoare de hidrogen. Ca urmare a colectării hidrogenului gazos se poate măsura presiunea acestuia. Această valoare fizică se poate converti ușor în masă de gaz și, deci, în doză de iradiere.

REAȚII INDUSE DE RADIAȚII IONIZANTE ÎN HIDROCARBURI

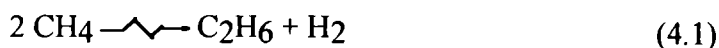
Hidrocarburile sunt molecule simple care pot fi folosite drept compuși de referință în studiul efectelor radiațiilor ionizante asupra polimerilor. Comportarea substanțelor organice se bazează pe diferențele care există în energiile de legătură care caracterizează părțile constitutive ale moleculelor polimerilor. Legăturile covalente stabilite între atomii compușilor organici sunt mai puțin rezistente decât legăturile ionice la acțiunea radiațiilor de mare energie datorită unui transfer energetic care depășește cu mult valorile energiilor de legătură. Descrierea proceselor radiochimice care au loc la iradierea hidrocarburilor constituie puncte de plecare pentru elucidarea mecanismelor de degradare sau de reticulare specifice diferitelor clase de polimeri.

Iradierea unei hidrocarburi pure conduce la un amestec de produși solizi, lichizi și gazoși. Intotdeauna hidrogenul este prezent printre compușii gazoși, dar niciodată nu se va obține carbon elementar.

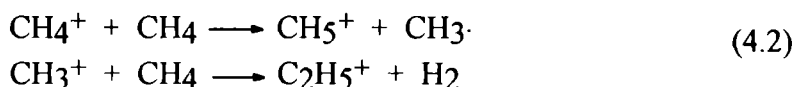
EFACTELE RADIAȚIILOR ÎN MEDII DE HIDROCARBURI

(a) Hidrocarburi saturate

Primele studii de chimia radiațiilor în domeniul hidrocarburilor au fost realizate în fază gazoasă folosind radonul sau o sursă internă cu emițător α . Prin iradierea metanului se obțin produși gazoși, în principal hidrogen și etenă. Reacția globală care descrie acest proces este:



Măsurătorile realizate prin spectrometrie de masă și care au pus în evidență reacțiile ion-moleculă au contribuit la detalierea mecanismului de formare a principalelor produse gazoase de radioliză:



Utilizarea iodului drept captor de radicali a demonstrat existența radicalilor metil ca principal produs intermediar în radioliza metanului ca și proporția mică a radicalilor etil. Se pare că CH_2^+ poate fi neutralizat de un electron care conduce la formarea radicalilor metilen. În tabelul (4.1) sunt date randamentele radiochimice ale mai multor hidrocarburi inferioare obținute prin iradierea metanului cu diferite tipuri de radiații, în condiții, anaerobe pentru a se preveni procesul de oxidare în care pot fi implicați intermediarii de radioliză.

În același timp, printre produșii detectați în urma iradierii metanului au fost puși în evidență materiale cu mase moleculare mari cu formula brută C_nH_{2n} : $G(\text{polimer}) = 0,13$, ceea ce dovedește că o parte din molecule au participat la un proces de polimerizare.

Atunci când iradierea a fost efectuată în prezența unor spoturi reci a fost pusă în evidență formarea etenei, confirmată prin formarea iodurilor ca rezultat al reacțiilor cu captorul de radicali. Cantitatea mică sau absența hidrocarburilor nesaturate sugerează ideea că acestea sunt consumate prin reacții ulterioare cu radicalii liberi.

Tabelul 4.1. Randamentele radiochimice ale produșilor rezultați din iradierea metanului.

Produs	Randamente radiochimice		
	Iradiere cu electroni	Iradiere cu particule α	Iradiere cu radiații X
(- CH ₄)	7,6	7,3	8,5
H ₂	5,7	5,5	7,2
C ₂ H ₆	2,1	1,1	1,65
C ₃ H ₈	0,14	0,38	0,33
C ₄ H ₁₀	0,04	0,22	0,16
C ₅ H ₁₂	-	-	0,10
C ₆ H ₁₄	-	-	-
C ₂ H ₄	0,05	-	0,23
C ₂ H ₂	-	-	0,26

Hidrocarburile superioare metanului prezintă un comportament asemănător, cu mici diferențe în ceea ce privește randamentele radiochimice ale produșilor de radioliză, ca o consecință a diferenței în structurile moleculare. Pentru exemplificarea comportării metanului, tabelul (4.2) prezintă valori ale randamentelor produșilor finali ce pot fi comparate cu cele listate în tabelul (4.1).

În urma iradierii termenilor inferiori ai parafinelor în stare gazoasă s-a constatat un randament foarte mic de formare al etenei, deci a unei structuri nesaturate. Butanul lichid produce prin iradiere la temperatura de -30°C și la o doză α de 100 kGy hidrocarburi inferioare cu dublă legătură, cu randamente semnificative: $G(\text{C}_2\text{H}_4) = 0,65$; $G(\text{C}_3\text{H}_6) = 0,65$; $G(\text{C}_4\text{H}_8) = 1,32$; $G(\text{C}_8\text{H}_{16}) = 0,62$. Mărirea dozei la 1 MGy conduce la micșorarea acestor valori [$G(\text{C}_2\text{H}_4) = 0,22$; $G(\text{C}_3\text{H}_6) = 0,075$; $G(\text{C}_4\text{H}_8) = 0,48$; în schimb $G(\text{C}_8\text{H}_{16})$ a crescut la 0,95. Această comportare se poate explica prin instabilitatea radiochimică a legăturilor duble, dar poate constitui și o dovadă pentru reacțiile în lanț prin care se pot forma produși cu mase moleculare mai mari.

Aceste date au constituit premisele proceselor de polimerizare induse de radiațiile ionizante.

Tabelul 4.2. Randamentele radiochimice ale produșilor rezultați din iradierea etanului și propanului.

Produs	Randamente radiochimice	
	Iradierie cu electroni	Iradierie cu particule α
ETAN		
(-C ₂ H ₆)	-	5,90
H ₂	3,9	4,50
CH ₄	0,49	0,90
C ₃ H ₈	-	0,31
PROPAN		
(-C ₄ H ₁₀)	-	6,6
H ₂	3,8	4,3
CH ₄	1,2	2,1
C ₂ H ₆	2,2	0,6
C ₃ H ₈	1,3	0,82
C ₅ H ₁₂	0,42	0,60
C ₆ H ₁₄	0,92	-

În cazul alcanilor superiori randamentul hidrogenului rămâne aproape constant pentru cele mai multe structuri liniare sau ciclice, dar scade foarte mult la compușii cu structură ramificată datorită modului diferit de scindare a moleculelor. Mobilitatea speciilor intermediare influențează decisiv randamentul hidrogenului, $G(H_2)$ la diferite temperaturi. Astfel, la iradierea cu electroni a *n*-heptanului la temperatura de $-120^{\circ}C$ fiecare 100eV a produs 3,12 molecule de hidrogen, în timp ce la temperatura camerei ($25^{\circ}C$) pentru aceeași energie apar 4,9 molecule de hidrogen.

Transformările chimice care au loc la iradierea hidrocarburilor saturate cu un număr de atomi de carbon mai mare de 6 conduc la formarea de structuri nesaturate prin reacții de eliminare. În hidrocarburile lineare majoritatea nesaturării se găsește sub formă de structuri *trans*-vinilen, cu randamente între 1,5 și 2, în timp ce compușii ramificați produc structuri viniliden cu randamente între 0,9 și 1,4.

(b) Hidrocarburi etilenice

Radioliza olefinelor reprezintă punctul de plecare al proceselor de polimerizare sau a celor de modificare prin iradierea materialelor polimerice. Principalii produși rezultați în urma iradierii

olefinelor sunt compuși gazoși și compuși de condensare fapt care atestă că cele mai labile legături sunt cele care se formează între ramificații și catena macromoleculară.

Ca o regulă generală, randamentele radiochimice ale produșilor gazoși formați în radioliza olefinelor sunt mai mici decât acelea obținute la iradierea compușilor saturați, în timp ce produșii lichizi au randamente mai mari. În plus, compoziția amestecului gazos este diferită pentru iradierea celor două clase de hidrocarburi: hidrogenul reprezintă 95% din gazele formate la iradierea *n*-parafinelor, iar la radioexpunerea olefinelor numai 80% din faza gazoasă este hidrogen.

Prezența legăturii duble în moleculele poliolefinelor este un factor decisiv în procesul de reticulare. Astfel, $G(\text{polimer})$ pentru ciclohexan este 1,7, pe când valoarea pentru ciclohexenă este 12,4. În tabelul (4.3) sunt prezentate comparativ câteva randamente de reticulare pentru hidrocarburi saturate și etilenice.

Tabelul 4.3. Randamente de reticulare pentru hidrocarburi saturate și etilenice.

HIDROCARBURI SATURATE		HIDROCARBURI OLEFINICE		
Compus	G(ret)	Compus	G(ret <i>cis</i>)	G(ret <i>trans</i>)
Heptan (C ₇)	3,3	Decenă-1	6,6	
Decan (C ₁₀)	3,7	Octadecenă-1	5,9	
Dodecan (C ₁₂)	3,1	Octadecenă-2	5,5	5,9
Octadecan (C ₁₈)	3,6	Octadecenă-3	4,2	4,6
Tertacozan (C ₂₄)	3,8	Octadecenă-4	4,0	4,2
Octacozan (C ₂₈)	3,3	Octadecenă-6	3,7	3,8
Dotriacozan (C ₃₂)	4,1	Octadecenă-7	3,5	3,6
Tretatricozan (C ₃₄)	4,3	Octadecenă-8	3,6	-
Hexatricozan (C ₃₆)	3,7	Octadecenă-9	3,7	3,5

Așa cum se observă din tabelul (4.3), poziția dublei legături în molecula materialului supus radiolizei modifică randamentul de reticulare cu aproape jumătate din valoarea pentru termenul octenă-1. Localizarea nesaturării spre capătul moleculei favorizează reticularea, astfel încât randamentul de reticulare scade de la 5,9 la 3,6, atunci când legătura dublă este poziționată mai aproape de centrul moleculei.

Iradieri ale etilenei cu radiații α sau cu electroni accelerați, particule incidente care furnizează o densitate mare de energie, au condus la formarea unui lichid incolor cu formula aproximativă (CH_{1,7})_n. Randamentul de descompunere a etilenei este de 18,1 molecule/100eV; randamentele de

formare a hidrogenului și a metanului sunt de numai 3,6 molecule/100eV. Prin ridicarea temperaturii de radioliză a etenei randamentul de consum crește ajungând la 30°C la valoarea de 30,9 molecule/100eV.

Modificarea presiunii de lucru la iradierea etenei scoate în evidență caracterul radicalic al polimerizării. Dacă la presiune normală $G(-C_2H_4)$ este 45 molecule/100eV, iar polimerul solid obținut este de culoare galbenă sau roșie, la o presiune de 21 atm, dar la aceeași temperatură, această mărime G devine 2500 molecule/100eV, iar polimerul este de culoare albă. În condiții de temperatură ridicată (~237°C) și presiune mare (21atm) formarea unui lichid vâscos are loc cu un randament de $G(-C_2H_4) = 12000$ molecule/100eV. Aceste valori foarte ridicate permit folosirea tehnologiilor de iradiere la fabricația materialelor macromoleculare pornindu-se de la etilenă.

(c) Hidrocarburi acetilenice

Compușii care conțin triplă legătură prezintă o stabilitate mai mică la acțiunea radiațiilor ionizante în comparație cu olefinele. Acetilena se polimerizează prin iradiere cu particule α sau cu electroni accelerați conducând la un produs galben care reacționează cu oxigenul. Solidul este insolubil în orice solvent. În afară de acesta în sistemul de radioliză apare benzen în urma conversiei a 15-20% din acetilenă. Randamentele calculate pentru transformările chimice din acetilena iradiată sunt $G(-C_2H_2) = 72$, $G(\text{polimer}) = 60$ și $G(C_6H_6) = 5,1$.

Două mecanisme sunt acceptate pentru a explica procesul de polimerizare a acetilenei: unul radicalic și celălalt ionic. Ultima afirmație se bazează pe rezultatele experimentelor realizate cu acetilena diluată cu azot, hidrogen, neon, argon, kripton sau xenon în care vitezele de polimerizare raportate la unitatea de energie absorbită au diferit foarte puțin. Astfel s-a emis ipoteza că un electron secundar formează ciorchini de molecule grupate în jurul unui ion. Neutralizarea ionului se face prin polimerizarea întregului ciorchine. O altă ipoteză este aceea a polimerizării ionice conform reacției (4.3):



Moleculele excitate pot contribui la reacția de formare a polimerului. Complexitatea acestui proces radioindus nu este pe deplin elucidată.

(d) Hidrocarburi aromatice

Printre primele hidrocarburi investigate în câmp de radiații ionizante au fost compușii aromatici. Ca și în cazul celorlalte tipuri de hidrocarburi, cele aromatice produc în urma iradierii lor compuși gazoși și compuși cu greutate moleculară mare.

Studiile de radioliză efectuate pe compuși hidrocarbonați aromatici au scos în evidență

formarea hidrogenului molecular și a acetilenei ca principali produși gazoși. Iradierea γ a benzenului și a unor derivați ai benzenului a demonstrat influența prezenței substituenților asupra randamentelor de formare a produșilor gazoși de radioliză. În tabelul (3.4) sunt date randamentele hidrogenului, al metanului și al acetilenei rezultați la expunerea câtorva compuși aromatici la radiații γ . Compararea valorilor randamentelor listate conduce la concluzia că în prezența substituenților cantitățile de hidrogen și de metan formate cresc semnificativ, iar ramificarea substituentului aduce un aport important la formarea metanului.

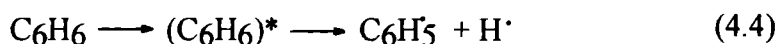
Tabelul 4.4. Randamentele principalilor produși rezultați în radioliza γ unor compuși aromatici

Compus	G(H ₂)	G(CH ₄)	G(C ₂ H ₂)
Benzen	0,036	0,0012	0,022
Toluen	0,13	0,008	0,0043
Etilbenzen	0,18	0,03	-
<i>i</i> -Propilbenzen	0,17	0,07	-
<i>t</i> -Butilbenzen	0,11	0,07	-

Apariția materialului polimeric în sistemele iradiate conținând benzen sau toluen a permis calcularea randamentelor lor de formare și anume: G(polimer) = 0,76 în benzen și G(polimer) = 1,28 în toluen. Prin distilare la presiune redusă, produsul polimeric a fost separat în trei fracțiuni:

- o fracțiune lichidă care conține produși cu 12 atomi de carbon reprezentând 18,8% din masa polimerului și cu domeniul de distilare de 60-70⁰C la o presiune de 1-2mmHg;
- o fracțiune C₁₈ cu punctul de fierbere între 70 și 85⁰C și care corespunde unei proporții de 57,6% din masa totală;
- un reziduu solid cu greutate moleculară mai mare cu punctul de topire între 46,6 și 49,4⁰C și a cărui masă este 23,6% din total.

În principal aceste fracțiuni conțin compuși policiclici în dauna compușilor ciclici cu substituenți alifatici. Dacă se iradiază polifenili, randamentele produselor polimerice sunt mai mici decât cele obținute în cazul hidrocarburilor cu un singur inel benzenic și scad cu numărul de inele din moleculă. În mecanismul de formare a fracției polimerice se admite formarea unui molecule excitate cu desprinderea unui atom de hidrogen:



Radicalii fenil formați pot reacționa în diferite moduri cu substratul benzenic aflat în stare

normală sau excitată iar rezultatul acestor reacții este diversitatea maselor moleculare obținute.

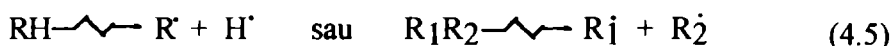
Datorită acestei radiostabilități, produsele acestor clase de hidrocarburi pot fi utilizate ca moderatori sau agenți de răcire pentru instalațiile nucleare.

MECANISME DE FORMARE A FRAȚIEI POLIMERICE

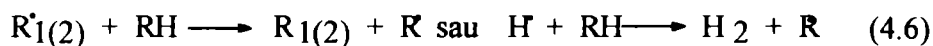
Complexitatea proceselor care au loc în timpul iradierii hidrocarburilor este consecința interacțiunii radiațiilor incidente cu materialul expus. Implicațiile energetice în stabilirea intermediarilor implicați în transformările chimice permit existența a cel puțin două mecanisme diferite de reticulare care decurg pe baza reacțiilor radicalice sau a proceselor moleculare.

(a) Procese radicalice

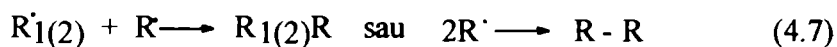
Moleculele de hidrocarburi alcătuite din atomi de carbon și hidrogen pot fi transformate în radicali fie prin ruperea unor legături C-C, fie prin ruperea unor legături C-H:



În continuare radicalii reacționează cu moleculele mediului din care au provenit creând alți radicali



Radicalii liberi se consumă nu numai în reacții cu moleculele hidrocarburi, dar ei se pot recombina aleator astfel încât se poate obține un spectru de mase mai îngust cu cât numărul de intermediari este mai mic. Pe această cale se poate reface molecula inițială atunci când probabilitatea de migrare a radicalilor este mai mică, deci la temperaturi inferioare. Cu cât masa sau volumul radicalilor este mai mare, cu atât posibilitatea lor de a se îndepărta de locul lor de origine este mai redusă, aceasta crescând cu creșterea temperaturii.



Un proces deosebit de important este reacția de disproporționare (4.8)

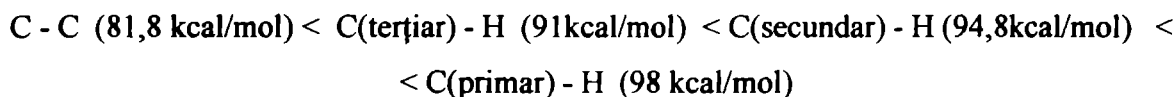


prin care apare nesaturarea. Acești compuși olefinici vor dispărea în urma unor reacții de adiție sau vor participa la procesul de propagare al polimerizării.

În domeniul dozelor debit mari există o competiție a atomilor de hidrogen și a radicalilor liberi pentru refacerea structurii moleculare. Astfel, concentrația locală mare de radicali liberi este generată de un transfer dens de energie, deci, în cazul utilizării unor doze debit mari, va fi posibilă reacția dintre radicalii liberi și atomii de hidrogen în dauna reacției moleculelor RH cu atomii de hidrogen. Procesul descris de reacția (4.6) necesită o energie de activare și deci este mai puțin probabil la temperatura camerei. În plus, reacția de disproporționare (4.8) este puțin probabilă la temperaturi scăzute. Când în sistem există radicali ramificați, atunci reacția de disproporționare este

preferată altor procese.

Abundența radicalilor într-o masă iradiată de hidrocarbură depinde de structura moleculară a substratului. Datorită diferențelor care există între energiile de legătură C-C, concentrația radicalilor va reflecta ordinea de rupere a legăturilor. În consecință, legăturile C-C vor putea fi desfăcute în următoarea succesiune:



În reacția (4.8) se formează structuri vinil și viniliden. Nesaturarea de tip *trans*-vinilen poate să apară ca rezultat al extragerii unui atom de hidrogen în poziția α a radicalului R \cdot .

Studiile efectuate pe diferite hidrocarburi saturate prin folosirea iodului sau a difenilpicril-hidrazină (DPPH) au arătat că pentru fiecare 100 eV se rup 3 sau 4 legături chimice, astfel încât pentru această cantitate de energie absorbită se formează 6 sau 8 radicali liberi ceea ce concordă cu valorile randamentelor radiochimice de consum a hidrocarburilor saturate inferioare.

(b) *Procese moleculare*

Ca urmare a faptului că mecanismele radicalice pot preciza numai căile de formare a unei părți din cantitățile de hidrogen (~40%) sau de produși cu mase moleculare mai mari decât materialul inițial (~50%), au fost necesare dovezi experimentale suplimentare care să conducă la stabilirea modurilor de generare a cantităților neexplicate radicalic. Astfel, s-au postulat trei mecanisme posibile:

(b1) **Reacții ale radicalilor fierbinți.**

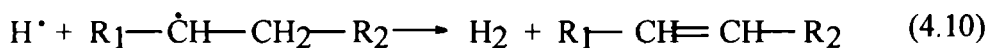
Așa cum s-a arătat în capitolul II, o mare parte din radicalii liberi au o energie cinetică suficient de mare ca efect al transmiterii unei părți din energia radiației moleculelor mediului traversat, astfel încât să permită desfășurarea unor reacții care necesită o energie mare de activare. Radicali “fierbinți” sunt capabili să depășească bariera de potențial caracteristică unui astfel de proces, chiar la temperaturi foarte scăzute. Spre exemplificare, putem menționa că în cazul unui atom de hidrogen apărut în urma ruperii unei legături C-H ca act primar (reacția 4.5), el este capabil să extragă un alt atom de hidrogen dintr-o moleculă RH la prima sa ciocnire. Mai departe, dacă doi radicali liberi R \cdot aflați în vecinătate au o energie suficient de mare ei se pot recombina imediat producând un dimer. Insumând rezultatele acestor procese, se poate scrie reacția globală,



ceea ce înseamnă o recombinație directă a doi radicali hidrocarbonați și separat, a doi atomi de

hidrogen. Baza experimentală a reacției (4.9) poate fi ineficiența captorilor de radicali de a interfera cu produsele moleculare.

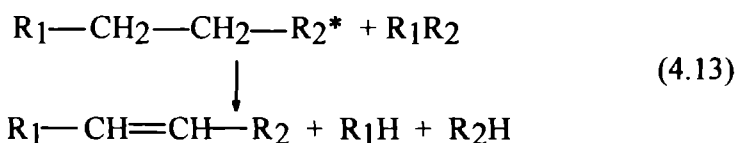
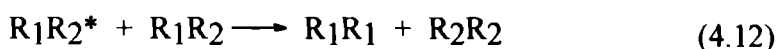
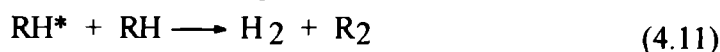
Un atom “fierbinte” de hidrogen este capabil să extragă un alt atom de hidrogen de la un radical pe care el îl ciocnește pentru a forma doi produși moleculari:



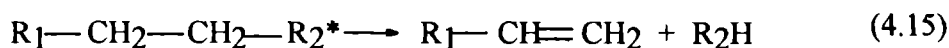
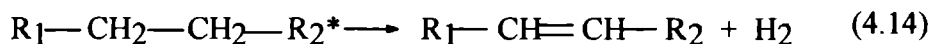
Reacția (3.6) generează tot un produs molecular. Dacă radicalul R_1 este o specie fierbinte atunci reacția poate fi inclusă și în categoria proceselor “moleculare”. Acest tip de radical poate să fie precursorul unui proces de ciclizare prin expulzarea unui atom de hidrogen, proces care a fost detectat în polietilena iradiată.

(b2) Reacții ale moleculelor excitate

În principiu, moleculele excitate pot reacționa cu moleculele mediului de reacție formând produșii finali menționați în prima parte a acestui capitol:

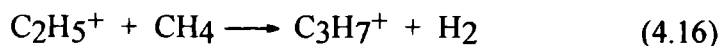


O altă cale prin care moleculele excitate produc compuși moleculari sunt următoarele reacții:



(b3) Reacții ion-moleculă

Acest tip de reacții au putut fi puse în evidență prin măsurători de spectrometrie de masă în cazul ionilor cu energie mică. Reacțiile (3.2) reprezintă exemple pentru astfel de procese care au loc pe distanțe mari și care implică transferul unei cantități mici de energie. În plus se mai poate menționa reacția care conduce la un produs cu masa moleculară mai mare decât compusul inițial (metanul):



Consecința directă a reacțiilor (4.2) și (4.16) este formarea produșilor cu greutate moleculară mai mare și a unei cantități mari de hidrogen, aspecte pe care teoria radicalică le explică ipotetic.

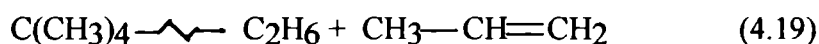
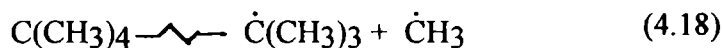
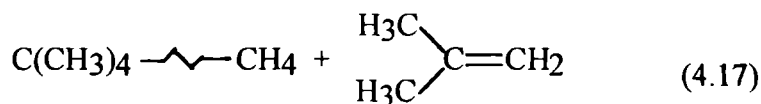
Reacțiile ion-moleculă au loc numai în fază gazoasă la presiuni foarte scăzute pentru ca parcurșurile ionilor să fie suficient de lungi spre a împiedica producerea neutralizării.

INFLUENȚA STRUCTURII HIDROCARBURII ASUPRA PROCESULUI DE MARIRE A GREUTĂȚII MOLECULARE

Comportarea diferitelor clase de hidrocarburi în câmp de radiații de mare energie este determinată de structura compusului iradiat și de prezența altor molecule cu care să interacționeze chimic sau fizic. Cei mai importanți factori care influențează ponderea proceselor în radioliza hidrocarburilor sunt: gradul de ramificare, prezența nesaturării și existența în sistem a hidrocarburilor aromatice.

(a) Influența ramificării

Deși alcanii normali sau ramificați care conțin în moleculele lor același număr de atomi de carbon formează radicali liberi, concentrația lor este mai mare în izomerul nelinear. Un caz foarte sugestiv este neopentanul care, prin radioliză în prezența iodului radioactiv, formează iodura de metil care concentrează 80% din activitatea totală. Rezultă că cea mai mare proporție de legături rupte sunt de tipul C-C cu formarea radicalilor metil. În plus, după iradiere au fost detectate cantități măsurabile de produși moleculari, metan și etan. Prin urmare reacțiile care au loc la iradierea neoprenului pot fi:

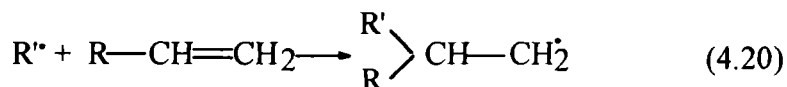


Reacțiile (3.17) - (3.19) se bazează pe date experimentale. La iradierea neopentanului au fost detectate atât izobutilena, cât și propilena. Producerea acestor compuși poate explica formarea lichidelor vâscoase ca urmare a reacțiilor de condensare în care pot participa produși nesaturați de tip viniliden.

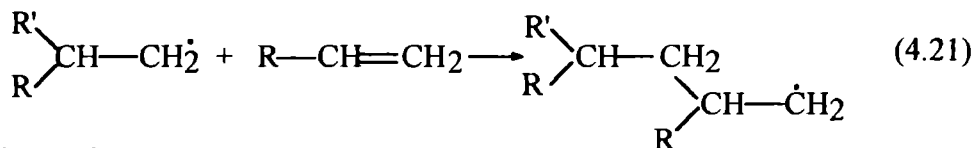
(b) Influența nesaturării

Rezultatele experimentale referitoare la radioliza hidrocarburilor nesaturate, olefinice sau acetilenice, demonstrează că existența legăturilor multiple favorizează formarea de produși cu mase moleculare mari. Disponibilitatea unei cantități suficiente pentru a asigura obținerea unei mase moleculare mari permite desfășurarea unei reacții în lanț de tip radicalic:

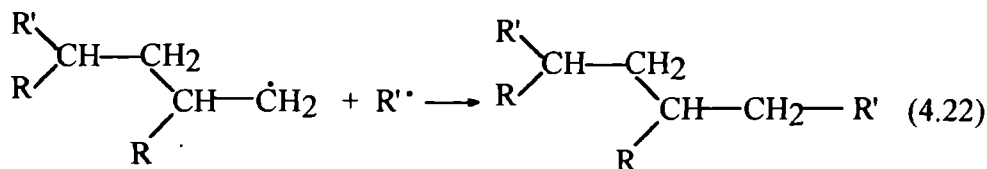
etapa de inițiere:



etapa de propagare:

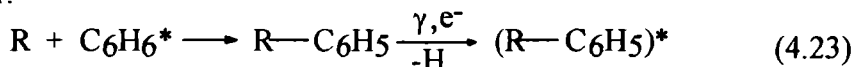


etapa de terminare:

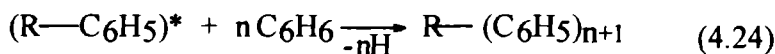


(c) Existența în sistem a hidrocarburilor aromatice

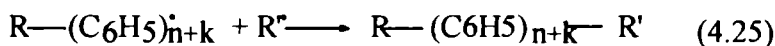
Dacă în sistemul iradiat există molecule de benzen atunci radicalii liberi vor produce un radical polimeric liber:



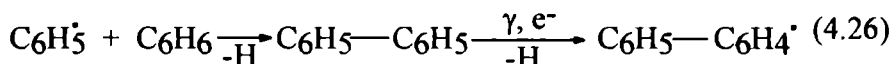
unde R. poate fi un radical fenil sau un atom de hidrogen. Ulterior acest radical se poate mări printr-o nouă reacție cu o moleculă de benzen:



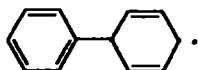
Acest proces de propagare a lanțului de polimerizare poate continua până când are loc o reacție de recombinare interradicică:



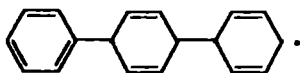
Un alt tip de mecanism care explică formarea produșilor de radioliză cu molecule mari se bazează pe reacțiile radicalilor fenil. C_6H_5 acționează ca un acceptor de molecule de benzen:



Se presupune că acest complex de adiție rezultat din reacția (3.26) ar avea formula:



Noul radical poate să reacționeze cu un atom de hidrogen spre a se stabiliza ca produs final sau poate să reacționeze cu o altă moleculă de benzen rezultând un radical superior:



Mecanismul radicalic pentru formarea produșilor de condensare în benzen se bazează pe obținerea clorurii de benziliden la iradierea unei soluții de benzen 10% în cloroform.

Capitolul V

POLIMERIZAREA RADIOINDUSA

La sfârșitul primei jumătăți a secolului trecut, mai exact în 1938, s-au realizat polimerizări ale metacrilatului de metil, stirenului și acetatului de vinil în stare lichidă prin folosirea radiațiilor γ și a neutronilor. De atunci au fost studiate numeroase procese de polimerizare în care materiile prime sunt monomeri puri sau amestecuri de monomeri.

Polimerizarea indusă de radiațiile de mare energie a monomerilor vinilici reprezintă o aplicație directă a chimiei radiațiilor în domeniul sintezei polimerilor cu mase moleculare mari. Energia necesară este furnizată de radiațiile incidente iar efectele transferului ei sunt descrise de interacțiunea radiațiilor cu mediul organic: formarea de radicali liberi și existența speciilor ionice. Mecanismele după care decurg aceste procese de polimerizare trebuie să țină cont de contribuția fiecărui tip de intermediari.

În favoarea mecanismului radicalic se pot aduce mai multe argumente care se pot regăsi și în cazurile polimerizărilor clasice.

(a) Acțiunea captorilor de radicali

Procesul de polimerizare radicalică poate fi inhibat de prezența oxigenului deoarece acesta reacționează foarte rapid cu radicalii în timp ce procesele ionice sunt puțin afectate de prezența captorilor de radicali. Modificarea perioadelor de inducție a polimerizării radioinduse în sensul măririi acestora pentru stiren, metacrilatul de metil, clorura de vinil, acetatul de vinil sau acrilonitrilul are loc atunci când materialele nu se degazează înaintea iradierii lor.

Benzochinona este un inhibitor foarte cunoscut pentru reacțiile radicalice. Studiile privind efectul prezenței sale în mediul de polimerizare a stirenului au condus la stabilirea unei relații de proporționalitate între concentrația benzochinonei și perioada de inhibiție.

(b) Copolimerizarea monomerilor

Polimerizarea a doi monomeri într-o structură unică este posibilă, iar concentrația lor în produsul final depinde de reactivitatea relativă a componentilor. În cazul iradierii unui amestec echimolecular de stiren și metacrilat de metil rezultă un copolimer care are o structură ce corespunde unei compoziții echivalente de monomeri, adică el conține 50% stiren și 50% metacrilat de metil. Dacă aceeași compoziție este polimerizată în prezența unui inițiator anionic, metacrilatul de metil polimerizează mult mai repede iar polimerul conține într-o proporție foarte mare numai acest component. În caz contrar, atunci când este folosit un inițiator cationic, polimerul conține numai stiren.

(c) *Energia de activare*

Procesele de polimerizare ale stirenului sau metacrilatului de metil la diferite temperaturi decurg cu energii de activare de 7,15 și respectiv 4,9 kcal/mol. Aceste valori concordă ca ordin de mărime cu energiile de activare ale proceselor radicalice în care etapa de inițiere este independentă de temperatură.

(d) *Cinetica de reacție*

Studiile cinetice efectuate pe majoritatea proceselor de polimerizare induse de radiațiile ionizante au condus la concluzia că viteza procesului este proporțională cu rădăcina pătrată a dozei debit. În aceste condiții creșterea lanțului polimeric nu poate fi inițiată și propagată decât de radicalii liberi.

Explicarea mecanismelor de polimerizare radioindusă trebuie să se bazeze nu numai pe contribuția radicalilor ci și pe aportul adus de intermediarii ionici. Dovezile experimentale prin care se sugerează mecanismul ionic sunt susținute de valoarea mică a energiei necesară desfășurării procesului corelată cu timpul de viață foarte scurt (aproximativ 10^{-13} s) al speciilor ionice, timp necesar recombinației lor.

(a) *Energia de polimerizare*

Contribuția reacțiilor în care sunt implicați ioni comportă o energie foarte mică pentru desfășurarea procesului de polimerizare. Astfel, pentru polimerizarea la temperaturi foarte coborâte a acrilamidei în soluții apoase sunt necesare 1,5 kcal/mol în timp ce pentru polimerizarea în stare solidă a acrilatului de bariu sunt necesare numai 0,4 kcal/mol, valoare extrem de scăzută. În aceste condiții contribuția radicalilor liberi este exclusă ceea ce conduce la concluzia că mecanismul ionic este singura explicație satisfăcătoare.

(b) *Temperaturi de lucru scăzute*

Temperatura mediului de lucru poate avea o influență decisivă asupra vitezei procesului dacă acesta necesită o energie de activare relativ mare. În cazul mecanismelor ionice reacțiile pot decurge cu viteze convenabile la temperaturi scăzute. Un exemplu este polimerizarea butadienei cu electroni accelerați. Cercetările privind acest proces într-un domeniu larg de temperatură (de la 0°C la -195°C au arătat că prin scăderea temperaturii atât viteza de polimerizare, cât și masa moleculară s-au mărit. Mai mult, analizele de spectroscopie în infraroșu efectuate pe probe procesate prin iradiere și pe probe polimerizate cu inițiatori cationici au dovedit o asemănare remarcabilă. În ambele situații cantitatea de vinil raportată la dublele legături vinilenice a fost aceeași.

(c) *Polimerizarea în stare solidă*

Acrlonitrilul se polimerizează cu randament foarte bun în stare solidă prin expunerea lui la radiații electromagnetice (γ sau X). Prezența DPPH, a benzochinonei sau a pirogalolului

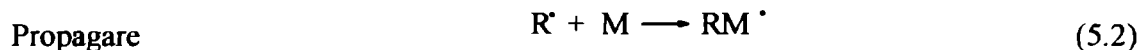
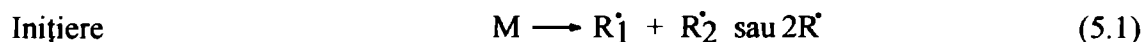
care acționează drept captori de radicali nu a influențat viteza de polimerizare. Mai mult, viteza de polimerizare sub acțiunea radiațiilor este mai mare în stare solidă decât în materialul lichid cu temperatura foarte apropiată de cea de topire.

CINETICA DE POLIMERIZARE

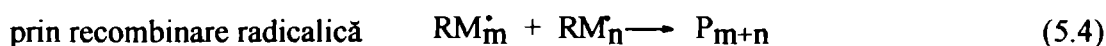
Sinteza compușilor macromoleculari are la bază un proces în lanț care se desfășoară în trei etape: inițierea, propagarea și întreruperea. Polimerizarea radioindusă are ca etapă de inițiere transferul de energie și formarea de radicali liberi. Propagarea lanțului macromolecular se realizează prin adăugarea unei molecule de monomer la o legătură dublă. În acest sens etapa de propagare are loc cu consum de monomer. Lanțul reacțiilor este întrerupt fie prin combinarea a doi radicali, fie prin transferul unui atom de hidrogen (reacție de disproporționare) de la un radical la altul cu apariția unei molecule saturate și a alteia nesaturate.

Din punct de vedere termodinamic polimerizarea este posibilă dacă diferența dintre energia liberă a stării inițiale raportată la un mol de monomer și cea a stării finale corespunzătoare unui mol de unități structurale din polimerul obținut este negativă ($\Delta G < 0$). Prin urmare, capacitatea unui monomer de a polimeriza nu depinde de mecanismul de reacție sau de calea prin care se face transformarea, ci numai de micșorarea energiei libere a sistemului.

Mecanismul radicalic de polimerizare este redat schematic de următorul grup de reacții.



Intrerupere



Pentru abordarea clasică a cineticii de polimerizare să presupunem că sistemul atinge o stare staționară adică viteza de formare a radicalilor este egală cu viteza lor de consum în decursul polimerizării. Deci:

$$R_i = R_t = k_t [RM^\cdot]^2$$
 (5.6)

De asemenea, concentrația staționară a radicalilor liberi poate fi exprimată prin expresia:

$$[RM\cdot] = \left(\frac{R_i}{k_t} \right)^{1/2} \quad (5.7)$$

Considerând că lanțurile au atins o lungime suficientă reacția în lanț se întrerupe astfel încât consumul monomerului este limitat de viteza etapei de propagare:

$$R = k_p [RM\cdot] [M] = k_p k_t^{-1/2} R_i^{1/2} [M] \quad (5.8)$$

Relația (5.8) ne arată că viteza de reacție este proporțională cu rădăcina pătrată a vitezei de inițiere.

Deoarece polimerizarea inițiată de radiațiile ionizante debutează cu formarea radicalilor atât prin scindări homolitice cât și prin ruperi heterolitice cu formarea a doi radicali,



viteza acestei reacții este dată de relația:

$$R_i = \phi_M \cdot I [M] \quad (5.10)$$

în care $\phi_M \cdot [M]$ este viteza de producere a radicalilor liberi din monomerul M fiind exprimată în moli per litru per unitate de doză, iar I este doza debit.

În cazul în care monomerul se găsește în soluție iar în etapa de inițiere radicalii provin de la ambele tipuri de molecule, atunci:

$$R_i = I(\phi_M \cdot [M] + \phi_S \cdot [S]) \quad (5.11)$$

Prin substituirea expresiei vitezei de inițiere (5.11) în relația care definește viteza de polimerizare (5.8) se obține:

$$R_i = k_p k_t^{-1/2} I^{1/2} (\phi_M [M] + \phi_S [S])^{1/2} [M] \quad (4.12a)$$

sau

$$R_p = k_p k_t^{-1/2} (I \phi_M)^{1/2} [M]^{3/2} \left(1 + \frac{\phi_S [S]}{\phi_M [M]} \right)^{1/2} \quad (4.12b)$$

Atunci când monomerul și solvenul produc radicali cu viteze egale sau comparabile, raportul ϕ_S / ϕ_M exprimă viteza relativă de producere a radicalilor. Valoarea sa se poate determina experimental dacă se cunoaște viteza de polimerizare a monomerului pur în concordanță cu expresia:

$$R = k_p k_t^{-1/2} (I \phi_M)^{1/2} [M]^{3/2} \quad (5.12c)$$

Adoptând această schemă care să descrie procesul de polimerizare se poate calcula energia de activare globală necesară. Pornindu-se de la relația (5.8) și substituind R_i cu expresia sa $k_i [M]$ se obține:

$$R = \frac{k_p \cdot k_i^{1/2}}{k_t^{1/2}} [M]^{\beta/2} = K [M]^{\beta/2} \quad (5.13)$$

Folosind expresia variației vitezei de reacție cu temperatura, relația Arrhenius,

$$k = A e^{-\frac{E}{RT}} \quad (5.14)$$

pentru fiecare proces în parte:

$$k_i = A e^{-\frac{E_i}{RT}}; k_p = A e^{-\frac{E_p}{RT}}; k_t = A e^{-\frac{E_t}{RT}} \quad (5.14a)$$

respectiv pentru etapele de inițiere, de propagare și de terminare, rezultă că expresia constantei reacției de polimerizare este:

$$K = \frac{k_p k_i^{1/2}}{k_t^{1/2}} \quad (5.15)$$

Deci,

$$A e^{-\frac{E}{RT}} = \frac{A_p \cdot A_i^{1/2}}{A_t^{1/2}} \cdot e^{-\frac{E_p}{RT} - \frac{E_i}{2RT} + \frac{E_t}{2RT}} \quad (5.16)$$

de unde rezultă:

$$E = \frac{E_i}{2} + E_p - \frac{E_t}{2} \quad (5.17)$$

Experimental valoarea energiei de activare a procesului de polimerizare se poate determina pe cale grafică dependența $\ln k$ de $1/T$ (reprezentarea Arrhenius). Pentru cei mai mulți monomeri, energia care caracterizează etapa de propagare este de aproximativ 5-8kcal/mol, în timp ce energia necesară procesului de terminare se situează în domeniul de valori de la 0 la 2-3kcal/mol.

Calculul valorii diferenței dintre energia de activare pentru etapa de propagare și semivaloarea energiei de activare pentru etapa de terminare, $E_p - \frac{E_t}{2}$, conduce la valoarea energiei globale a procesului de polimerizare radioindusă. Rezultă faptul că reacția de inițiere prezintă o energie de activare nulă. Acest lucru este explicabil deoarece energia necesară ruperii legăturilor și deci, formării radicalilor, provine de la radiațiile incidente și nu din mediul de reacție. Numai în procesele clasice, acolo unde sunt folosiți inițiatori chimici este necesară în prima etapă o energie de activare care corespunde descompunerii termice a inițiatorului.

POLIMERIZAREA IN FAZA OMOGENA

Studiul polimerizării radioinduse a monomerilor vinilici constituie baza teoretică a aplicațiilor industriale în cazul stirenului, a metacrilatului de metil, a acetatului de vinil și a altor compuși capabili să polimerizeze în medii omogene.

Polimerizarea stirenului

Polimerizarea stirenului este posibilă prin iradierea acestui compus atât cu radiații γ sau X cât și cu electroni accelerați. La temperatura camerei reacția de polimerizare decurge lent iar conversia stirenului este liniară (figura 5.1). După atingerea unui punct critic, conversia devine un proces accelerat. Perioada de depășire a stadiului critic al procesului de transformare a stirenului depinde de doza debit și de temperatură. Accelerarea procesului de polimerizare poate fi atribuită mării vitezei de inițiere, deoarece polistirenul produce radicali liberi cu viteză mai mare decât stirenul. Stirenul este mai stabil la acțiunea radiațiilor ionizante decât polistirenul deoarece dubla legătură vinilică este conjugată cu nesaturarea din nucleul benzenic; toți atomii de carbon se găsesc în același plan și, datorită delocalizării electronilor π , orice exces de energie care caracterizează o stare excitată se va distribui omogen pe întreaga moleculă. În felul acesta numai o parte mică din energie va fi disponibilă pentru ruperea unei legături.

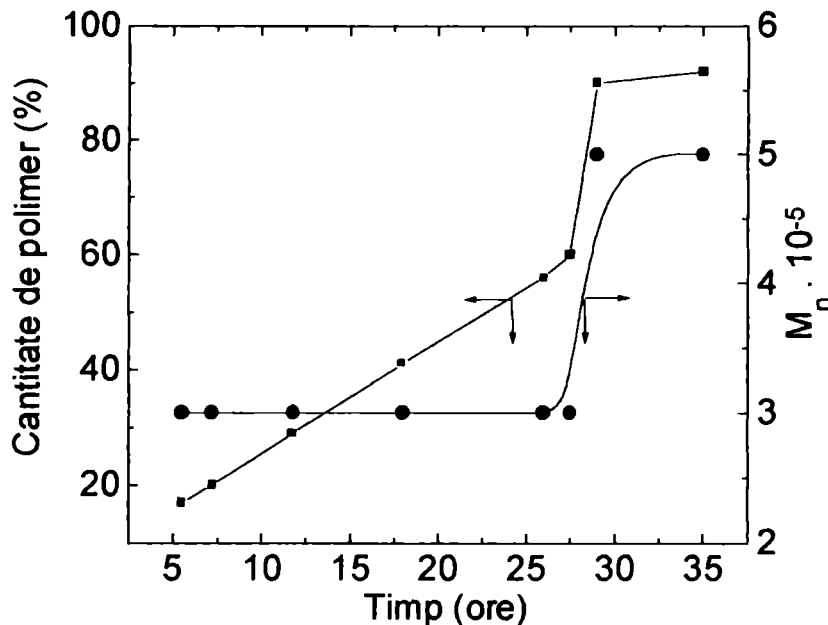


Figura 5.1. Variația conversiei și a greutății moleculare a polimerului format prin iradierea γ a stirenului la temperatura de 72°C și o doză debit de $2,3 \text{ kG/h}$.

Contribuția macromoleculelor de polistiren la viteza de polimerizare poate fi exprimată prin relația (5.18) care introduce randamentul radiochimic polimeric în viteza de inițiere a procesului:

$$R_i = (G_M \cdot [M] + G_P \cdot [P]) \cdot I \quad (5.18)$$

unde R_i este viteza de formare a radicalilor liberi, G_M și G_P sunt randamentele de formare ale radicalilor din monomer, respectiv polimer, $[M]$ și $[P]$ reprezintă concentrațiile de monomer, respectiv de polimer iar I este fluxul de iradiere. Când 50 % din stiren este consumat pentru a produce polistiren, viteza totală de inițiere este de aproximativ 1,5 ori mai mare decât viteza de inițiere determinată de monomerul pur.

Doza debit influențează atât viteza de polimerizare datorită vitezei diferite de generare a unor cantități echivalente de radicali liberi, cât și masa moleculară medie a produsului rezultat. O creștere a valorii de doză debit cu un ordin de mărime va conduce la o mărire a vitezei de polimerizare de două ori și va produce o mărire a masei moleculare a polistirenului de 1,5 ori ceea ce explică opțiunea industrială pentru doze debit suficient de mari, de ordinul a 1kGy/s.

Efectul temperaturii asupra vitezei de polimerizare exprimat prin proporționalitatea lor este rezultatul procesului de adiție al radicalilor liberi la dublele legături ale moleculelor de monomer. Studiile cinetice ale polimerizării radiochimice a stirenului realizate în domeniul de temperatură de la 15°C la 40°C au condus la o valoare a energiei de activare de 7,15 kcal/mol (30 kJ/mol). Așa cum este de așteptat greutatea moleculară medie crește cu temperatura (tabelul 5.1). Se poate observa că la temperaturi mai mari creșterea masei moleculare medii are loc pe baza unui proces de transfer de lanț de către monomer.

Tabelul 5.1. Influența temperaturii de reacție asupra vitezei de polimerizare și asupra greutății moleculare medii a polistirenului obținut prin iradiere gama.

Doza debit (Gy/h)	Temperatura (°C)	Viteza de polimerizare (mol.l ⁻¹ .s ⁻¹). 10 ⁷	Masa moleculară medie (M _n)
2465	- 18	24	19.000
1767	25	101	70.000
2279	72	584	280.000

Polimerizarea stirenului la temperaturi inferioare punctului său de topire (-35°C) decurge cu o viteză mult mai mare decât s-ar fi așteptat dacă se consideră energia de activare calculată pentru intervalul pozitiv de temperatură. Se poate presupune că în această situație o contribuție esențială o au reacțiile ionilor rezultați din traparea electronilor termalizați și inițierea unui mecanism de polimerizare anionică. Pentru determinarea vitezei de formare a radicalilor și deci, a randamentului radiochimic, se poate porni de la relația (5.8) iar prin rearanjare se obține viteza de inițiere a procesului de polimerizare:

$$R_i = \frac{k_t}{k_p^2} \cdot \frac{R^2}{[M]^2} \quad (5.19)$$

unde R_i este viteza de inițiere a polimerizării, R este viteza de formare a radicalilor, k_p și k_t sunt constantele de viteză pentru procesele de propagare, respectiv de terminare iar $[M]$ este concentrația de monomer. Raportul k_t/k_p^2 se poate calcula din determinări de greutate moleculară folosind relația (5.20):

$$\frac{1}{\bar{P}_n} = \frac{k_t}{2k_p^2} \cdot \frac{R}{[M]^2} + \frac{k_{transfer}}{k_p} \quad (5.20)$$

În cazul neglijării procesului de transfer de lanț, cel de al doilea termen din dreapta se anulează. Reprezentarea raportului $1/\bar{P}_n$ în funcție de valoarea pantei dreptei exprimată de relația (5.20) (figura 5.2) va permite calcularea randamentului radiochimic de formare a radicalilor liberi.

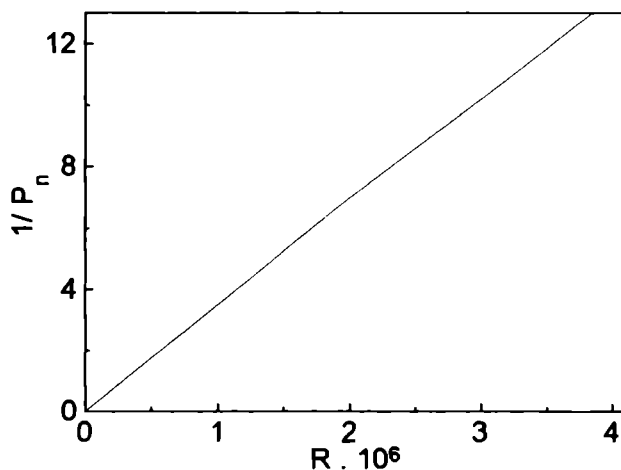


Figura 5.2. Reprezentarea valorii reciproce a gradului de polimerizare în funcție de viteza de inițiere radiochimică a polimerizării stirenului

Randamentul radiochimic de formare a radicalilor liberi se calculează după relațiile (5.21) și (5.22):

$$G_R^{stiren} = \frac{\phi_{stiren} \cdot [M] \cdot N_A \cdot 100}{1000 \cdot e_{stiren} \cdot \rho_{stiren}} \quad (5.21)$$

$$\phi_{stiren} \cdot [M] = \frac{R_i}{I} \quad (5.22)$$

unde R_i se calculează folosind formula (5.8) și se exprimă în $\text{mol.l}^{-1} \cdot \text{s}^{-1} \cdot 10^7$, ϕ_{stiren} este randamentul de formare a radicalilor liberi și se exprimă în $\text{mol.l}^{-1} \cdot \text{Gy}^{-1}$, I se exprimă în Gy/sec , e_{stiren} cantitatea de energie absorbită de compus pentru fiecare Gy ($e_{stiren} = 5,68 \cdot 10^{13} \text{ eV per gram}$) iar ρ_{stiren} reprezintă densitatea inițială a stirenului.

Polimerizarea metacrilatului de metil

Polimerizarea metacrilatului de metil decurge ca și în cazul stirenului, prin inițiere radicalică. O caracteristică importantă a acestui proces este efectul formării gelului care induce în sistem un comportament autocatalitic. În primul stadiu al polimerizării procesul progresează lent cu o viteză constantă dar, la un anumit grad de conversie, viteza crește brusc iar reacția are o evoluție explozivă. Aproape simultan, greutatea moleculară a polimerului crește iar căldura degajată în proces nu mai poate fi preluată în exteriorul zonei de reacție, ceea ce conduce la o supraîncălzire a amestecului de reacție. Același fenomen a fost semnalat și în cazul polimerizării acetatului de vinil sau a cloroprenului. De altfel, stirenul nu se comportă în mod similar chiar în situația unui grad ridicat de conversie.

Temperatura de procesare joacă un rol foarte important atât asupra vitezei de polimerizare, cât, mai ales, asupra masei moleculare medii a produsului obținut prin iradierea monomerului metilmetacrilat. În tabelul 5.2 sunt prezentate caracteristicile procesului de polimerizare a MMA care are loc la diferite doze debit sau la diferite temperaturi.

Tabelul 5.2. Influența parametrilor de iradiere asupra procesului de polimerizare a MMA

Doza debit (Gy/h)	Temperatura (°C)	Viteza de polimerizare (mol.l ⁻¹ .s ⁻¹).10 ⁶	Masa medie numerică
2322	-18	72,5	70.000
	25	211	162.000
	70	499	260.000
28	30	44,5	340.000
	50	64	510.000
	70	104	670.000

În tabelul 5.2 se exprimă foarte clar efectul pe care doza debit o are asupra masei moleculare a polimetilmetacrilatului obținut pe cale radiochimică. O doză debit foarte mică determină o viteză mică de polimerizare. În schimb, greutatea moleculară are o creștere spectaculoasă pentru aceeași temperatură de reacție. O concentrație locală mică de radicali favorizează formarea unui produs final cu masă moleculară foarte mare, conducând la o stabilitate mai mare a polimerului astfel fabricat. În procesul de polimerizare a metacrilatului de metil asemănarea sa structurală cu stirenul ar conduce la similitudini cu polimerizarea stirenului deoarece legătura dublă din MMA nu este conjugată cu restul moleculei. Astfel, polimerizarea nu va conduce la o reducere a stabilizării prin

rezonanță a speciilor primare excitate. Analiza valorilor pentru randamentele radiochimice de formare a radicalilor, G_R , pentru metacrilatul de metil și acetatul de vinil sugerează că legătura dublă nu este protejată, ceea ce demonstrează o susceptibilitate mărită la rupere. Polimerizarea MMA este inițiată de radicalii liberi formați în timpul radiolizei:

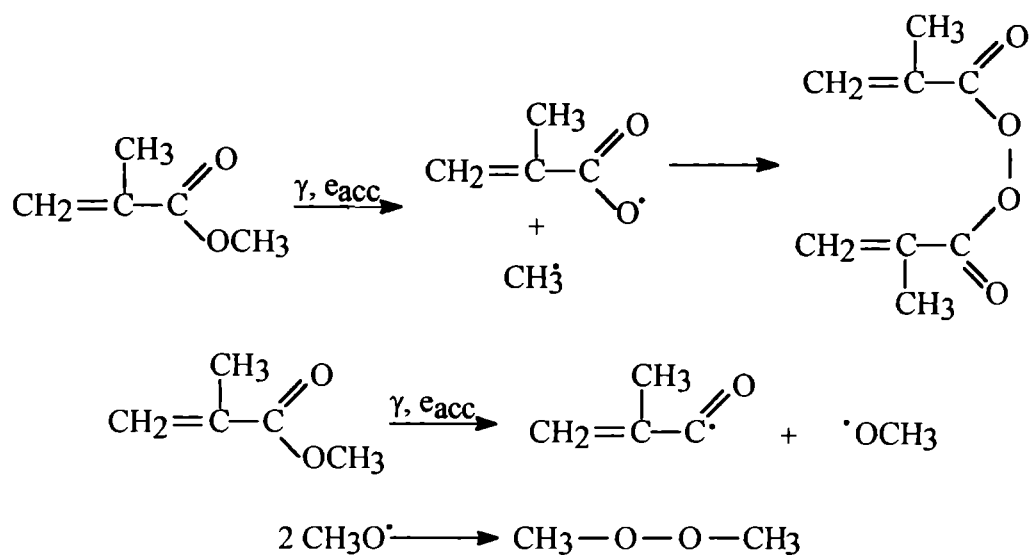


Figura 5.3. Mecanisme de inițiere a radiopolimerizării MMA

Efectul dozei debit asupra conversiei metacrilatului de metil este asemănătoare cu efectul semnalat în cazul polimerizării stirenului. Viteza de reacție este proporțională cu rădăcina pătrată a valorii de doză debit chiar dacă există mici abateri la valori mai mari de doză debit.

Studiile influenței temperaturii asupra desfășurării procesului de polimerizare a metacrilatului de metil au stabilit că energia de activare necesară are valoarea de 4,9 kcal/mol (20,5 kJ/mol) în concordanță foarte bună cu fotopolimerizarea acestui monomer. Reprezentarea Arrhenius pentru transformarea radiochimică a MMA în PMMA este prezentată în figura 5.4. Se poate observa că acest proces are loc într-un interval larg de temperatură, de la -18°C la 70°C .

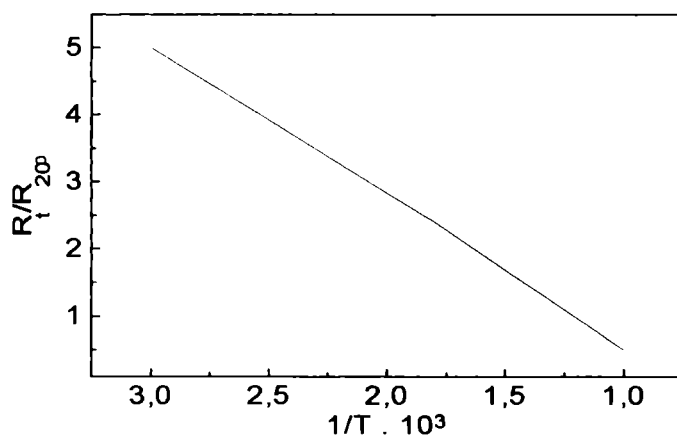


Figura 5.4. Reprezentarea Arrhenius pentru polimerizarea metacrilatului de metil.

Reacțiile care determină întreruperea formării lanțului macromolecular sunt recombinarea radicalică și disproporționarea. În acest fel relația care descrie variația gradului de polimerizare cu concentrația monomerului (5.20) devine:

$$\frac{1}{\bar{P}} = \frac{2k_{td} + k_{tc}}{2k_p^2} \cdot \frac{R}{[M]^2} \quad (5.23)$$

unde k_{td} și k_{tc} sunt constantele de viteză pentru procesele de disproporționare, respectiv combinare radicalică, iar constanta $K = (2k_{td} + k_{tc})/2k_p^2$ se poate afla din reprezentarea grafică a lui $1/\bar{P}_n$ în funcție de viteza procesului de polimerizare analog situației analizate la stiren. Deci, viteza de inițiere a polimerizării MMA va fi:

$$R_i = \frac{k_{td} + k_{tc}}{k_p^2} \cdot \frac{R^2}{[M]^2} \quad (5.24)$$

În felul acesta s-a putut calcula randamentul radiochimic de formare a radicalilor în radioliza metacrilatului de metil folosindu-se relația (5.21) cu o valoare identică pentru energia transferată unității de masă ($e_{MMA} = 5,68 \cdot 10^{13}$ eV per gram). Deci,

$$G_R = 11,5 \text{ radicali pentru } 100 \text{ eV absorbiți}$$

În urma polimerizării MMA prin iradiere cu electroni accelerați folosindu-se pulsuri intense s-a constatat continuarea procesului după întreruperea iradierii. Acest post-efect a fost atribuit timpului lung de viață caracteristic intermediarilor radicalici formați, reacția decurgând cel puțin încă patru-cinci zile, chiar la întuneric.

Alte procese de radiopolimerizare

Acetatul de vinil

Polimerizarea acestui monomer a relevat o dependență de ordinul II între viteza de conversie și timpul de iradiere. Puritatea compusului inițial face ca procesul să prezinte o perioadă de inducție, după care procesul are loc accelerat. Randamentele de transformare a acetatului de vinil în produs polimeric sunt influențate de prezența impurităților, astfel încât susceptibilitatea acestora la acțiunea radiațiilor ionizante și afinitatea lor pentru electroni vor determina valori diferite de conversie. Energia de activare calculată în cazul polimerizării acetatului de vinil este de 5,7 kcal/mol (23,88 kJ/mol).

Influența temperaturii de lucru asupra vitezei de radiopolimerizare a acetatului de vinil este redată în tabelul 5.3. Prin formarea progresivă a gelului mobilitatea radicalilor se micșorează astfel încât crește gradul de conversie. Pe de altă parte, acumularea locală de radicali va conduce la reacții întâmplătoare ale radicalilor ceea ce favorizează apariția catenelor ramificate, fapt dovedit experimental.

Tabelul 5.3. Influența temperaturii de reacție asupra vitezei de polimerizare și asupra greutateii moleculare medii a polivinil acetatului și a alcoolului polivinilic obținute prin iradiere gama. Doza debit 28,8 Gy/h

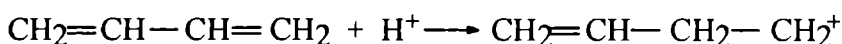
Temperatura (°C)	Viteza de polimerizare (mol.l ⁻¹ .s ⁻¹).10 ⁶	Grad de polimerizare	
		Polivinilacetat	Polivinilalcool
30	188	13.000	5.200
50	320	9.100	4.600
70	536	4.400	2.500

Calcululele cinetice efectuate pentru evaluarea gradului de polimerizare au permis stabilirea randamentului radiochimic de formare a radicalilor la valoarea

$$G_R(\text{acetat de vinil}) = 12 \text{ radicali pentru } 100 \text{ eV de energie absorbită.}$$

Butadiena

Polimerizarea butadienei în stare lichidă și inițiată de radiații gama are o viteză de conversie a monomerului de $10^{-8} \text{ mol.l}^{-1}.\text{s}^{-1}$ la o doză debit de 0,83 Gy/h și la temperatura de 15°C. Dar acest proces poate fi realizat într-un interval larg de temperaturi, de la 0 la -195°C. Cu cât temperatura este mai scăzută, cu atât vitezele procesului și greutateile moleculare medii ale produsului sunt mai mari. Din determinările structurale efectuate prin spectroscopie în infraroșu s-a constatat că raporturile dintre cantitățile de grupe *cis*-1,4, *trans*-1,4 și duble legături 1,2 sunt aceleași ca în cazul polimerizării inițiate cationic. Structura polimerului nu diferă semnificativ dacă procesul are loc în intervalul de temperatură de la 0 la -195°C. Aceste aspecte sugerează existența unui mecanism cationic:



O aplicație a procedului de polimerizare radioindusă este obținerea polimerilor stereospecifici prin iradierea butadienei sau a unor derivați ai săi, dimetibutadiena sau diclorbutadiena în prezența ureei sau a tioureei. Procesele sunt complete pentru doze cuprinse între 100 și 500 kGy.

Izoprenul

Izoprenul se polimerizează prin iradiere γ la temperaturi moderate și la diferite doze debit. În tabelul 5.4 sunt prezentate valorile vitezelor de polimerizare la diferite doze debit. Se poate remarca faptul că nu există o proporționalitate între valorile dozelor debit și efectele lor asupra vitezelor de

polimerizare.

Tabelul 5.4. Valorile vitezelor de polimerizare ale izoprenului la diferite doze debit

Doza debit (Gy/h)	Viteza de polimerizare ($\text{mol.l}^{-1}.\text{s}^{-1}$). 10^8
198	9
612	21
3950	52

O creștere a dozei de aproximativ șase ori mărește viteza de polimerizare de numai 2,5 ori. Aceasta înseamnă că simultan cu procesul de polimerizare, reprezentat de reacția de propagare, are loc și un proces de degradare a macromoleculelor nou formate în sensul scăderii masei moleculare medii datorită scindării legăturilor mai slabe.

Experimentele realizate la temperatura de -40°C cu o doză debit γ de 1,26 MGy/h au condus la o viteză de conversie a izoprenului de $290.10^{-8} \text{ mol.l}^{-1}.\text{s}^{-1}$, ceea ce sugerează o valoare negativă a energiei de activare.

RADIOPROCESAREA MONOMERILOR IN SISTEME DISPERSE

Radiopolimerizarea monomerilor vinilici în prezența unei alte substanțe, fie ea un al doilea monomer sau un solvent impune studierea ambelor tipuri de molecule în câmp de radiații și interacțiunea dintre intermediarii proveniți din cei doi componenți ai sistemului. Un rol foarte important îl au vitezele de formare a radicalilor exprimate prin randamentele radiochimice și viteza de consum a intermediarilor, ceea ce implică un studiu cinetic și determinarea randamentului de producere a polimerului.

Din punct de vedere teoretic cazul cel mai simplu de polimerizare în soluție sub acțiunea radiațiilor ionizante este un sistem în care solventul nu participă la proces, el având numai rol de diluant. Dacă mediul de polimerizare nu este inert atunci el va contribui la procesul global al polimerizării cu o cantitate de radicali proporțională cu radiostabilitatea lui.

Viteza de polimerizare care poate fi exprimată prin viteza de consum a monomerului în care se include un termen reprezentând contribuția solventului în mecanismul de reacție:

$$R = \frac{k_p}{k_t^{1/2}} (I\phi_M)^{1/2} [M]^{3/2} \left(1 + \frac{\phi_S [S]}{\phi_M [M]} \right)^{1/2} \quad (6.1)$$

În relația (6.1) factorul

$$K = \frac{k_p}{k_t^{1/2}} (I\phi_M)^{1/2} \quad (6.2)$$

este o constantă caracteristică monomerului care se polimerizează și care se regăsește în expresia vitezei de polimerizare într-un mediu fără solvent, R_0 :

$$R_0 = k_p k_t^{-1/2} (I\phi_M)^{1/2} [M_0]^{3/2} \quad (6.3)$$

Viteza relativă de polimerizare în soluție, R/R_0 , este independentă de constanta K , deci de natura monomerului. În cazul în care concentrațiile se exprimă în fracții molare de monomer și dacă se consideră volumele molare al monomerului și al solventului, v_m și respectiv v_s , atunci viteza relativă a procesului de polimerizare este descrisă de relația (6.4):

$$\frac{R}{R_0} = \left(\frac{1}{m + (1-m) \frac{v_S}{v_M}} \right)^{3/2} \left(1 + \frac{\phi_S}{\phi_M} \cdot \frac{1-m}{m} \right)^{1/2} m^{3/2} \quad (6.4)$$

Primul termen din dreapta egalității (6.4) este în cele mai multe situații aproape de unitate și își schimbă foarte puțin valoarea prin schimbarea concentrației de monomer.

În relația (6.1) apare o a doua constantă, raportul constantelor de viteză ϕ_M și ϕ_S exprimate în unități de doză: $\phi_{rel} = \phi_S/\phi_M$ care reprezintă contribuția solventului în raport cu monomerul la procesul de formare a copolimerului. În figura 6.1 sunt redată curbele teoretice de variație a vitezei relative de polimerizare în funcție de fracția molară a monomerului.

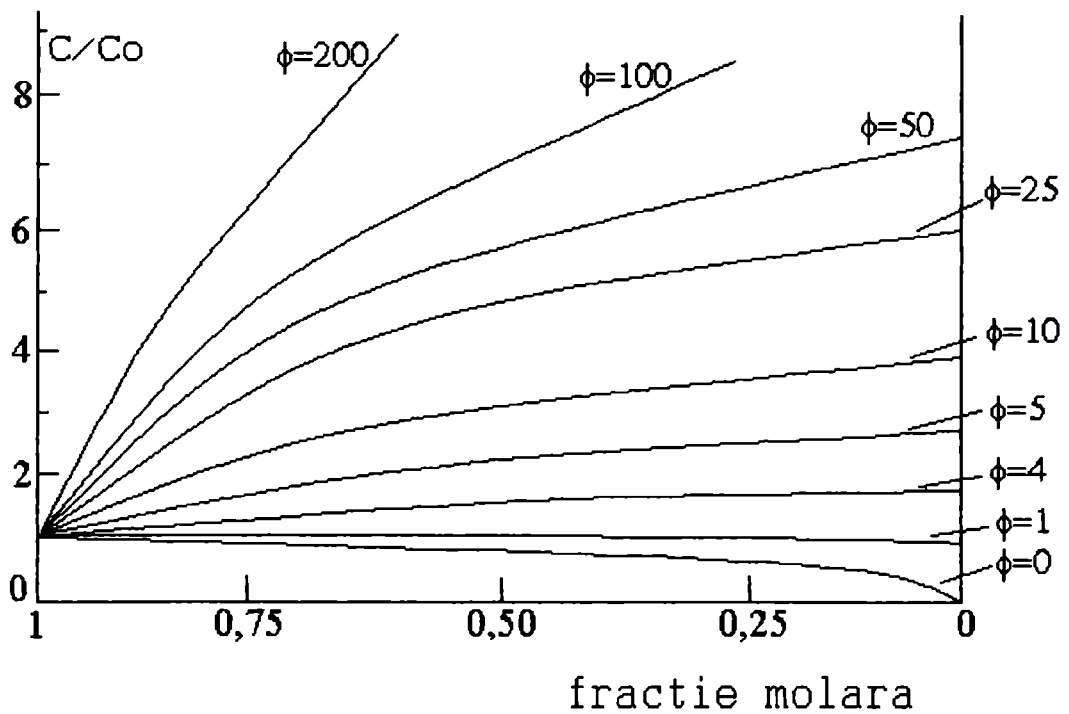


Figura 6.1. Dependențele teoretice ale vitezelor de polimerizare (C/C_0) de fracția molară a monomerului (m).

Așa cum se poate observa din figura (6.1) pentru o valoare a lui $\phi_{rel} > 6$, viteza de polimerizare în soluție este mai mare decât viteza aceluiași proces în solid; dacă $\phi_{rel} < 3$, viteza de polimerizare scade cu gradul de diluție.

Greutatea moleculară a unui polimer obținut prin radioprosesare poate fi determinată experimental sau se poate calcula cu relația (6.5):

$$\bar{P} = \frac{k_p}{k_t^{1/2}} (\phi_M \cdot I)^{-1/2} [M]^{1/2} \left(1 + \phi_{rel} \frac{[S]}{[M]} \right)^{-1/2} \quad (6.5)$$

Această relație este valabilă dacă se neglijează reacțiile de transfer în care sunt implicate moleculele de monomer și cele ale solventului. În caz general, relația are forma:

$$\frac{1}{\bar{P}} = \frac{k_t^{1/2}}{k_p} (\phi_M \cdot I)^{1/2} [M]^{-1/2} \left(1 + \phi_{rel} \frac{[S]}{[M]} \right)^{1/2} + \frac{k_{trm}}{k_p} + \frac{k_{trs}}{k_p} \quad (6.6)$$

În cele mai multe studii procesul polimerizării este caracterizat prin conversia procentuală, C , în locul vitezei de reacție și se exprimă în $\text{moli} \cdot \text{l}^{-1} \cdot \text{s}^{-1}$:

$$C = \frac{\Delta M}{M} 100 = K[M]^{1/2} \left(1 + \phi_{rel} \frac{[S]}{[M]} \right)^{1/2} \Delta t \quad (6.7)$$

Dacă concentrațiile se exprimă în fracții molare, atunci relația (6.7) devine:

$$C = K' m^{1/2} \left[1 + \phi_{rel} \frac{(1-m)}{m} \right]^{1/2} \Delta t \quad (6.8)$$

Constanta K' poate fi eliminată prin utilizarea conversiei relative soluție/solid:

$$\frac{C}{C_0} = \left[\frac{1}{m + (1-m) \frac{v_S}{v_M}} \right]^{1/2} \left[1 + \phi_{rel} \frac{1-m}{m} \right]^{1/2} m^{1/2} \quad (6.9)$$

Conversia monomerului în polimer poate fi interpretată în funcție de parametrul ϕ_{rel} . Valoarea sa unitate delimitează două domenii pentru valorile de conversie: valorile supraunitare vor conduce la conversii mai avansate în soluție decât în faza solidă, pe când valorile subunitare vor descrie conversii ale căror valori scad cu diluția. Efectul de diluție se poate interpreta prin aplicarea relației care definește viteza de inițiere a polimerizării:

$$R_i = (\phi_M[M] + \phi_S[S]) \cdot I \quad (6.10)$$

semnificația termenilor fiind prezentată în capitolul IV, pagina 49. Din punct de vedere teoretic, în cazul aplicării acestei ipoteze la explicarea efectului diluției, dependența vitezei de inițiere de compoziția sistemului monomer/solvent expus radiațiilor trebuie să fie liniară (figura 6.2). Curba 1 corespunde dependenței de ordinul I a vitezei de inițiere de compoziție. Curbele 2 și 3 se obțin în situațiile în care au loc procese de transfer de lanț: curba 2 reprezintă un proces de sensibilizare pe când curba 3 descrie un proces de dezactivare.

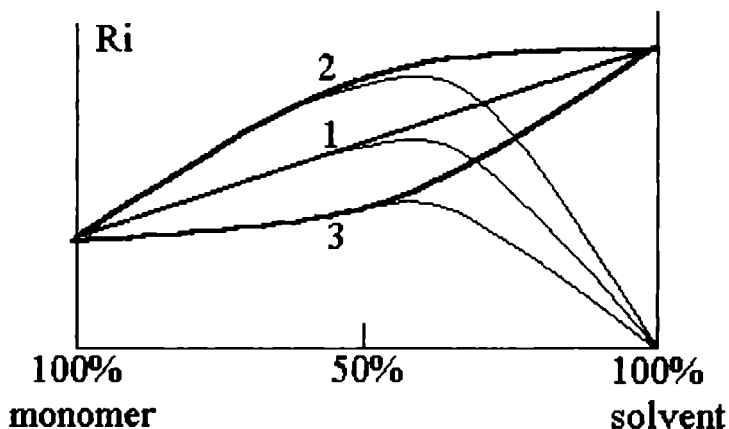


Figura 6.2. Dependenta teoretică a vitezei de inițiere a radiopolimerizării de compoziție.

Efectele diferiților solvenți asupra polimerizării stirenului sunt redată în figura 5.3, unde comportarea liniară a sistemelor este limitată de concentrația de 20 % a stirenului. Pentru evaluarea gradului de conversie în domeniul de concentrație a stirenului de la 100 % la 20 % exprimată în moli se poate aplica cu succes relația (5.9) deoarece gradul de diluție permite neglijarea reacțiilor de transfer care ar modifica distribuția energetică în soluția expusă iradierii. Deci, se poate admite o “concentrație critică” a stirenului de 20 moli % sub care începe să se manifeste interacțiunea dintre moleculele solventului care devin majoritare și moleculele de stiren. În urma ciocnirilor dintre cele două tipuri de molecule vor rezulta cantități din ce în ce mai mari de radicali din solvent dacă diluția este mai avansată.

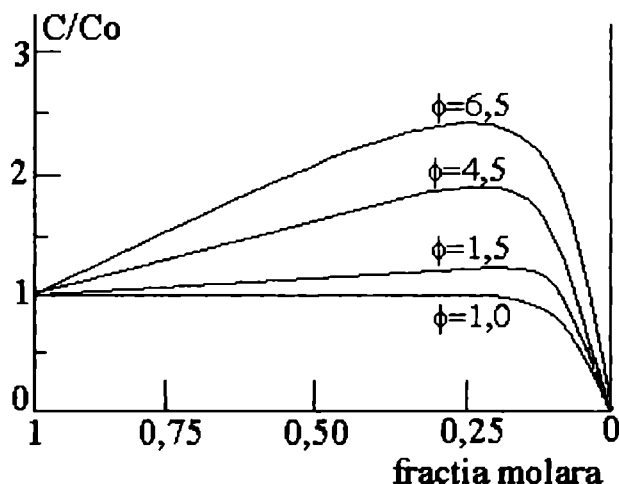


Figura 6.3. Vitezele relative de conversie ale stirenului dizolvat în benzen (1), xilen (2) și etilbenzen (3)

Doza debit influențează procesul de polimerizare în soluție datorită vitezelor diferite de transfer energetic. În figura 6.4 sunt prezentate rezultatele experimentelor de polimerizare a stirenului în soluții de toluen la diferite doze debit.

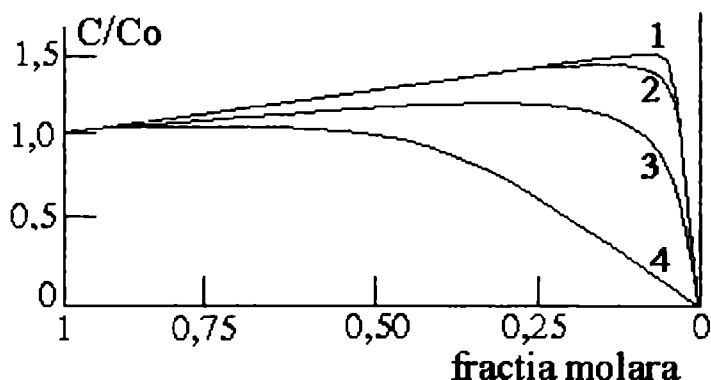


Figura 6.4. Vitezele relative de conversie ale stirenului în soluții de toluen la diferite doze debit. (1) 0,47 Gy/h; (2) 0,83 Gy/h; (3) 30,6 Gy/h; (4) 207,4 Gy/h.

Se poate remarca scăderea semnificativă a “concentrației critice” cu mărirea dozei debit. Deși prin proporționalitatea dintre concentrația radicalilor la doze debit superioare și probabilitatea mai mare de ciocnire a lor cu moleculele solventului ar trebui să scadă “concentrația critică”, experimental s-a obținut un efect contrar care nu a fost încă explicat.

Valorile randamentelor de formare a radicalilor din solvenți se pot calcula din relația (6.11), o formă derivată a expresiei (5.21)

$$G_R^S = G_R^M \cdot \phi_{rel} \cdot \frac{[S]}{[M]} \cdot \frac{\rho_M}{\rho_S} \cdot \frac{e_M}{e_S} \quad (6.11)$$

unde semnificațiile mărimilor sunt menționate în capitolul V, pagina 60. De altfel, fiecare solvent prezintă o valoare proprie a randamentului de formare a radicalilor influențând vitezele de obținere a polimerilor în timpul radiolizei. În tabelul 6.1 sunt prezentate câteva valori caracteristice celor mai utilizați solvenți în obținerea polistirenului pe cale radiochimică

Tableul 6.1. Vitezele relative de producere a radicalilor liberi și randamentele de formare a radicalilor în câțiva solvenți aromatici

Solvent	ϕ_{rel}	G_R
Stiren	-	0,69
Benzen	0,95	0,74
	1,0	0,78
	3,1	2,30
Toluen	1,45	1,10
	1,55	1,20
m-Xilen	4,5	2,80
Etilbenzen	6,5	4,00

Pentru a sublinia aportul solventului în procesul de polimerizare cu radiații de mare energie în tabelul 6.2 se prezintă randamentele radiochimice ale unor solvenți halogenați folosiți în producerea polistirenului prin iradiere cu radiații ionizante.

Un exemplu care ilustrează independența vitezei relative de polimerizare de gradul de diluție al mediului de reacție este procesul de formare a polimetilmetacrilatului inițiat de radiații gama. În figura 6.5 este prezentată comportarea soluțiilor de metilmetacrilat în acetat de etil la un raport unitar al vitezei relative de producere a radicalilor în monomer și în solvent ($\phi_{rel} = 1$). Proporționalitatea dintre viteza relativă de polimerizare și fracția molară a monomerului se explică

prin efectul de diluție pe care îl produce acetatul de etil. Nu este exclusă intervenția solventului în procesul de polimerizare sub forma unei acțiuni catalitice.

Tabelul 6.2. Vitezele relative de producere a radicalilor liberi și randamentele de formare a radicalilor în câțiva solvenți halogenați

Solvent	ϕ_{rel}	G_R
Clorura de etil	6	6,7
Clorura de butil	5,5	3,5
Clorura de ciclohexil	22	13,0
Clorbenzen	11	8,0
<i>o</i> -Diclorbenzen	44	22,3
Bromură de etil	20	11,8
	7	4,1

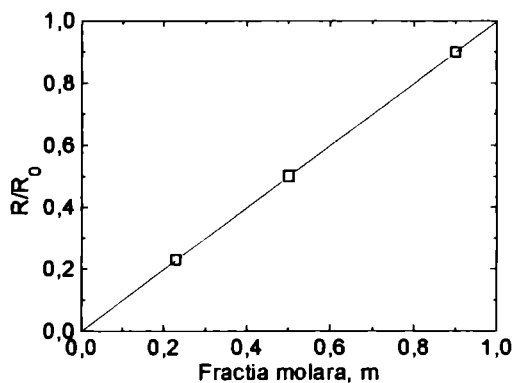


Figura 6.5. Vitezele relative de polimerizare ale MMA în soluții de acetat de etil în funcție de fracția molară a monomerului.

Radiopolimerizarea unor soluții care conțin două tipuri de monomeri constituie un proces mult mai complex datorită formării simultane a radicalilor liberi din ambele componente ale sistemului. În această situație formarea radicalilor liberi nu se poate exprima simplist numai printr-o sumă de randamente radiochimice individuale, ci și printr-un termen care să ilustreze concentrația relativă a monomerilor ca o măsură a gradului de transfer energetic efectuat prin ciocniri moleculare între diferitele entități existente în sistem.

Schema procesului de transfer energetic considerat ca proces principal al formării radicalilor la care participă moleculele excitate A^* și B^* , intermediarii majoritari ai radiolizei este prezentată în figura 6.6. În această schemă sunt luate în considerație toate căile prin care se formează radicalii liberi ca intermediari în procesul de polimerizare, precum și modalitățile de consum prin care

aceștia interacționează sau prin care vitezele proceselor intermediare influențează concentrații momentane ale radicalilor liberi.

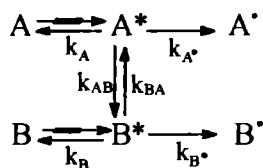
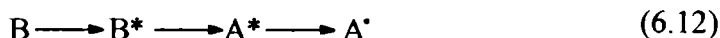


Figura 6.6. Schema proceselor cinetice de transfer.

În acest proces putem considera că monomerul A este mai stabil la acțiunea radiațiilor decât compusul B. Această ipoteză se traduce prin relația: $k_A / (k_A + k_{A^*}) < k_B / (k_B + k_{B^*})$. În schema de reacție (figura 6.5) procesul de dezactivare este:



în timp ce reacția (5.13) este un proces de sensibilizare:



Folosirea procedurii stării staționare intermediarilor A^* și B^* este redată de relațiile:

$$KI[A] + k_{BA}[B^*][A] = k_A[A^*] + k_{A^*}[A^*] + k_{AB}[A^*][B] \quad (6.14)$$

și

$$KI[B] + k_{AB}[A^*][B] = k_B[B^*] + k_{B^*}[B^*] + k_{BA}[B^*][A] \quad (6.15)$$

unde K este o constantă care depinde numai de unitățile în care este exprimată doza debit I.

Dacă se consideră că etapa de transfer energetic este cea mai rapidă din ansamblul proceselor implicate în radiopolimerizare, atunci:

$$k_{BA}[B^*][A] = k_{AB}[A^*][B] \quad (6.16)$$

În aceste condiții, prin însumarea relațiilor (5.14) și (5.15) se obține:

$$KI([A] + [B]) = (k_A + k_{A^*})[A^*] + (k_B + k_{B^*})[B^*] \quad (5.17)$$

Din relațiile (5.16) și (5.17) se obțin:

$$[A^*] = \frac{KI([A] + [B])k_{BA}[A]}{(k_A + k_{A^*})k_{BA}[A] + (k_B + k_{B^*})k_{AB}[B]} \quad (5.18)$$

$$[B^*] = \frac{KI([A] + [B])k_{AB}[B]}{(k_A + k_{A^*})k_{BA}[A] + (k_B + k_{B^*})k_{AB}[B]} \quad (5.19)$$

Viteza de producere a radicalilor pentru compusul A este:

$$R_A = k_{A^*}[A^*] = \frac{KI([A] + [B])k_A k_{BA}[A]}{(k_A + k_{A^*})k_{BA}[A] + (k_B + k_{B^*})k_{AB}[B]} \quad (5.20)$$

care se mai poate scrie sub forma:

$$R_A = \frac{KI([A]+[B])k_A/(k_A+k_{A'})}{1+\{(k_B+k_{B'})k_{AB}[B]/(k_A+k_{A'})k_{BA}[A]\}} \quad (5.21)$$

Raportul $k_A/(k_A+k_{A'})$ reprezintă probabilitatea de formare a radicalilor liberi A' din starea excitată A* în timpul radiolizei numai din compusul A (compusul în stare pură). Acest raport este echivalent cu constanta de viteză ϕ_A pentru producere a radicalilor liberi din A. Raporturile $k_{AB}/(k_A+k_{A'})$ și $k_{BA}/(k_B+k_{B'})$ semnifică probabilitățile de transfer ale stării excitate de la A* la B și respectiv de la B* la A. Dacă aceste probabilități le notăm cu P, atunci,

$$R_{[A\cdot]} = \frac{KI([A]+[B])\phi_A}{1+\{P_{AB}[B]/P_{BA}[A]\}} \quad (6.22)$$

În mod analog se poate obține viteza de formare a radicalilor liberi din compusul B:

$$R_{[B\cdot]} = \frac{KI([A]+[B])\phi_B}{1+\{P_{BA}[A]/P_{AB}[B]\}} \quad (6.23)$$

Viteza totală de producere a radicalilor liberi va fi suma celor două expresii, (6.22) și (6.23):

$$R_{[R\cdot]} = KI([A]+[B]) \left[\frac{\phi_A}{1+\{P_{AB}[B]/P_{BA}[A]\}} + \frac{\phi_B}{1+\{P_{BA}[A]/P_{AB}[B]\}} \right] \quad (6.24)$$

Dacă raportul P_{AB}/P_{BA} este unitar, atunci relația (6.24) se reduce la forma:

$$R_{[R\cdot]} = KI(\phi_A[A] + \phi_B[B]) \quad (6.25)$$

relație care se aplică sistemelor în care reacțiile de transfer se neglijează.

Relația (6.24) se poate transforma în forma:

$$R_{[R\cdot]} = \phi_A I([A]+[B]) \frac{1+\phi_{rel}P_{rel}[B]/[A]}{1+P_{rel}[B]/[A]} \quad (6.26)$$

Dacă relația (6.26) se particularizează pentru sistemele monomer/solvent atunci ea devine:

$$R = \frac{k_p}{k_t^{1/2}} (\phi_M I)^{1/2} [M]^{3/2} \left(1 + \frac{[S]}{[M]} \right)^{1/2} \left(\frac{1+\phi_{rel}P_{rel}[S]/[M]}{1+P_{rel}[S]/[M]} \right)^{1/2} \quad (6.27)$$

Dacă se exprimă raportul vitezelor de polimerizare în soluție, R și în monomerul pur, R_0 , se obține:

$$\frac{R}{R_0} = \left[\frac{1}{m + (1-m) \frac{v_S}{v_M}} \right]^{3/2} \left[\frac{1+\phi_{rel}P_{rel}(1-m)/m}{1+P_{rel}(1-m)/m} \right]^{1/2} m \quad (6.28)$$

Pentru a demonstra implicarea procesului de transfer în mecanismul polimerizării sub acțiunea radiațiilor ionizante se va analiza exemplul polimerizării stirenului în soluții de cloroform. În figura (6.7) sunt prezentate variația vitezelor relative ale polimerizării stirenului în soluție de cloroform cu fracția molară a monomerului. Dacă se aleg valorile $\phi_{rel}=17$ și $P_{rel}=10$, atunci se

obține o concordanță foarte bună între datele experimentale și evaluarea teoretică conform relației (6.28). Efectul dezactivator al solventului poate fi sesizat din figura (6.7) în care creșterea fracției molare a solventului în detrimentul monomerului conduce la o scădere accentuată a randamentului de formare a radicalilor, G_R .

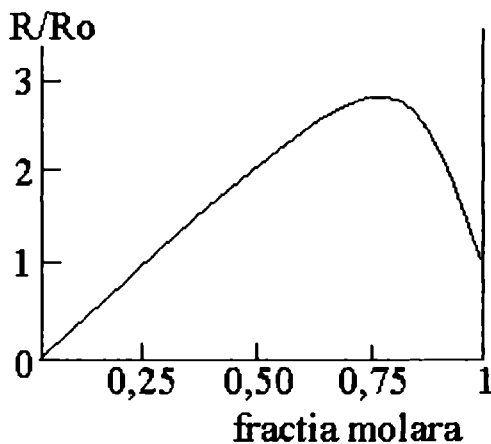


Figura 6.7. Vitezele relative ale polimerizării stirenului în soluții de cloroform în funcție de fracția molară a stirenului ($\phi_{rel} = 17$ și $P_{rel} = 10$).

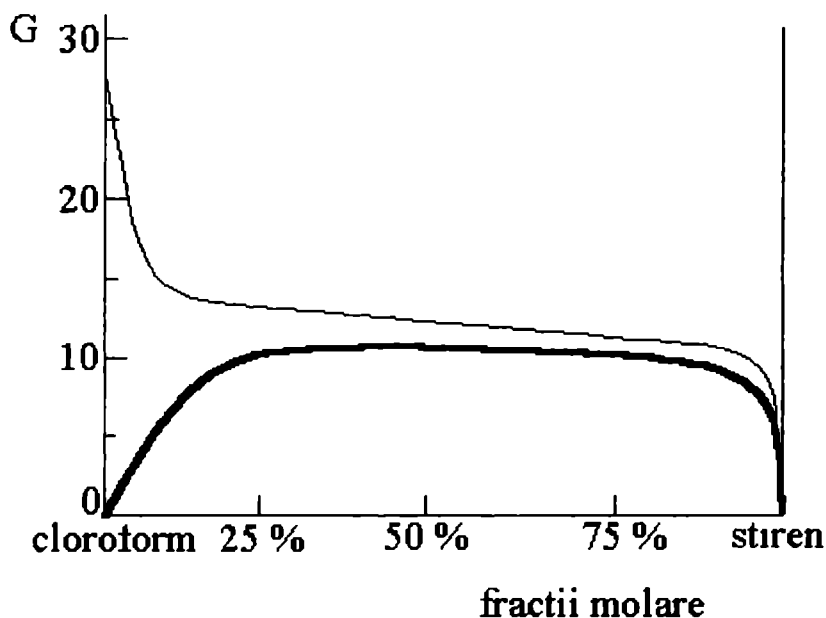


Figura 6.8. Valorile randamentelor radiochimice de formare a radicalilor în sistemele metilmetacrilat/tetraclorură de carbon. Linia subțire este rezultatul determinărilor cu DPPH

Un alt caz în care solventul modifică viteza de polimerizare a monomerului este descris de comportarea metilmetacrilatului în soluții de tetraclorură de carbon. Acest solvent este un compus care sensibilizează într-o măsură foarte mare radioprocesarea metilmetacrilatului. În figura (6.8) se prezintă valorile randamentului radiochimic de formare a radicalilor liberi în soluții de MMA în CCl_4 . Curba plină prezintă o valoare constantă până la o concentrație a solventului de aproximativ

40 %. Acest lucru demonstrează acțiunea de sensibilizare a procesului de generare a radicalilor liberi. Prin introducerea în mediul de polimerizare a unui captor de radicali, de exemplu DPPH, scăderea randamentului G_R devine semnificativă, de la valoarea inițială de 19,2 la o valoare finală de 11,3 pe tot domeniul de concentrații ale componentelor soluției.

Procesul de polimerizare a acetatului de vinil în tetraclorură de carbon este un caz tipic pentru demonstrarea efectului diluției în polimerizarea sub influența radiațiilor ionizante. În figura 6.9 sunt comparate valorile G_R pentru acetatul de vinil obținute pe diferite căi: curba (1) – din date cinetice de polimerizare și curba (2) - din determinări obținute în prezența DPPH. Se poate remarca scăderea accentuată a randamentului la concentrații mari de CCl_4 datorită procesului de transfer al energiei de la moleculele excitate ale monomerului la moleculele solventului producându-se o diminuare foarte pronunțată a vitezei de producere a polimerului.

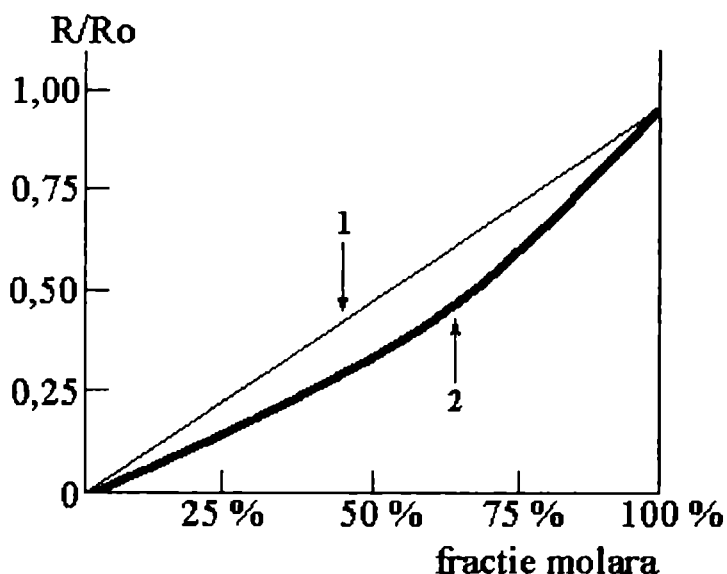


Figura 6.9. Valorile G_R pentru polimerizarea acetatului de vinil în CCl_4 în funcție de fracția molară a componentelor

În prezența DPPH experimentele au demonstrat că procesul de dezactivare are loc într-o proporție foarte redusă ceea ce poate fi explicat prin stabilitatea pronunțată a radicalilor CCl_3 ; rezultați fie din radioliza tetraclorurii de carbon, fie din ruperea unei legături C-Cl într-o moleculă excitată de CCl_4 apărută în urma transferului energiei de excitare.

PRODUCEREA COPOLIMERILOR GREFAȚI ÎN CÂMP DE RADIAȚII IONIZANTE

Polimerizarea mai multor unități monomerice diferite prezente în mediul de iradiere conduce la o asociere întâmplătoare a acestor molecule, astfel încât succesiunea unităților din componența macromoleculilor cu formula generală A_xB_y poate fi aleatoare (figura 7.1a). Dacă însă structura macromoleculilor respectă o anumită ordine în care reacționează, atunci se pot obține polimeri grefați cu structuri de tipul reprezentat în figura 7.1b sau polimeri bloc cu configurația din figura 7.1c.

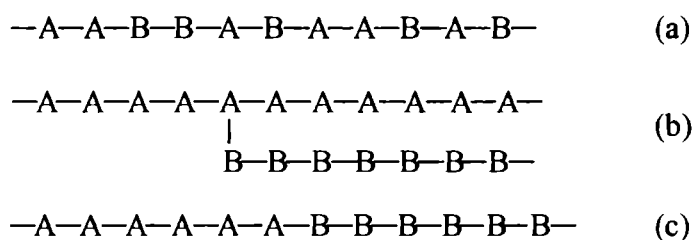


Figura 7.1. Succesiunea unităților structurale în copolimeri

Un copolimer grefat poate că prezinte proprietăți intermediare între valorile caracteristice celor doi polimeri puri ceea ce se obține în mod curent în metalurgie, în cazul aliajelor. Copolimerul atactic posedă proprietăți intermediar-aleatoare, care nu urmează legea aditivității, în sensul nerespectării raportului stoechiometric între cantitățile monomerilor și, implicit, proprietățile materialului care rezultă pot fi destul de diferite în raport cu componentele de inițiale. Copolimerii grefați pot fi obținuți pe mai multe căi:

- polimerizarea prin adiție a unui monomer vinilic B inițiată de polimerul A_x ,
- combinarea a doi radicali liberi macromoleculari A_x și B_y ,
- policondensarea unui monomer B pe o grupă activă a polimerului A_x ,
- condensarea a două macromolecule A_x și B_y care conțin grupe funcționale care pot reacționa.

Ultimul mod de producere a copolimerilor grefați enunțat anterior se poate realiza prin combinarea a două macromolecule diferite pe care în urma acțiunii radiațiilor de mare energie apar poziții active. Aceste puncte de reacție fac posibile:

- grefarea directă a unui monomer vinilic pe o macromoleculă a unui polimer,
- grefarea pe polimeri care prezintă grupe peroxi apărute în timpul radiolizei,
- grefarea inițiată de radicali trapați,
- coreticularea a doi polimeri diferiți prin formarea de punți intermoleculare.

(a) Grefarea directă a unui monomer vinilic pe un polimer.

Producerea radicalilor liberi prin acțiunea radiațiilor de mare energie reprezintă procesul premergător grefării, el fiind urmat de o reacție de polimerizare radicalică. Pentru un grad de conversie de 50 %, jumătate din mediul de iradiere este faza polimerică, ceea ce creează premiza formării de poziții radicalice noi, capabile să reacționeze cu radicalii liberi generați de monomer. În acest fel, monomerul este homogrefat pe propriul polimer. În principiu, se formează un polimer ramificat. Dacă iradierea continuă, în funcție de structura chimică a polimerului, acesta se poate radioreticula sau radiodegrada. În figura 7.2 este redată variația conversiei unui monomer în funcție de doză, delimitându-se domeniile de existență a polimerului în funcție de procesul predominant care are loc la dozele respective.

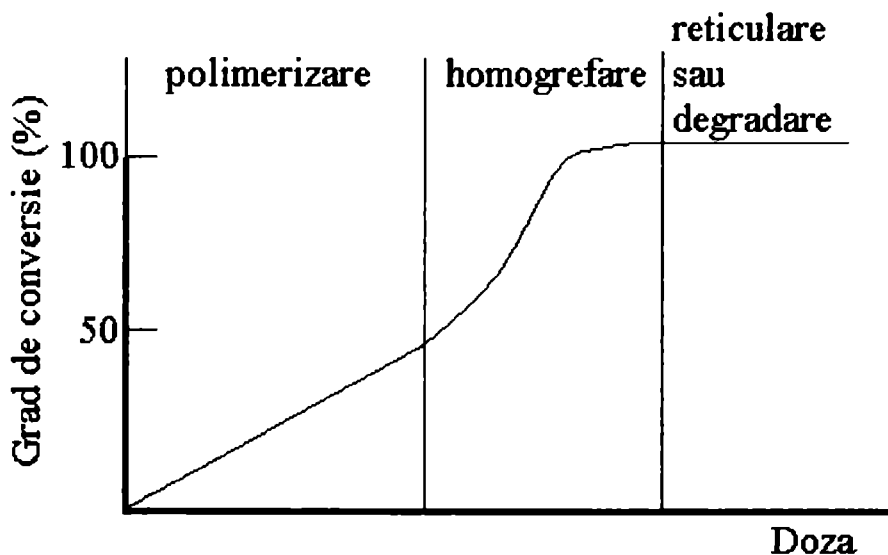


Figura 7.2. Variația conversiei unui monomer în funcție de doză

Dacă în sistemul supus iradierii se găsește un monomer de alt tip decât cel de la care s-a inițiat polimerizarea monomerului de bază, atunci se poate forma un copolimer grefat, așa cum se sugerează prin intermediul figurii 7.3.

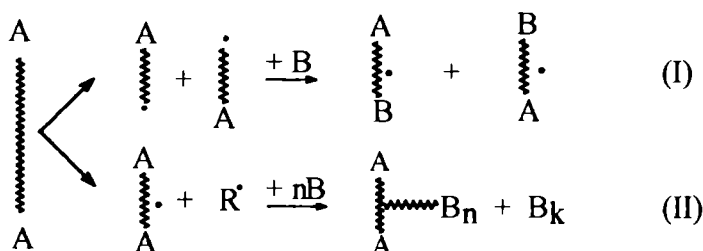
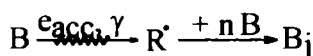


Figura 7.3. Schema procesului de obținere a copolimerului grefat

Pentru polimerii care se degradează sub acțiunea radiațiilor ionizante, reacția (I) este mai probabilă decât cea de a doua permițând formarea unui copolimer bloc. Dacă însă se pornește de la

un polimer radioreticulabil atunci reacția (II) este cea mai probabilă pentru obținerea unui material grefat în cantitate egală cu cea de homopolimer. Simultan poate apare un homopolimer dacă se ia în considerare procesul radiolitic al monomerului B:



Deci, urmarea acestui proces este formarea unui al doilea homopolimer. În scopul reducerii cantității homopolimerului B_j , în amestecul de reacție se va introduce o cantitate mică de monomer B sau polimerul inițial se îmbibă cu monomerul B. O reducere prea mare a raportului de concentrații a polimerului AA și a monomerului B va afecta desfășurarea ulterioară a grefării datorită modificării vâscozității sistemului, influențând în mod decisiv viteza de propagare a lanțului, lungimea lanțurilor grefate, concentrația macromoleculilor ramificate și, în esență, masa moleculară a produsului rezultat.

(b) *Grefarea pe polimerul cu grupe peroxi radiolitice.*

Prezența oxigenului în masa de polimer supus grefării conduce la formarea de molecule care prezintă grupe peroxi. Acestea intră în reacție cu monomerul B formând homopolimerul grefat. Procesul de grefare poate avea loc prin intermediul peroxizilor (a), cât și prin cel al hidroperoxizilor (b) (figura 7.4).

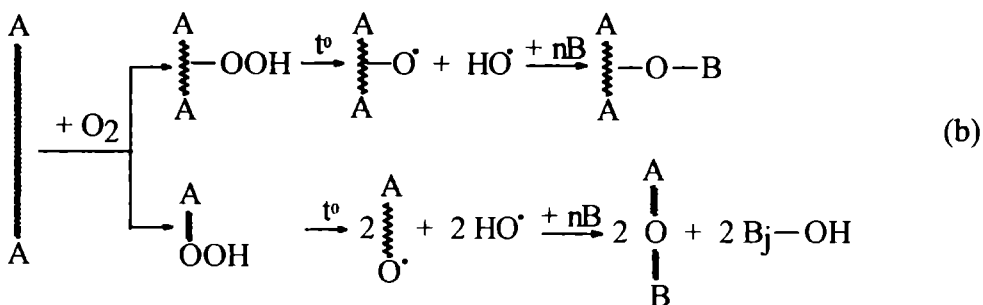
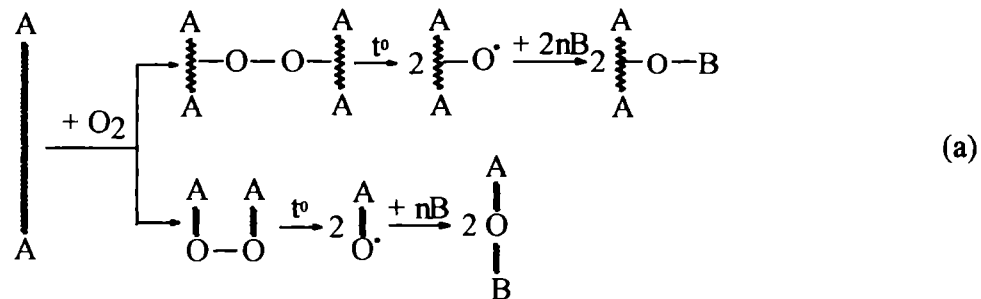


Figura 7.4. Procese de grefare prin intermediul peroxizilor (a) și al hidroperoxizilor (b)

Se poate observa că disocierea termică a hidroperoxidului conduce la cantități echivalente de molecule de homopolimer și de copolimer grefat. Dacă polimerizarea monomerului B este inițiată

de radicali hidroxil, atunci acest neajuns se poate minimaliza prin suprapunerea unei reacții redox, care să scoată radicalii OH din sistem:



La procesul de grefare pot participa și alți intermediari rezultați din procesul de radiodegradare oxidativă a polimerului, cum ar fi ROOR, ROOH sau H₂O₂.

(c) *Grefarea inițiată de radicali liberi trapați.*

Radicalii trapați sunt prezenți în majoritatea polimerilor iradiați datorită unei configurații de înfășurare a macromoleculelor și a mobilității scăzute a unor radicali cu mase moleculare mari. Rezultă că această metodă este adecvată obținerii polimerilor cu o cantitate mare de fază cristalină sau pentru producerea polimerilor în stare sticloasă. În acest fel, timpul de viață al radicalilor liberi se mărește semnificativ la temperaturi scăzute.

Acestui mod de grefare îi este favorabilă absența oxigenului, deoarece acesta acționează ca un captor de radicali, consumându-i și generând radicali peroxil care sunt promotori ai degradării oxidative.

În cazul când se dorește o grefare pe suprafața unui obiect de natură polimerică este indicat să se iradieze suprafața respectivă pe care a fost depus un anumit compus. Acesta trebuie să fie capabil să extragă atomi de hidrogen sau alți atomi rezultați din ruperea legăturilor pentru a micșora probabilitatea de recombinație a radicalilor pe căi defavorabile grefării. Acest tip de efect indirect a fost pus în evidență prin utilizarea soluțiilor apoase de apă oxigenată drept agent de activare.

(d) *Grefarea prin coreticularea a doi polimeri.*

O metodă foarte simplă de grefare sub acțiunea radiațiilor ionizante este coreticularea unui amestec omogen de doi polimeri. Dacă ambii compuși macromoleculari sunt radioreticulabili, atunci mecanismul de grefare poate fi descris de procesele din figura 7.5.

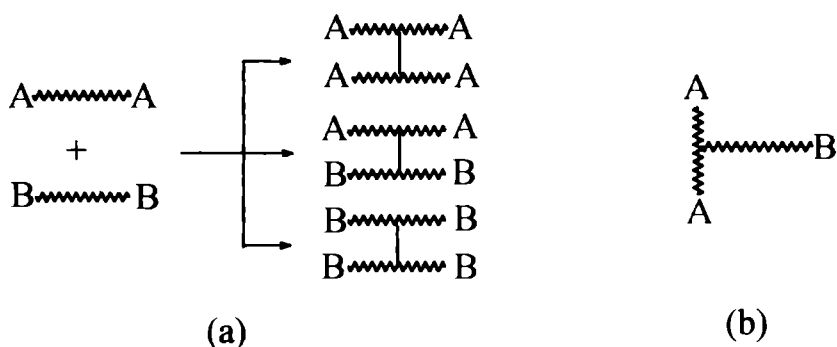
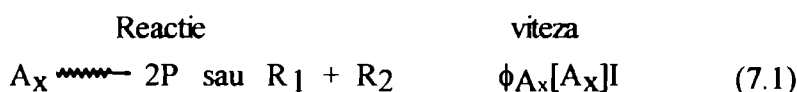


Figura 7.5. Moduri de grefare prin iradierea unui amestec omogen de doi polimeri

În principiu, dacă ambii polimeri sunt radiodegradabili, atunci randamentul de grefare este foarte scăzut datorită instabilității la radiațiilor de mare energie a materialelor inițiale sau a produsului final.

Pentru realizarea unui randament ridicat de grefare este absolut necesar ca în stadiul inițial amestecul celor doi polimeri să fie intim și omogen pentru a se obține o distribuție uniformă a centrilor activi de reacție în toată masa procesată. Metodele industriale cele mai folosite pentru realizarea amestecurilor izotrope de polimeri sunt vâlțuirea pe role calde și extruderea sau, cu o eficiență mult mai mare, dar, din păcate, mai costisitoare, evaporarea unui solvent care să aducă cele două componente în stare de miscibilitate perfectă. O alternativă la aceste procedee poate fi aleasă corectularea în soluție, deoarece solventul poate participa prin formarea de radicali proprii care să inițieze formarea radicalilor din macromoleculele polimerilor amestecați. Această metodă nu poate să conducă la o grefare totală a polimerilor datorită reacțiilor de recombinație între radicalii identici prin care se reduce randamentul de grefare. În consecință, valoarea acestuia poate fi de aproximativ 30 %. În procesul de radiogrefare, radicalii provin din ambele componente ale sistemului: polimer și monomer. Din punct de vedere cinetic, vitezele de producere a radicalilor liberi sunt ilustrate de reacțiile (7.1) și (7.2):



unde ϕ_{A_x} și ϕ_B sunt randamentele de formare ale radicalilor liberi proveniți de la polimerul A_x și respectiv, de la monomer, exprimate în moli de radicali.l⁻¹.Gy⁻¹; I este doza debit care trebuie exprimată în Gy.s⁻¹. Transformarea randamentelor de formare a radicalilor liberi în randamente radiochimice se poate realiza folosind expresia (7.3):

$$G_R(x) = \frac{\phi_x[X].N_A.100}{1000.\rho_x.e_x} \quad (7.3)$$

unde ϕ_x este randamentul de formare a radicalilor (mol.l⁻¹.Gy⁻¹), N_A este numărul lui Avogadro (6,023.10²³ g.mol⁻¹), ρ_x este densitatea mediului de iradiere (g.l⁻¹) și e_x este cantitatea de energie absorbită pentru o doză de expunere de 1Gy.

Dacă $\phi_{A_x} \gg \phi_B$ și deci, $[A_x] \gg [B]$, atunci procesul de grefare conduce la formarea unei cantități mari de homopolimer. Pentru cazurile în care randamentul de formare a radicalilor din polimerul A_x este mult mai mare decât valoarea similară pentru monomer randamentele de grefare ating valori ridicate. În tabelul 7.1 sunt prezentate valori ale randamentelor radiochimice de polimerizare pentru o serie de monomeri uzuali în practica radiochimică de grefare la scară industrială, valori care semnifică aportul componentului minoritar într-un proces de grefare în câmp

de radiații ionizante. Valorile mari ale randamentelor de formare a radicalilor determină în mod implicit eficiența procesului de grefare. Este de preferat cazul unui randament mare ca în situația acetatului de vinil sau al clorurii de vinil pentru a se obține o cantitate mare de fracție grefată.

Tabelul 7.1. Randamente de formare a radicalilor liberi pentru o serie de monomeri folosiți în procese de grefare radiochimică.

Monomer	Randament radiochimic, G_R
Stiren	0,69
Etilenă	~ 4
Acrilonitril	5,60
Metacrilat de metil	6
Acrilat de metil	6,30
Acetat de vinil	12,0
Clorură de vinil	~ 10

În desfășurarea proceselor de grefare cu radiații de mare energie trebuie să se evalueze cu destulă exactitate influența radiațiilor asupra monomerului, deoarece stabilitatea lui influențează în mod decisiv structura materialului polimeric obținut în final.

Numărul și lungimea ramificațiilor grefate sunt determinate de doză și respectiv, de doza debit. Astfel, un polimer care are o valoare G_R de 6 și o masă moleculară medie de 500.000 are nevoie de o doză de 3 kGy pentru a forma un radical liber pentru fiecare moleculă. În acest fel, această doză poate iniția polimerizarea datorită faptului că monomerul B poate fi convertit gradat în radicali care se consumă cu o viteză comparabilă prin atașarea lor la moleculele polimerului A_x .

Doza debit este factorul care influențează viteza de inițiere a polimerizării lui B și va controla lungimea lanțurilor rezultate din componenta B, astfel, în condiții experimentale, se pot stabili parametri optimi de obținere a unui anumit domeniu de lungime a ramificațiilor prin corelarea valorilor de doză debit cu structura materialului obținut după iradiere.

Alți parametri de reacție, ca de exemplu temperatura, vâscozitatea mediului, concentrația monomerului trebuie să constituie factori de care depinde structura polimerului grefat.

Rezultatele procesului de grefare pot fi exprimate prin *raportul de grefare*, adică raportul dintre greutatea moleculară a polimerului grefat și greutatea moleculară a polimerului inițial. Se poate folosi o mărime derivată din aceasta, *grefarea procentuală*, $R(\%)$, care reprezintă raportul dintre variația masei moleculare după grefare, M_G , și masa moleculară inițială, M_0 :

$$R(\%) = \frac{M_G - M_0}{M_0} \cdot 100 \quad (7.4)$$

Grefarea polietilenei

(a) Grefări directe

(I) *Stirenul* se poate grefa pe polietilenă printr-un procedeu direct, adică iradierea se realizează cu polietilenă îmbibată cu stiren. În funcție de grosimea materialului, de temperatură și, într-o măsură foarte mare, de tipul polietilenei datorită gradele lor diferite de cristalinitate, durata pătrunderii stirenilui în polietilenă variază de la o zi la 5 zile. Gradul de grefare al stirenilui pe polietilenă este proporțional cu doza de iradiere, în special la rapoarte mici de grefare (figura 7.6). Acest efect a fost observat la probe la probele mai groase și la temperaturi scăzute de reacție ($10 - 20^{\circ}\text{C}$).

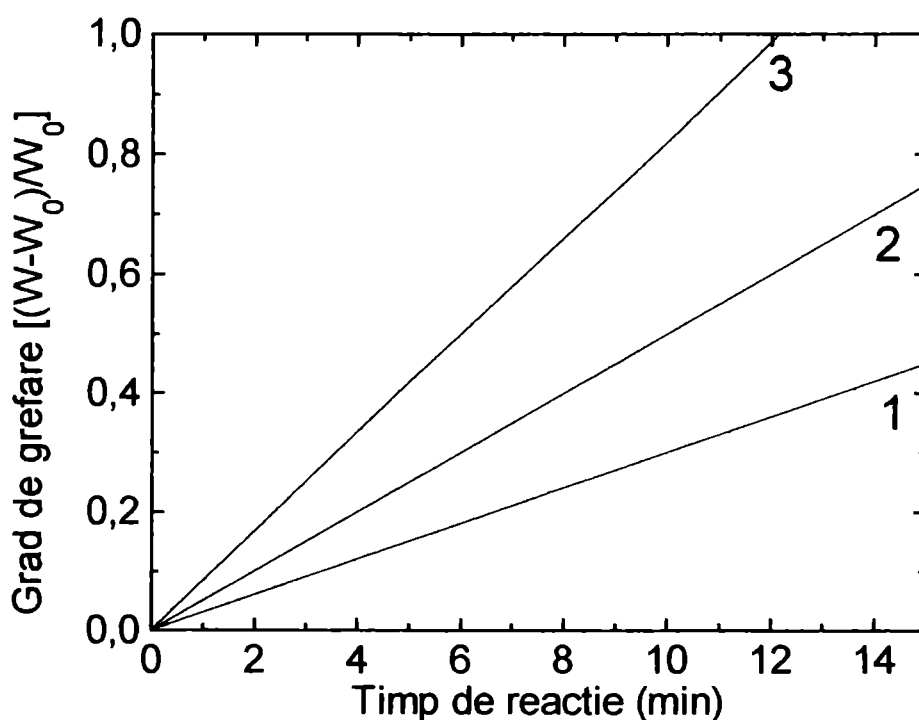


Figura 7.6. Influența grosimii și a dozei debit asupra grefării directe a stirenilui pe polietilenă.

(1) grosime 4mil, doza debit 0,19 kGy/h; (2) grosime 100 μm , doza debit 2,6 kGy/h;

(3) grosime 250 μm , doza debit 2,6 kGy/h .

S-a demonstrat că viteza de grefare exprimată în cantitate de stiren atașat polietilenei în unitatea de timp este independentă de doza debit în domeniul de valori 184 - 2600 Gy/h (figura 7.6).

Sistemul polietilenă-stiren constituie un mediu tipic în care procesul de difuzie a monomerului în polimer. Conținutul de fracție insolubilă va influența viteza de grefare. Un proces care micșorează gradul de grefare este formarea în interiorul polietilenei a unor zone în care se adună polistiren vâcos. Formarea acestor bule a fost explicată prin tendința polistirenului și a structurilor polimerice cu ramificații foarte lungi de a se dizolva (imersa) în stiren.

(II) *Metilmetacrilatul*. Spre deosebire de stiren, acest monomer produce o conversie a polimerului în copolimer printr-un proces autocatalitic. În acest sens, formarea gelului limitează mișcarea radicalilor macromoleculari de polimetilmetacrilat în fracția insolubilă și astfel, randamentul mare de generare a radicalilor face posibilă accelerarea procesului de grefare. Expunerile realizate în mod continuu la doze debit mari la valori care depășesc 100 kGy/s și excesul de monomer în polimerul de bază limitează avansarea procesului de polimerizare, iar gradul de grefare ajunge la o valoare mare. Dacă iradiările sunt intermitente, atunci monomerul are timp să difuzeze în material în toate direcțiile asigurând o sursă de radicali liberi. Influența dozei de iradiere și a modului de expunere asupra grefării polietilenei cu diferiți monomeri prin expunere la electroni accelerați de 2 MeV este prezentată în figura 7.7.

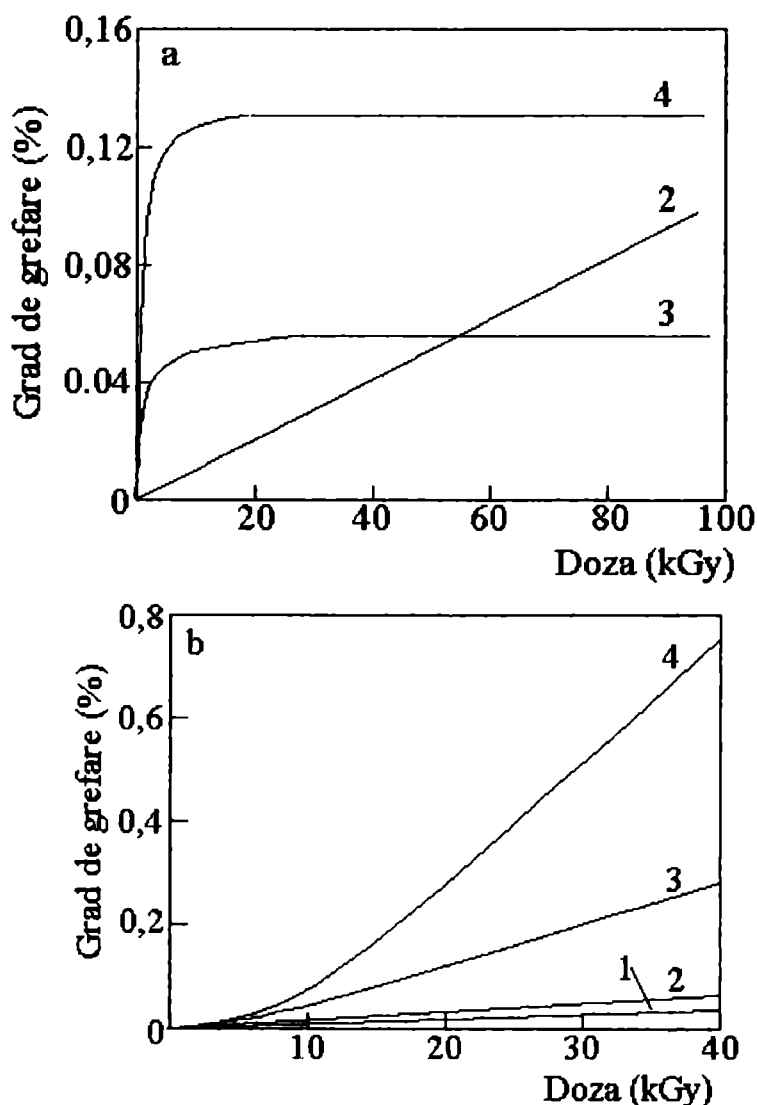


Figura 7.7. Influența dozei de iradiere asupra grefării polietilenei cu diferiți monomeri prin expunere la electroni accelerați de 2 MeV; (a) iradiere continuă (doza debit 10 kGy/s); (b) iradiere intermitentă, alternând cu operația de umflare.

(1) clorura de viniliden; (2) stiren; (3) acetatul de vinil; (4) metilmetacrilatul

În cazul iradierii la o doză de 300 kGy - expunere discontinuă, adică 2 minute de expunere urmată de 28 de minute de pauză, a condus la un polimer cu masa moleculară de 65 de ori mai mare decât cea obținută la o expunere continuă la o doză de 0,3 kGy/h.

Efectul temperaturii este condiționat de acumularea fracției de gel. La o doză mare, acumularea gelului este semnificativă, mai ales dacă temperatura de reacție este mai mare de 25°C. La o temperatură mai scăzută vâscozitatea mediului de reacție este mai mare, deci aceste condiții nu sunt favorabile procesului de grefare (figura 7.8).

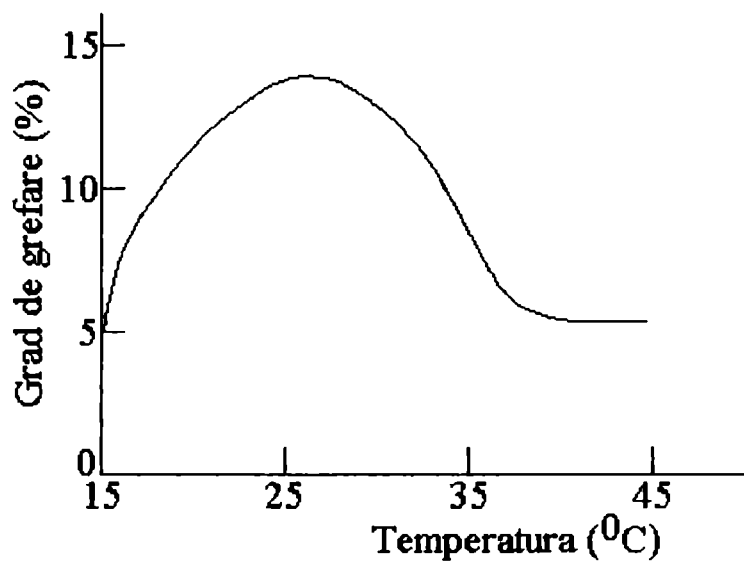


Figura 7.8. Influența temperaturii asupra vitezei de grefare a metilmetacrilatului pe polietilenă în experimentele cu iradiere intermitentă

Alți monomeri ca de exemplu acetatul de vinil, clorura de viniliden, vinilpiridina sau vinilstearatul pot fi monomeri capabili să se grefeze direct pe polietilenă.

(b) Grefări intermediare de peroxizi

Un exemplu tipic pentru acest mod de grefare este tratarea polietilenei cu acrilonitril în câmp de radiații ionizante. Procesul este favorizat de insolubilitatea polietilenei și a poli(acrilonitrilului) în monomer. Astfel, grefarea polietilenei cu un conținut mare de lanțuri peroxidate are loc la încălzire, filmul de polietilenă păstrându-și forma inițială chiar la un grad înalt de grefare. Variațiile raportului de grefare în funcție de doza de iradiere pentru acrilonitril și metilmetacrilat pe polietilenă peroxidată sunt prezentate în figura 7.9. Se poate remarca o creștere liniară a vitezei de conversie cu doza de iradiere în domeniul dozelor inferioare. Acest comportament indică atingerea

unei stări staționare în sistemul de reacție, ceea ce este rezultatul suprapunerii efectului difuziei monomerului (cu timpul conversia scade datorită încetinirii difuziei) și al formării gelului (conversia crește datorită efectului de cușcă).

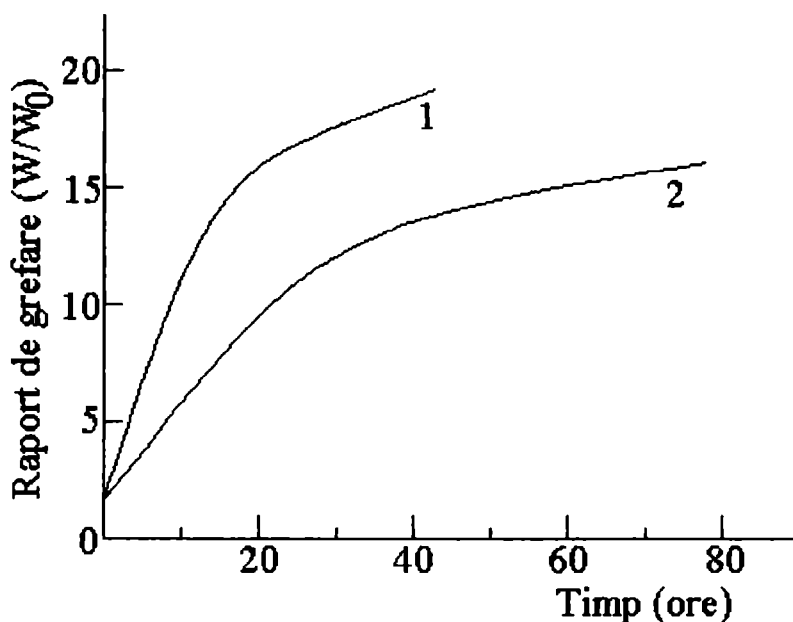


Figura 7.9. Dependența raportului de grefare de timp pentru filme de polietilenă peroxidate la o doză de preiradiere de 31 kGy. Doza debit: 7 Gy/h. Temperatura de lucru: 65°C.
(1) monomer: metilmetacrilat; (2) monomer: acrilonitril.

Studiul influenței temperaturii asupra vitezei de grefare a acrilonitrilului pe filme de polietilenă a scos în evidență existența a trei regimuri diferite: un domeniu al temperaturilor scăzute unde viteza de grefare este foarte mică, o zonă a temperaturilor moderate (între temperatura camerei și 135°C unde viteza de grefare este liniară cu timpul de reacție, deci, cu doza) și peste 135°C când mediul vâscos trapează inițiatorii de lanț, inclusiv peroxizii. În acest domeniu de temperatură are loc cu precădere reacția de terminare prin recombinație datorită concentrațiilor locale mari ale radicalilor.

Din datele cinetice care exprimă viteza de grefare (creșterea relativă în greutate în unitatea de timp, $(W-W_0)/W_0$ într-o oră) s-a stabilit că energia de activare a procesului de radiogrefare a acrilonitrilului pe filme de polietilenă necesită 9,3 kcal/mol (~ 39 kJ/mol) până la o temperatură de 109°C, iar peste această valoare a temperaturii energia de activare este 17,4 kcal/mol (~ 73 kJ/mol), ceea ce reprezintă o valoare dublă față de prima energie. Diferența se explică prin viteza diferită de difuzie a monomerului în zonele cristaline ale polietilenei.

Doza de preiradiere este un factor important în evoluția procesului de grefare, deoarece valori mari de doză înseamnă concentrații ridicate de funcțiuni peroxi. La doze mici concentrația de radicali peroxi este proporțională cu doza; la doze mai mari, de ordinul 50 – 100 kGy, creșterea

conversiei este limitată de descompunerea radiolitică a peroxizilor și de consumul oxigenului care există în material. În acest fel procesul este controlat de difuzia oxigenului molecular, ceea ce scade randamentul de grefare. Pentru produsele comerciale a fost pusă în evidență o perioadă de inducție a procesului de grefare, ceea ce se poate traduce prin descompunerea impurităților (până la aproximativ 8 kGy).

Dependența vitezei de grefare de doza debit este descrisă de relația (7.5):

$$R_{gref} = k.I^{0,74} \quad (7.5)$$

unde I este doza debit. Pentru polietilena de înaltă densitate exponentul dozei debit este 0,85.

Așa cum am mai amintit, gradul de cristalinitate influențează mobilitatea moleculelor de monomer în materialul iradiat. Diferența de aproximativ 34 kJ/mol dintre energiile de activare determinate pentru cele două zone de temperatură stabilite pentru grefarea polietilenei cu acrilonitril se explică prin grade diferite de mișcare în zone cu cristalinitate diferită.

RADIORETICULAREA POLIMERILOR

Prin expunere la acțiunea radiațiilor ionizante macromoleculele polimerilor pot forma o structură spațială, tridimensională, în urma formării unor punți intermoleculare, capabile să îmbunătățească performanțele materialului radioprosesat. Mărirea cantității fracției de gel răspunde anumitor cerințe practice de rezistență mecanică și chimică. Variația gradului de gel cu doza de iradiere este o consecință a recombinației radicalilor liberi, înainte ca aceștia să inițieze un proces de degradare oxidativă. Figura 8.1 prezintă modificarea consistenței fazei reticulate pentru polietilena liniară de joasă densitate. Atmosfera în care se execută iradierea influențează în mod decisiv viteza

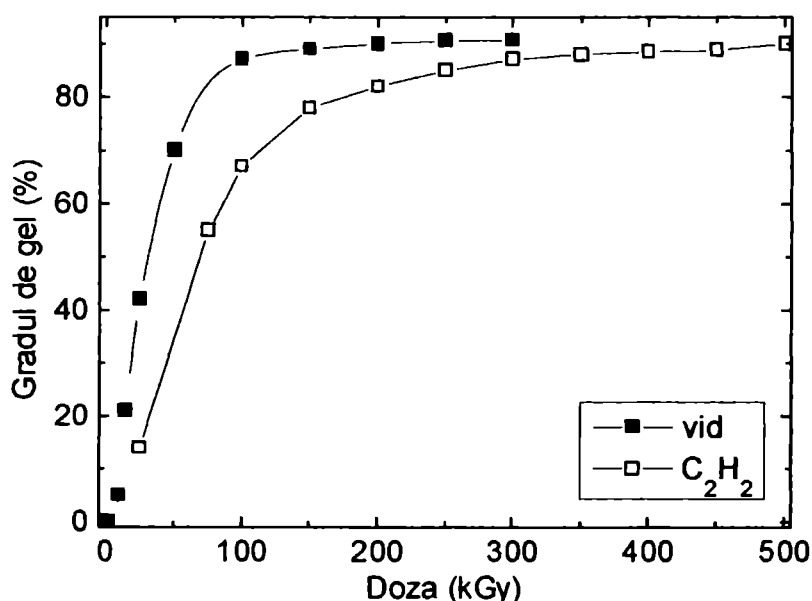


Figura 8.1. Variația fracției insolubile la iradierea polietilenei liniare de joasă densitate în vid și în acetilenă.

de reticulare. Absența oxigenului permite o acumulare mai rapidă a fazei reticulate. Iradierea diferitelor sorturi de polietilenă în aer conduce la o valoare maximă a gradului de gel la doze cuprinse între 250 și 400 kGy. În prezența unei hidrocarburi cu structură nesaturată, de exemplu acetilena, creșterea gradului de reticulare este marcată de acțiunea inhibitoare a radicalilor proveniți din radioliza C₂H₂, lipsa reacțiilor de disproporționare fiind demonstrată prin diferența conținutului de gel în raport cu experimentele realizate în vid. Inșă, pe măsură ce cantitatea de energie absorbită de proba de polietilenă este mai mare, structurile intermediare formate între radicalii macromoleculari și acetilenă participă la procesul de radioreticulare prin furnizarea unei cantități suplimentare de radicali.

Distribuția întâmplătoare a radicalilor în masa polimerului influențează distribuția valorilor maselor moleculare și, deci, gradul de reticulare exprimat prin conținutul de fracție solubilă. În figura 8.2 sunt reprezentate diagrame Charlesby-Pinner pentru trei situații caracteristice procesului de recombinare a radicalilor liberi.

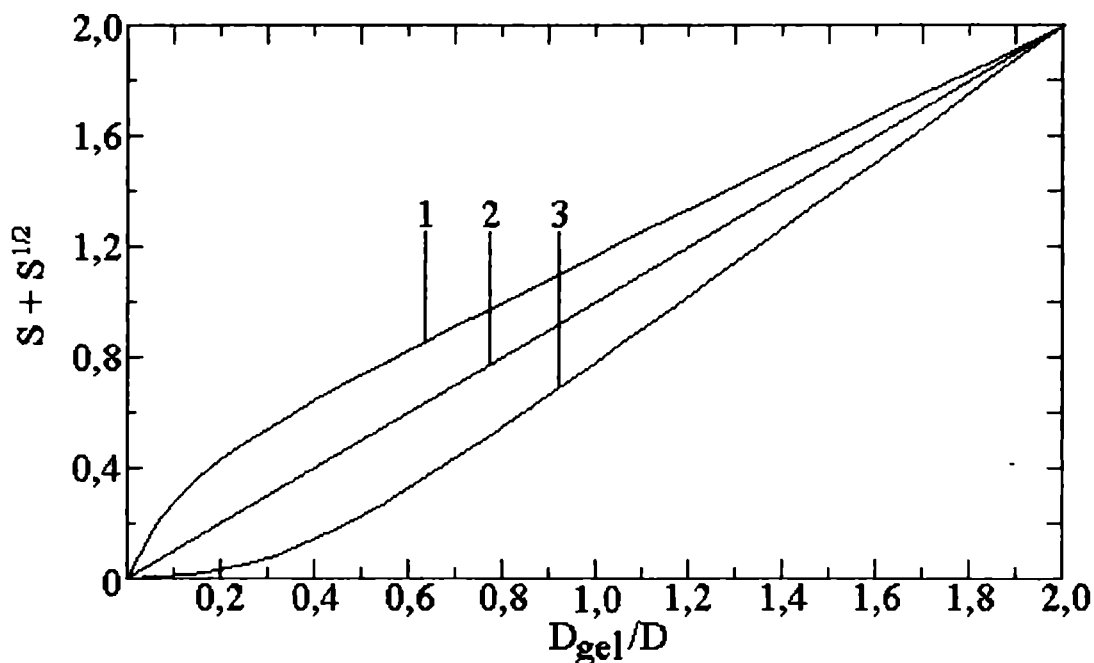


Figura 8.2. Diagramele Charlesby-Pinner pentru polietilena de joasă densitate.

- (1) recombinarea pseudo-întâmplătoare; (2) recombinarea întâmplătoare;
(3) recombinarea uniformă

Comportarea majorității poliolefinelor este similară, atunci când gradul de ramificație al catenelor este nesemnificativ. Din contră, dacă există o concentrație mare de atomi de carbon terțiari sau cuaternari, atunci viteza de scindare este mult mai mare decât cea de reticulare; expunerea la radiații de mare energie conduce la o degradare radioindusă. Un exemplu tipic pentru acest comportament este polipropilena, care, în vid se reticulează, pe când în vid ea se degradează. În figura 8.3 este descrisă comportarea polipropilenei iradiată în aer sau în atmosferă de hidrogen. Se poate observa că hidrogenul împiedică reticularea datorită reacțiilor de recombinare dintre radicalii macromoleculari și hidrogenul difuzat din exterior. Experimentele realizate pe pulberea de polipropilenă la doze debit relativ mari (10,5 kGy/h) au scos în evidență valoarea mare a dozei de gel, comparativ cu polietilena sau cu elastomerii etilen-propilenici. În domeniul dozelor mici, acumularea fracției de gel se face rapid pentru ca ulterior să atingă un palier pentru care viteza de reticulare egalează viteza de scindare. Diferența dintre cantitățile de fracție insolubilă caracteristice stării de echilibru pentru iradierile polipropilenei în vid și în hidrogen poate fi un argument pentru implicarea atomilor de carbon cuaternari în procesul de scindare prin ruperea cu prioritate a

ramificațiilor metilice în dauna scindării heterolitice a legăturilor C-H. Comportarea polistirenului este similară cu cea a polipropilenei iradiată în vid, cu mențiunea că polistirenul are o valoare a dozei de gel mai mare.

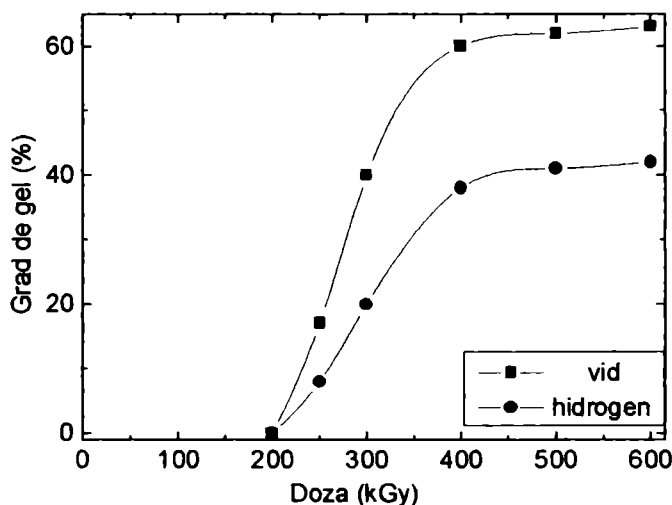


Figura 8.3. Efectul dozei asupra formării gelului în probe de polipropilenă pulbere iradiată în atmosfere diferite.

Diferențele de structură moleculară pentru polimeri asemănători din punct de vedere al tipului de monomeri utilizați pot induce diferențe în evoluția cantitativă a fracției reticulate. În cazul elastomerilor etilen-propilenici, polimerul care conține duble legături datorită prezenței unei diene sub forma unui al treilea component (terpolimerul) se va reticula mai repede decât copolimerul, dar stabilitatea sa în timpul expunerii la acțiunea radiațiilor de mare energie este inferioară copolimerului saturat.

Compararea rezultatelor furnizate de experimentele privind radioreticularea poliamidelor (figura 8.4) scoate în evidență diferențe mici între materialele polimerice din această clasă. Totuși, poliamida cu randamentul de reticulare cel mai ridicat, poliamida 12, se pretează mai bine la tehnologii de procesare prin iradiere.

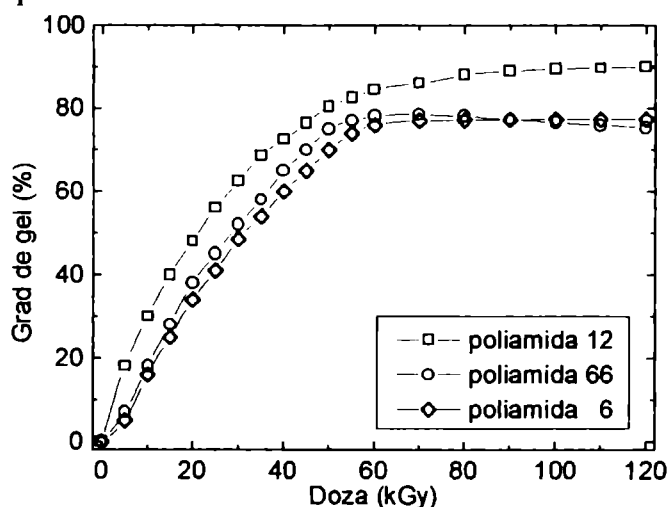


Figura 8.4. Acumularea fracției insolubile la iradierea poliamidelor.

Poliesterii, de exemplu polibutilentereftalatul, se pot reticula prin iradiere ca urmare a formării de radicali datorită unor scindări de lanț, a unei decarboxilări sau al unui transfer al unui atom de hidrogen de la un lanț vecin. Pentru formarea de punți intermoleculare multiple, iradierea poliesterilor în atmosferă de acetilenă conduce la o conversie ridicată a masei polimerului într-un material radioreticulat. Randamentul procesului de gelifiere al acestui poliester în formă de fibră este considerabil mai mare comparativ cu valoarea sa în cazul iradierii unor filme (figura 8.5).

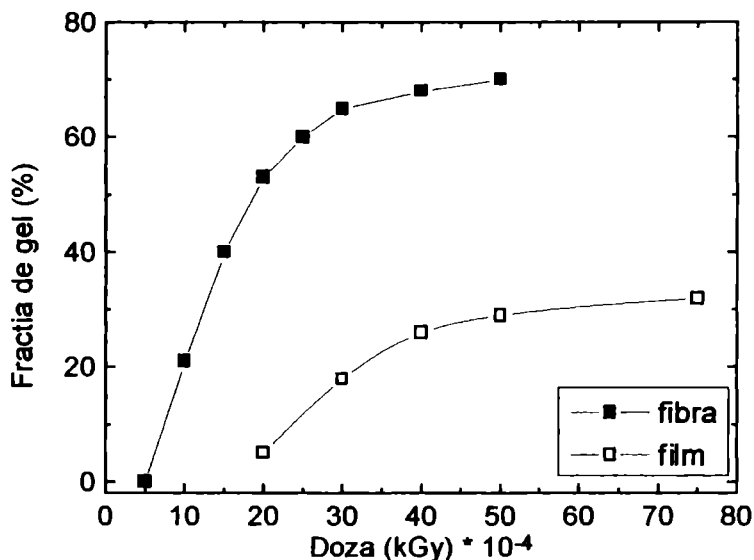
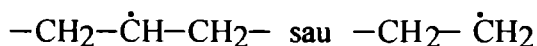
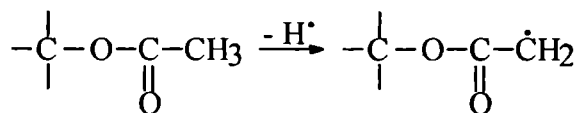


Figura 8.5. Frațiile de gel obținute la iradierea polibutadientereftalatului impregnat cu acetilenă.

Printre materialele polimerice cu un spectru larg de utilizare este copolimerul etilenă-acetat de vinil (EVA). Conținutul de acetat de vinil joacă un rol important în modificarea prin iradiere în sensul reticulării foliilor, a filmelor sau a plăcilor. În timpul radiolizei apar specii radicalice care provin, în principal, din ruperea unor legături C-C din lanțul etilenic cu formare de radicali alchil:



sau din eliminarea unui atom de hidrogen de la o unitate acetoximetil:



Aceste procese, urmate de reacții de recombinare, produc o altă ordine moleculară. În acest fel, se modifică conținutul de fracție insolubilă (figurile 8.6 și 8.7), gradul de cristalinitate al materialului expus acțiunii radiațiilor de mare energie (figura 8.8), simultan cu variația densității (figura 8.9). Existența acestor radicali intermediari precum și indicațiile spectrale în IR (variația absorbanțelor în benzile detectate: 1740 cm⁻¹ – gruparea C = O, 1250 cm⁻¹ – unitatea O=C-O-R și 1050 cm⁻¹ –

fragmentul C-O-C explică mecanismul de reticulare a polimerului EVA.

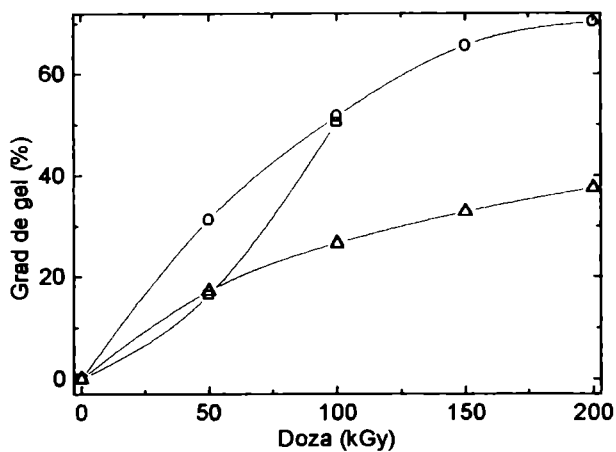


Figura 8.6. Variația cantității fracției insolubile pentru mai multe tipuri de EVA cu conținut diferit de vinil acetat.
(○) 5 %; (Δ) 10 % și (□) 15 %

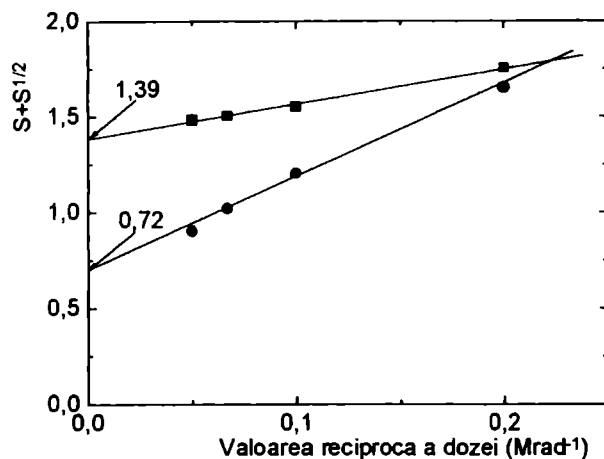


Figura 8.7. Diagramă Charlesby-Pinner pentru două tipuri de EVA cu conținut de (●) 5 % și (■) 10 % vinil acetat.

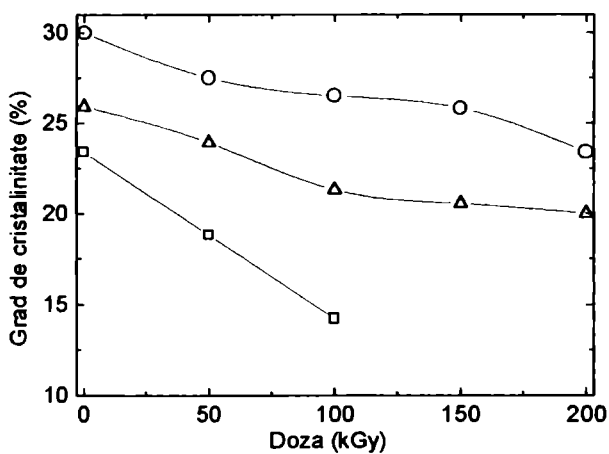


Figura 8.8. Variația gradului de cristalinitate pentru mai multe tipuri de EVA cu conținut diferit de vinil acetat.
(○) 5 %; (Δ) 10 % și (□) 15 %

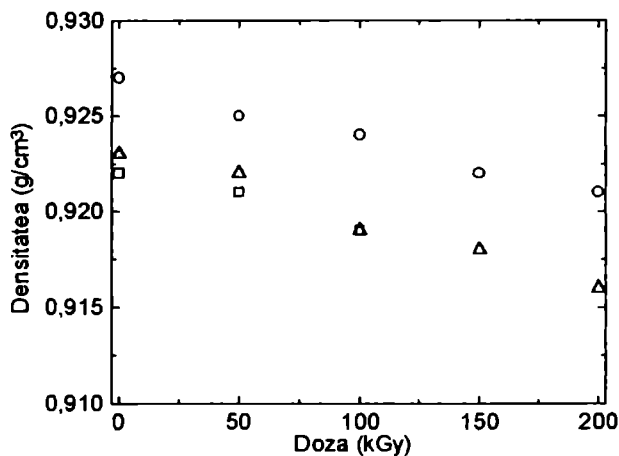


Figura 8.9. Variația densității pentru mai multe probe de EVA cu conținut diferit de vinil acetat.
(○) 5 %; (Δ) 10 % și (□) 15 %

Polisilanii (figura 8.10) își pot modifica gradul de reticulare prin iradiere cu electroni accelerați sau cu radiații γ . În funcție de doza de iradiere, gradul de atacticitate este mai avansat datorită recombinației neselective a radicalilor liberi.

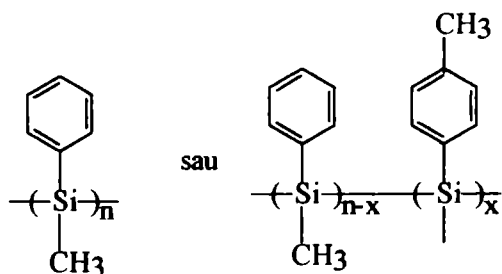


Figura 8.10. Structurile chimice obținute prin radioprocесarea polisilanilor.

S-a demonstrat că vitezele de scindare și de reticulare evoluează asemănător (figura 8.11), deoarece ruperea legăturilor atomilor de siliciu este mai rapidă decât refacerea acestora.

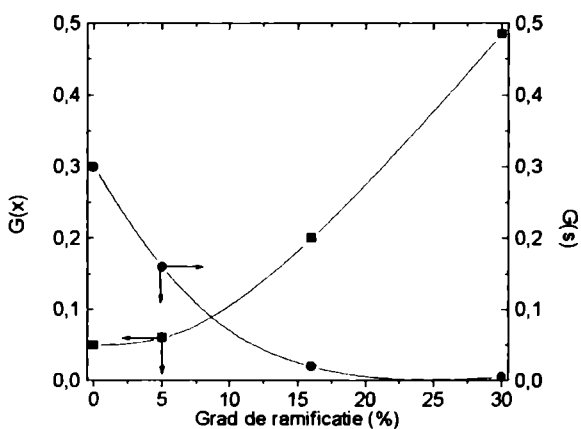


Figura 8.11. Modificarea randamentelor de scindare, $G(s)$ și a randamentelor de reticulare, $G(x)$ la iradierea polisilanilor cu diferite grade de ramificație.

Comportarea diferită a polisilanilor cu proporții diferite de structuri ramificate este confirmată de acumularea fazei radioreticulate (figura 8.12).

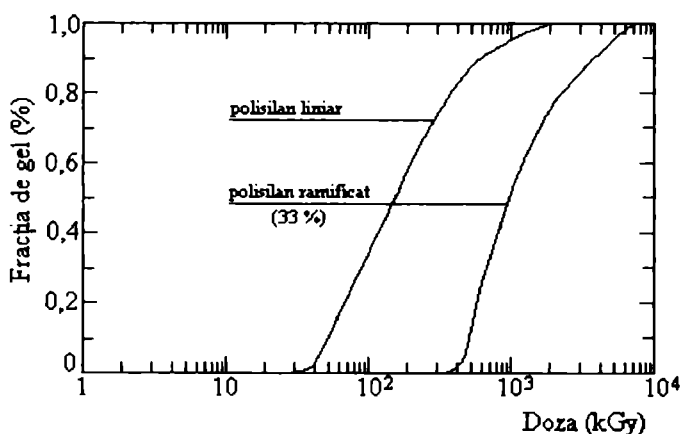


Figura 8.12. Variația cantității de gel în timpul radioreticulării polisilanilor

De altfel, analizele structurale realizate prin rezonanță magnetică nucleară pe polisilani marcați cu ^{29}Si au scos în evidență creșterea semnificativă a picului caracteristic legării unui atom de siliciu cu alți trei atomi de siliciu și, simultan, scăderea intensității semnalului pentru configurațiile în care un atom de siliciu este înconjurat numai de doi atomi de siliciu, structură inițială, neramificată și nereticulată.

Una din primele aplicații cu conotații economice este polimerizarea compușilor epoxidici. Pentru exemplificare se prezintă polimerizarea indusă de radiațiile de mare energie a ciclohexoxidului. Ca și în cazul radiodegradării polimerilor, acest proces are loc printr-o succesiune de reacții în lanț, însă, spre deosebire de degradare, mecanismul acestui proces este ionic (figura 8.13).

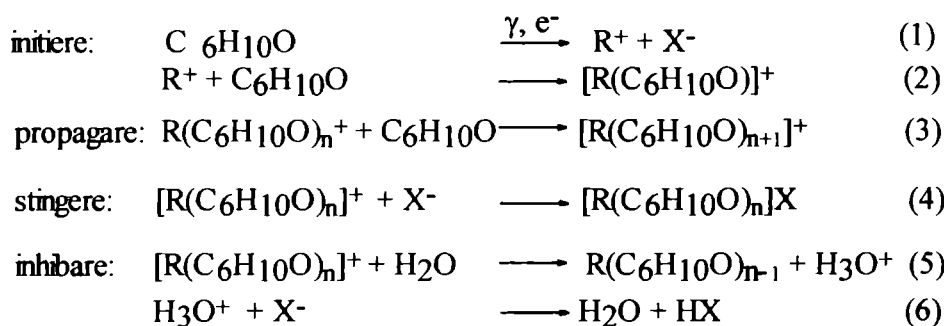


Figura 8.13. Mecanismul de polimerizare a unui compus epoxidic.

Procesarea prin iradiere a unor amestecuri de compuși epoxi - monomer vinilic conduce la un conținut ridicat de fracție insolubilă. Astfel, un amestec de oligomer epoxidic și un acrilat sau stiren se va polimeriza într-o proporție de 92-98 %, randament net superior polimerizării inițiate chimic. Acest grad ridicat de conținut al fracției insolubile se poate obține la o doză relativ modestă, 100-120 kGy. Pentru a se evita prezența radicalilor nereacționați în materialul iradiat, fapt care ar micșora rezistența în timp a compusului chimic rezultat, după terminarea iradierii se aplică produsului un tratament termic, ceea ce va conduce la o îmbunătățire a proprietăților materialului radioprosesat prin eliminarea pozițiilor reactive reziduale.

Radioreticularea amestecurilor de polimeri este o metodă eficientă pentru compatibilizarea acestor sisteme. Inițial, amestecurile lor fizice se pot transforma în materiale compozite stabile ca urmare a coreticulării diferitelor molecule aparținând componentilor prin legături chimice puternice. Prin iradiere cu electroni accelerați sau cu radiații γ proprietățile materialelor rezultante devin foarte diferite de cele ale componentelor. În esență, datorită noilor legături intermoleculare, se manifestă o tendință de stabilizare a formei și o rezistență chimică ridicată pentru domeniile de doză în care

viteza de reticulare este semnificativ mai mare decât viteza de scindare.

Polietilena, polimer radioreticulabil, poate să formeze un material stabil în timp prin iradiere în prezența poliamidei 6 fără agent de corecturare. În tabelul 8.1 sunt prezentate valorile rezistenței la tracțiune și ale rezistenței la impact ce caracterizează diferite amestecuri de polietilenă de joasă densitate și poliamida 6.

Tabelul 8.1. Proprietăți mecanice ale amestecurilor de PEjd și PA 6

Conținutul componentelor (%)		Rezistența la tracțiune (MPa)		Rezistența la șoc (J/m)		Doza debit (kGy/h)
PEjd	PA 6	Neiradiate	Iradiate	Neiradiate	Iradiate	
0	100	70	-	90	-	-
10	90	43	44	110	130	0,108
25	75	33	40	73	150	0,108
10	90	43	23	110	115	3,6
25	75	33	22	73	88	3,6

Amestecurile polietilenei de înaltă densitate cu polietilenvinilacetatul furnizează materiale mai ușor de prelucrat datorită elasticității componente EVA din probe. Astfel, la îmbătrânire, amestecurile de PEjd și EVA, iradiate în aer la o doză de 100 kGy, se comportă ca un produs deosebit de rezistent (tabelul 8.2)

Tabelul 8.2. Caracteristici ale polietilenei de înaltă densitate și a amestecului său cu polietilenvinil acetat (50:50 în greutate)

Proprietate	PEjd	PEjd/EVA
Rezistența la tracțiune (MPa)	21,3	19,6
Rezistența la tracțiune (MPa), probe îmbătrânite 72 h la 120 ⁰ C	11,7	20,5
Alungirea la rupere (%)	396	712
Alungirea la rupere (%), probe îmbătrânite 72 h la 120 ⁰ C	209	740
Duritate Shore A	98	94
Temperatura de înmuiere (°C)	99	82

Polipropilena, polimer radiodegradabil prin iradiere în aer, permite realizarea unor amestecuri cu grade de gel ridicate, atunci când de utilizează o doză de iradiere cu valoare relativ scăzută (50 kGy). Procesul prezentat în figura 8.14 stă la baza capacității polipropilenei de a participa la procesul de reticulare prin iradiere. Nesaturarea apărută printr-o reacție de disproporționare crează premiza proceselor de adiție radicalică sau a scindării legăturii, astfel încât

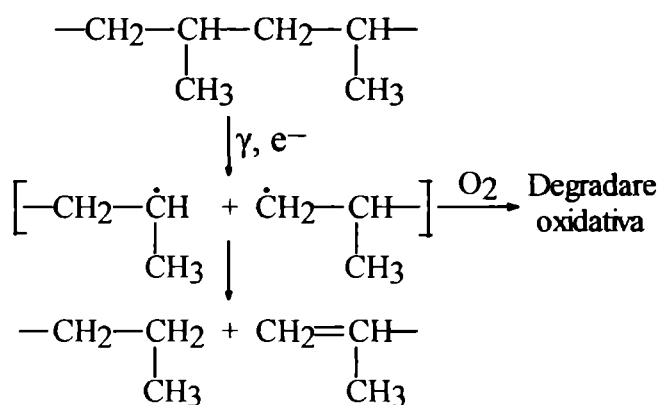


Figura 8.14. Mecanismul de formare a precursorilor în polimerizarea radioindusă a polipropilenei.

să se asigure un proces de propagare a lanțului de polimerizare. Amestecuri de polietilenă și elastomeri etilen-propilenic produc prin iradiere conținuturi diferite de fracție insolubilă datorită proceselor chimice care au loc între intermediarii celor două tipuri de structuri moleculare. În figura 8.15 sunt ilustrate dependențele conținutului de gel în funcție de compoziția amestecurilor pentru diferite doze de expunere γ .

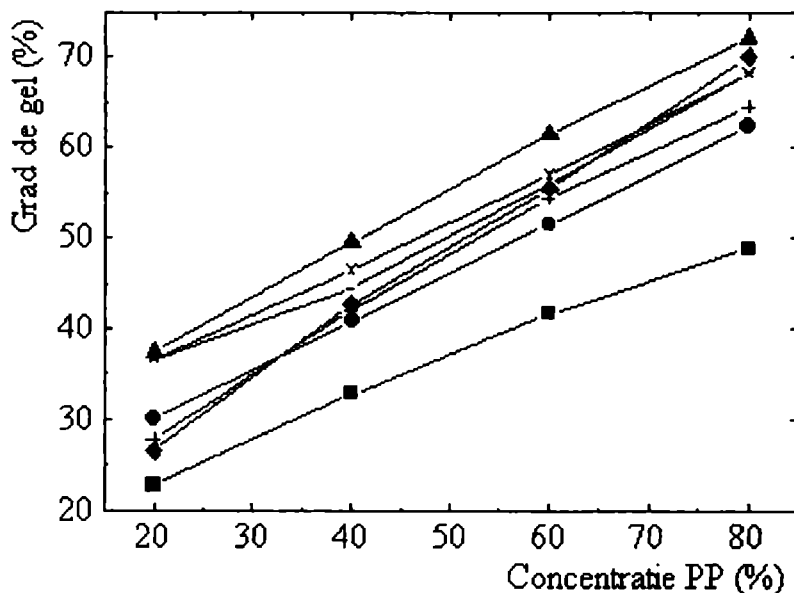


Figura 8.15. Dependența gradului de gel de compoziția amestecurilor EPDM/PP la diferite doze. (■) 37,5 kGy; (●) 73,7 kGy; (▲) 110,2 kGy; (◆) 146,8 kGy; (★) 183,1 kGy; (x) 221,5 kGy; (+) 258,3 kGy.

Tratarea materialelor polimerice sau a monomerilor în câmp de radiații ionizante necesită doze specifice care permit obținerea de randamente optime pentru un consum minim de energie pentru accelerarea electronilor. În tabelul 8.3 sunt date câteva valori ale energiilor electronilor accelerați pentru diferite scopuri aplicative.

Tabelul 8.3. Domeniul de energii pentru diferite activități de procesare a materialelor polimerice

Destinația electronilor accelerați	Domeniul optim de energie (MeV)
Cercetare	0,175 – 3,0
Polimerizări	0,2 - 0,3
Reticularea izolațiilor de cabluri	0,3 – 2,0
Tuburi și filme contractabile	0,5 – 3,0
Inobilarea anvelopelor din cauciuc	0,5 – 0,8
Producerea de materiale celulare	0,5 – 1,0
Grefări	0,5 – 2,0

DEGRADAREA POLIMERILOR

Formarea radicalilor liberi ca urmare a instabilității anumitor legături chimice determină schimbări esențiale în configurația polimerului. Un rol important îl joacă structura inițială a polimerului care va determina modalitatea prin care se vor comporta intermediarii radicalici. Fiecare clasă de compuși prezintă reacții caracteristice care reflectă influența grupei funcționale existente în lanțul macromolecular. Prin expunerea polimerilor la acțiunea radiațiilor ionizante, intermediarii care reprezintă entitățile active din sistem reacționează după mecanisme specifice, iar rezultatul macroscopic este schimbarea proprietăților inițiale ale materialului prin reticulare sau prin degradare.

Procesele de reticulare și de degradare au loc simultan, însă vitezele lor diferă de la un polimer la altul determinând specificitatea comportării materialului în câmp de radiații ionizante: polimeri reticulabili și polimeri degradabili. Folosind relația (2.32) într-o reprezentare de tip Charlesby-Pinner se pot determina viteza de reticulare, notată P_0 sau $G(X)$ și viteza de scindare, simbolizată prin Q_0 sau $G(S)$ utilizând valoarea ordonatei la origine determinată de funcția $S + \sqrt{S} = f(1/D)$. În figura 9.1 este reprezentată o diagramă Charlesby-Pinner pentru polietilenă liniară de joasă densitate iradiată în vid.

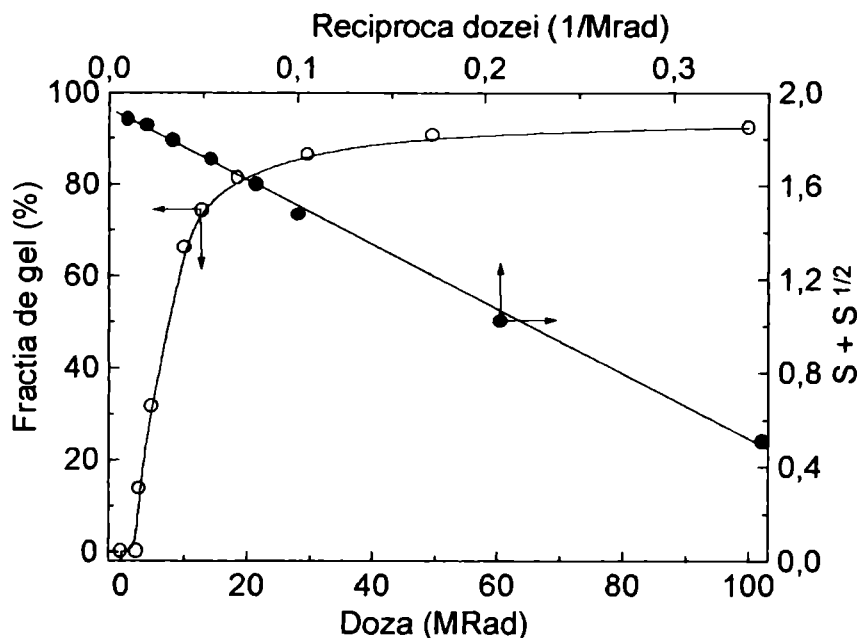


Figura 9.1. Diagrama Charlesby-Pinner pentru polietilenă liniară de joasă densitate iradiată în vid.

Cazul de radioprocăsări cu mecanism complex sunt, de exemplu, modificările sistemelor

polimerice unde unul din componenți este radioreticulabil, iar celălalt este radiodegradabil. În aceste situații, aportul fiecărui component la acumularea fracției insolubile este diferit. Există, totuși, o doză la care cele două efecte se compensează. Reprezentarea Charlesby-Pinner nu mai este o funcție liniară, ci o dependență cu un minim al valorilor $S + \sqrt{S}$ la o doză pentru care viteza de scindare este egală cu viteza de reticulare. În figura 9.2 sunt redată variațiile conținutului de fracție solubilă ($S + \sqrt{S}$) în funcție de valoarea reciprocă a dozei de iradiere pentru amestecuri de terpolimer etilen-propilenic (EPDM) și cauciuc natural (CN). Compoziția amestecului determină atât cantitatea de fracție insolubilă, cât și valoarea dozei la care ponderea proceselor de reticulare și de scindare este egală. Valoarea acestei doze absorbite pentru cazul expus se situează în domeniul 150-200 kGy, ceea ce corespunde domeniului de reticulare, când radicalii proveniți din scindarea macromoleculilor de cauciuc natural se greșează pe lanțurile elastomerului. Peste această doză contribuția procesului de scindare care are loc în fracțiunea elastomerică devine important, iar sistemele evoluează spre o stare de degradare avansată promovată de aportul ambilor componenți la procesul distructiv.

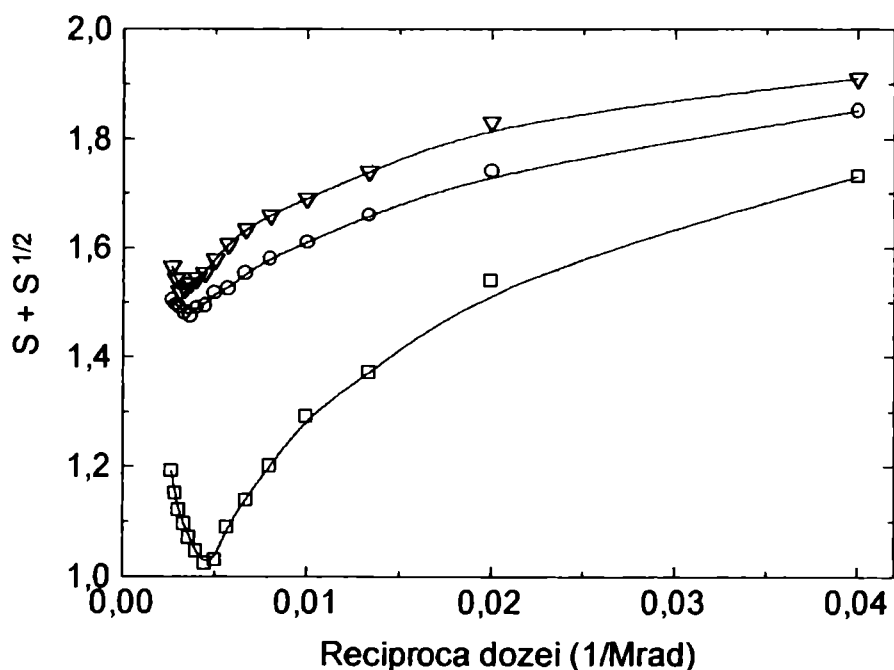


Figura 9.2. Curbele Charlesby-Pinner pentru amestecurile de elastomer etilen-propilenic și cauciuc natural. Compoziții: (□) EPDM:CN=3:1; (○) EPDM:CN=1:1; (Δ) EPDM:CN=1:3.

Competiția dintre procesele de reticulare și de scindare poate fi caracterizată prin valorile de doză la care sunt expuși polimerii pentru a se obține un grad maxim de reticulare, adică viteza de reticulare să fie net superioară vitezei de degradare. În tabelul 9.1 sunt prezentate aceste valori pentru polimeri reticulați prin iradiere la scară industrială.

Tabelul 9.1. Doza de reticulare pentru câțiva polimeri uzual reticulați prin iradiere

Material	Doza de reticulare (kGy)
Polietilenă	200-300
Polietilenă cu sensibilizatori	100-150
Terpolimer etilen-propilenic (EPDM)	100-150
PVC cu sensibilizatori	50-80
Polietilenă sulfonată	100-150
Poliviniliden fluorură	80-160
Copolimer etilen-propilenic (EPR)	50-150
Copolimer etilenă-tetrafluoretilenă	60-100
Cauciuc siliconic	200

Ca urmare a scindării macromoleculelor materialului iradiat, greutatea moleculară se modifică. Pentru polimerii radiodegradabili unul din efectele expunerii la radiații de mare energie este scăderea masei moleculare medii. În concordanță cu diminuarea greutateii moleculare, anumite proprietăți se modifică, de exemplu scade vâscozitatea, ceea ce implică o viteză de curgere mai mare. Cauciucul butilic poate fi modificat în acest sens prin iradiere cu electroni accelerați sau cu radiații γ . În figura 9.3 este prezentată variația greutateii moleculare medii gravimetrice în funcție de doza de iradiere pentru cauciucul butilic expus radiațiilor γ (^{60}Co).

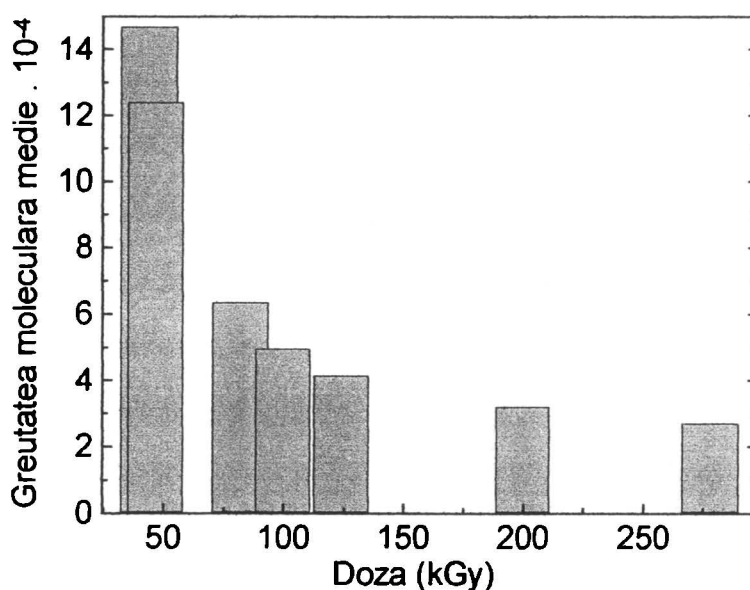


Figura 9.3. Variația greutateii moleculare medii în funcție de doza γ pentru cauciucul butilic.

Acest comportament al polimerilor la degradarea indusă de radiații de mare energie poate fi folosit pentru polimeri în vederea procesării amestecurilor pentru obținerea cu mai multă ușurință a unor medii cât mai omogene.

Schimbarea configurației moleculare se reflectă în variația proprietăților fizice. Problema comportării mecanice a polimerilor radioprocesați se poate discuta atât din punct de vedere al acumulării produșilor stabili care rezultă în procesul de degradare, în special cel oxidativ, cât și în legătură cu modificările morfologice produse în materialul iradiat prin redistribuirea în spațiu a macromoleculor (alterarea gradului de flexibilitate a lanțurilor) sau prin variația gradului de cristalinitate. În figura 9.4 sunt descrise schimbările concentrației de unități carbonil și a alungirii la rupere pentru polietilena liniară de joasă densitate expusă acțiunii radiațiilor γ la diferite doze.

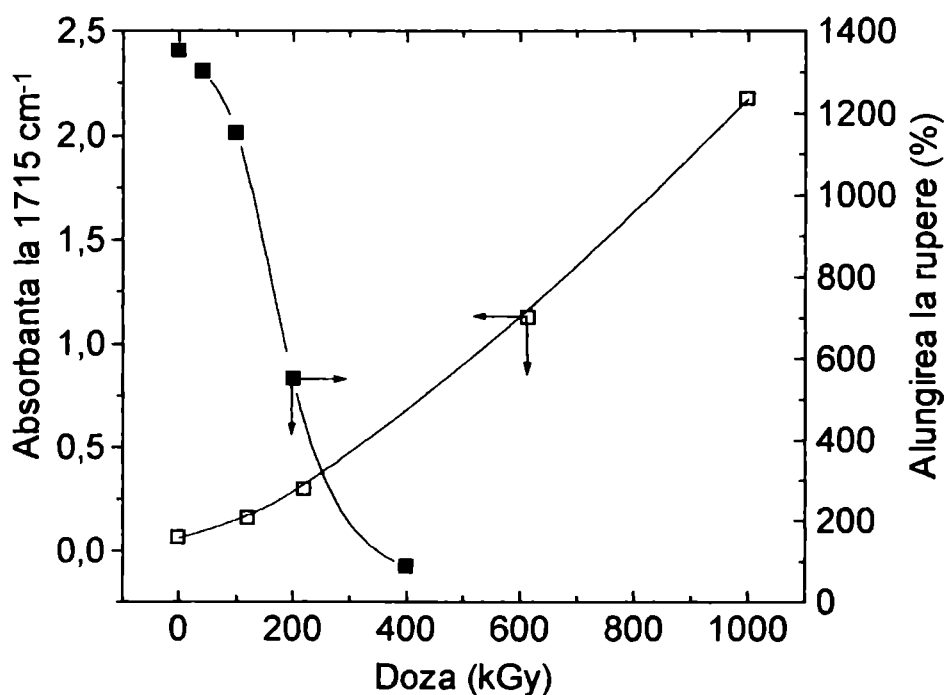


Figura 9.4. Variația concentrației de grupări carbonil (□) și a alungirii la rupere (■) pentru o polietilenă liniară de joasă densitate.

Iradierea altor polimeri, cum este polistirenul, conduce la o fragilizare a materialului datorită, pe de-o parte, unei reticulări parțiale, iar pe de altă parte, micșorării valorii greutatei moleculare medii. În felul acesta, materialul devine din ce în ce mai casant înrăutățindu-se proprietățile mecanice. În funcție de compoziția polistirenului, ca de altfel al oricărui polimer expus radiațiilor, efectele acțiunii radiațiilor se pot considera favorabile, dacă substanțele introduse pentru modificarea materialului de bază conduc la reticulare, deci la o îmbunătățire a rezistenței mecanice sau pot fi negative, dacă accelerează degradarea matricei principale. Deci, nu orice polimer se pretează la prelucrare prin iradiere în vederea obținerii unui sistem fiabil din punct de vedere al proprietăților mecanice.

Comportarea mecanică a unei categorii largi de polimeri iradiați cu radiații de mare energie, poliolefinele, care ocupă un segment de peste 70 % din piața materialelor plastice sintetice, este ilustrată de parametrii fizico-mecanici determinați pe probe de elastomerii etilen-propilenici (figura 9.5). Se poate remarca tendința materialului elastomeric de a se reticula. La doze superioare, numărul de punți intermoleculare se mărește, dar nu în mod proporțional cu creșterea dozei. În felul acesta cresc rezistența la tracțiune și duritatea pentru că efortul mecanic se repartizează pe molecule mai mari. Din contră, alungirea la rupere se diminuează din cauza rigidizării lanțurilor prin extinderea structurii tridimensionale a componentei insolubile din materialul radioprosesat. O consecință directă a unei reticulări avansate este mărirea modulului de elasticitate al materialului iradiat care se poate calcula aplicând legea lui Hook.

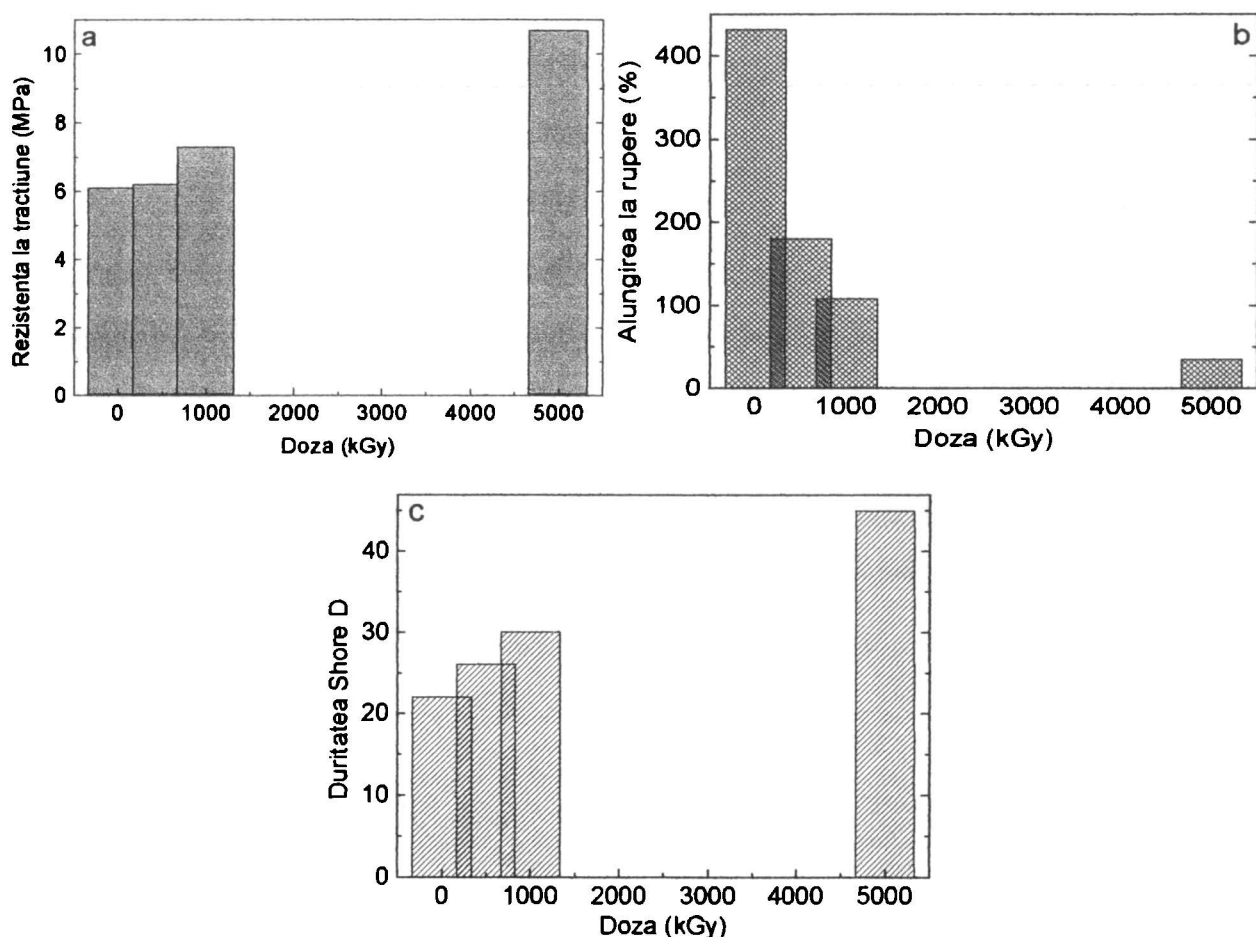


Figura 9.5. Caracteristici mecanice ale elastomerului etilen-propilenic (EPR) iradiat γ .

Stabilitatea la acțiunea radiațiilor poate fi evaluată atât prin valoarea energiei de activare necesară ruperii lanțurilor principale (Anexa 3), cât și prin corelarea gradientului masei moleculare cu doza de iradiere. În figura 9.6 sunt prezentate la scară logaritmică dispersia valorilor maselor moleculare medii numerice pentru diferite valori ale dozei de iradiere γ exprimată în kGy în cazul

politetrafluoretilenei.

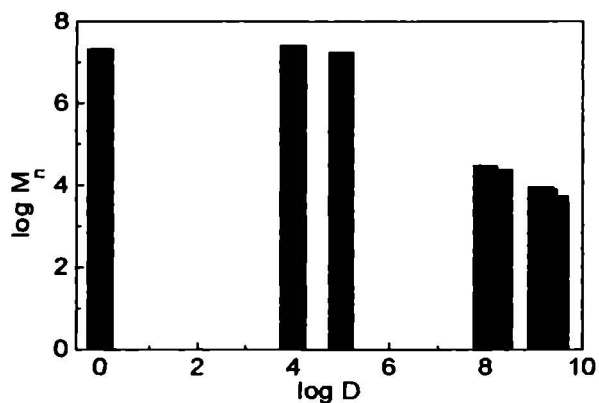


Figura 9.6. Histograma variației greutății moleculare medii a PTFE în funcție de doza de iradiere γ .

Iradierea polimerilor în prezența oxigenului conduce la un proces de degradare oxidativă în urma căruia se formează compuși stabili care conțin oxigen (aldehyde, cetone, acizi, peracizi, alcooli, etc). Mecanismul de degradare radiochimică este similar cu cel al degradării termice. Deosebirea majoră între aceste două căi de îmbătrânire constă în vitezele lor: degradarea indusă de radiații este mult mai pronunțată și decurge cu viteze mult mai mari decât procesul similar produs în urma unui transfer de energie termică sau fotochimică. Mai mult, doza debit joacă un rol esențial în cinetica formării produșilor oxigenați formați în timpul radiolizei. În figura 9.7 sunt prezentate profilele de oxidare ale unei polietilene iradiate la diferite doze. Difuzia oxigenului în materialul iradiat este procesul care determină viteza de degradare a polimerilor iradiați. De asemenea, concentrația de radicali liberi care este o funcție de doza debit reprezintă un factor determinant în viteza de acumulare a produșilor oxigenați.

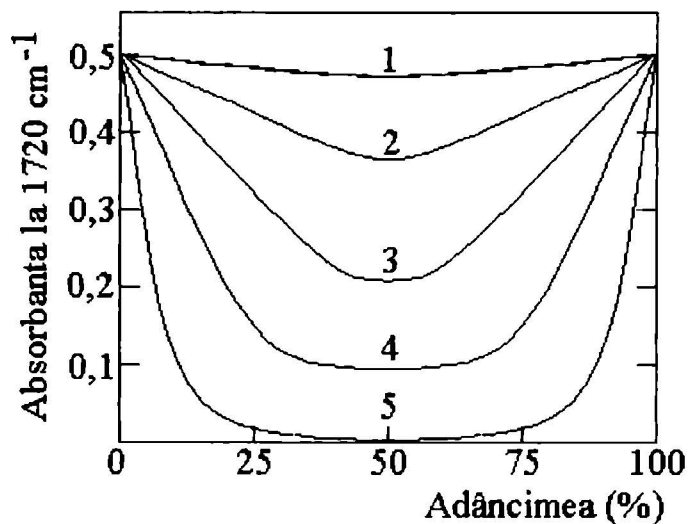


Figura 9.7. Distribuția compușilor carbonilici la iradiere cu electroni accelerați (1 MeV) a unor probe de polietilenă. Doza : (1) 25 kGy; (2) 50 kGy; (3) 75 kGy; (4) 100 kGy; (5) 100 kGy.

Mecanismul de degradare oxidativă polimerilor este reprezentat în schema din figura 9.8. Datorită complexității procesului în modelul de bază se presupune, pentru simplificare, că oxidarea este un proces de ordinul I.

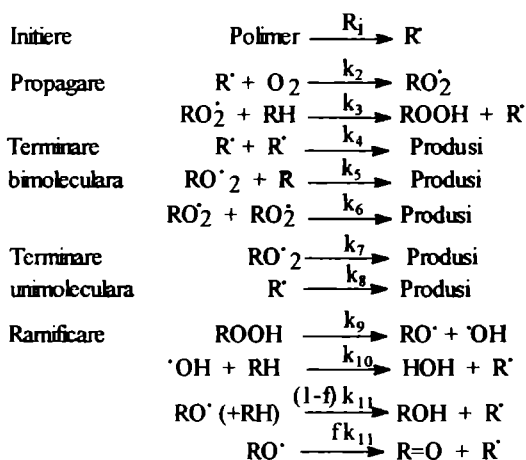


Figura 9.8. Schema mecanismului Bolland și Gee

Acest mecanism este aplicat poliolefinelor care au o structură capabilă să creeze radicalii hidrocarbonați. În ceea ce privește vitezele de degradare, deosebiriile dintre diferitele poliolefine sunt rezultatul configurațiilor diferite ale macromoleculilor. Gradul de ramificare, starea cristalină a polimerului, raportul dintre unitățile structurale ale copolimerilor sau proporția dintre diferiții componenți ai amestecului determină o viteză diferită de degradare. Iradierea acestei clase de polimeri constituie un mod de a se genera radicali liberi. Prin apariția radicalilor peroxid se creează amorse de degradare influențând starea de stabilitate ulterioară a materialului. În acest fel, are loc o oxidare eterogenă. Viteza de consum a oxigenului este mai mare decât viteza de difuzie a acestuia spre interiorul probei. În felul acesta, nivelul de degradare depinde de grosimea materialului (figura 9.7). Parametrii de care depinde starea de oxidare a unui material polimeric sunt: grosimea probei, viteza de consum a oxigenului și viteza de pătrundere a oxigenului molecular. Neomogenitatea distribuției primare a hidroperoxidilor în polimerii iradiati este cu atât mai pronunțată cu cât doza debit este mai mare sau proba este mai groasă. La o doză debit mare concentrația locală a radicalilor liberi este mare, iar probabilitatea ca acești intermediari să reacționeze cu oxigenul este foarte mare doar la suprafața probei. S-a stabilit prin calcule bazate pe determinări de randamente de consum al oxigenului și de constante de solubilitate ale O_2 că la o doză de $10^3 - 10^4$ Gy toată cantitatea de oxigen preexistentă în polimer este consumată de radicalii liberi rezultați din radioliză, oxidarea ulterioară având loc prin consumul oxigenului difuzat în timpul iradierii.

Un mecanism prin care se prezintă sintetic comportarea poliolefinelor este ilustrat de figura 9.9 unde sunt specificate căile de formare ale diferiților produși oxigenați.

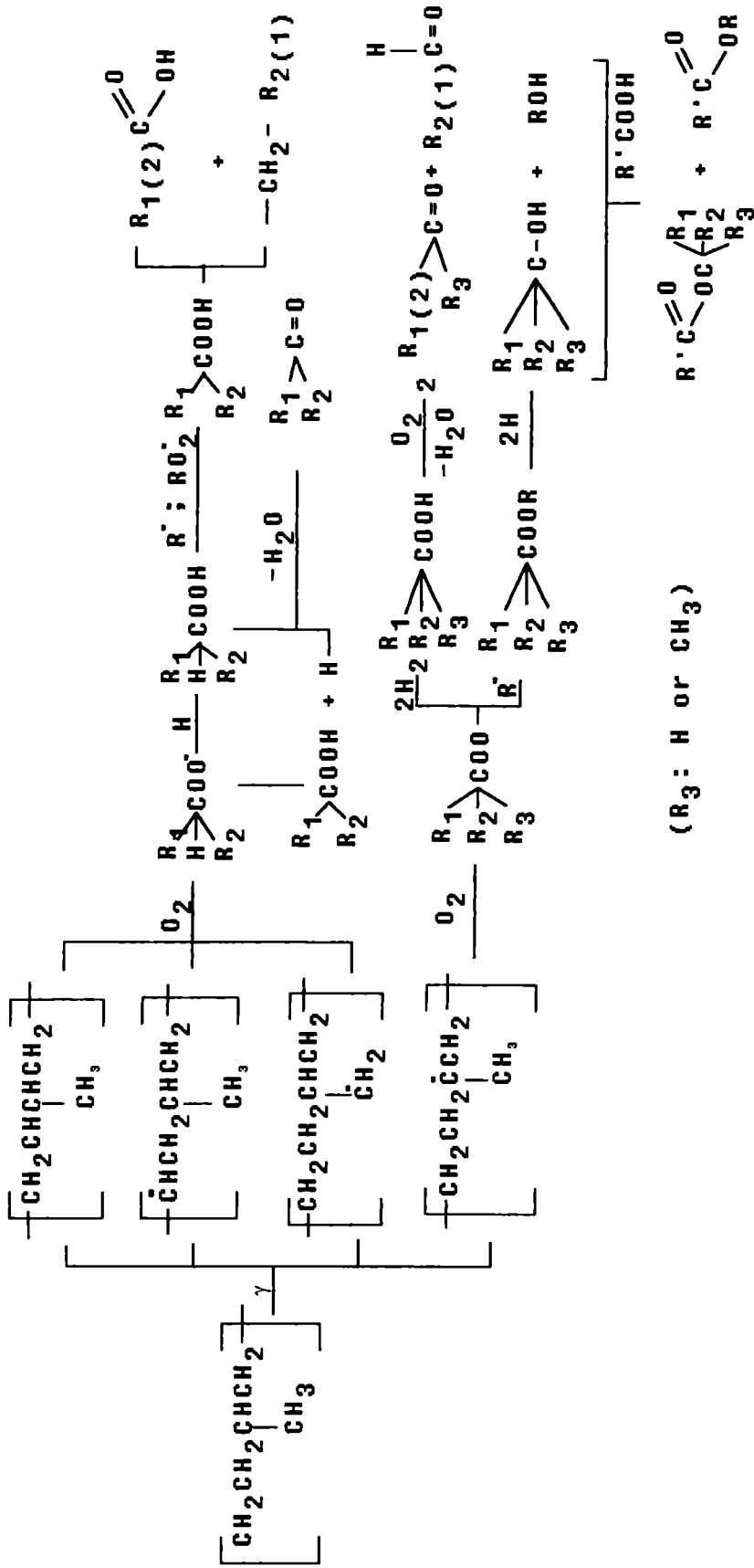


Figura 9.9. Mecanismul de radiooxidare al elastomerilor etilen-propilenici

Iradiera policlorurii de vinil conduce la un proces de degradare prin oxidare și prin dehidroclorurare. Procesul de oxidare evaluat în totalitatea lui reprezintă o sumă a unui mecanism unimolecular pentru reacții de terminare în interiorul ciorchinelui și un proces de ordinul 0,5 care decurge între diferitele traiectorii. Valorile randamentelor de formare a hidroperoxidului și de consum al oxigenului prezentate în figura 9.10 confirmă existența oxidării în regiunile dintre traiectoriile particulelor de mare energie prin efectul înregistrat la doza debit infinită.

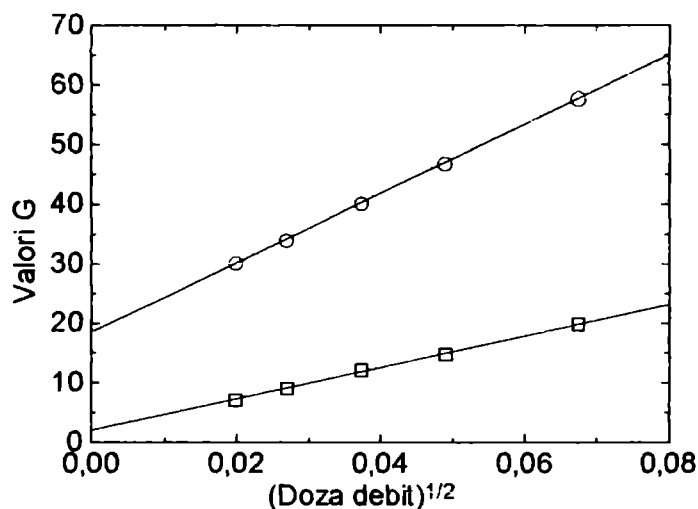


Figura 9.10. Valorile $G(-O_2)$ (○) și $G(ROOH)$ (□) obținute pentru PVC pur iradiat la o presiune de oxigen de 0,9 bari.

O clasă de polimeri care sub influența radiațiilor de mare energie se degradează la doze mici este grupul de polimeri fluorurați. Mecanismul după care aceste materiale se degradează este prezentat în figura 9.11.

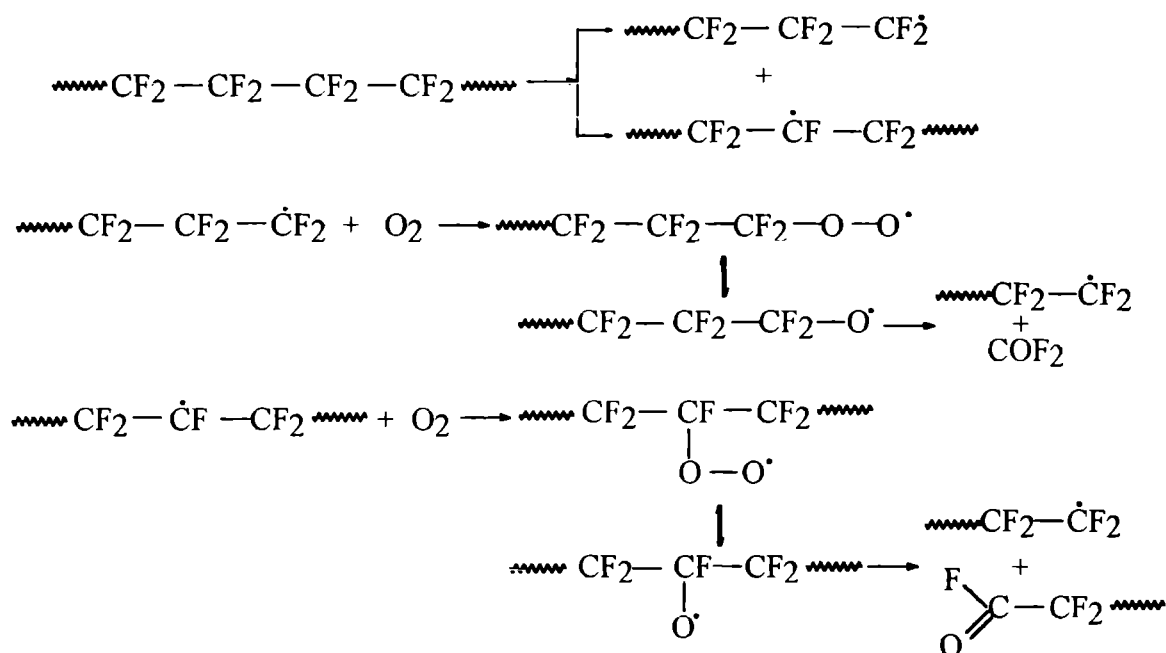
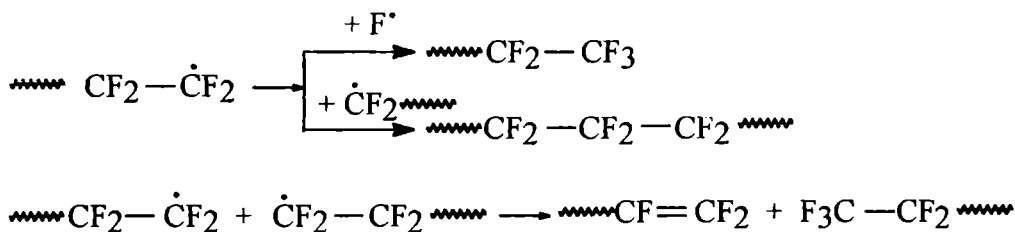


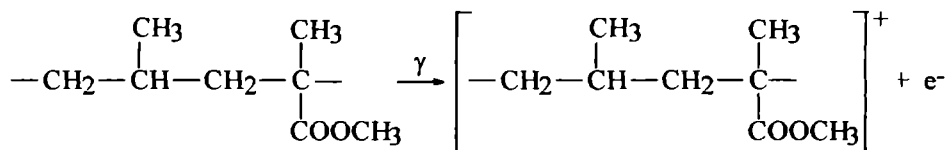
Figura 9.11. Mecanismul de degradare al PTFE

Reacțiile dintre doi radicali pot să conducă în lipsa oxigenului la formarea de perfluoroalcani sau la formarea unei legături duble:



Speciile intermediare, peroxil și alcoxil sunt entitățile care intervin în etapa de propagare a degradării. Nu s-a obținut niciodată fluor elemental ca produs de radioliză a polimerilor fluorurați.

Polimetilmetacrilatul este un polimer care aparține grupei polimerilor de degradare. Primul stadiu al formării radicalilor este descris de schema din figura 8.12.



Etaplele de propagare și de terminare în care sunt implicați intermediarii primari conduc la formarea unor structuri destul de simple dar și la formarea în cantități foarte mici a unor compuși care conțin legături multiple.

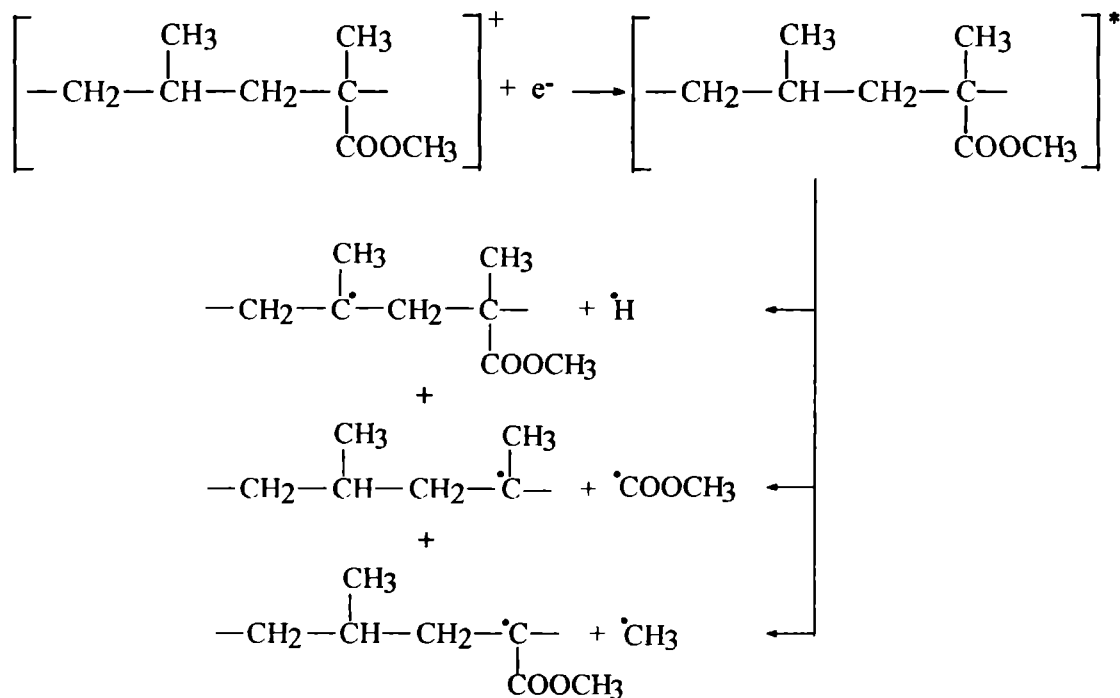


Figura 9.12. Schema de formare a intermediarilor primari în radioliza PMMA.

Acești radicali vor fi implicați în reacții ulterioare prin care se formează produși finali stabili (figura 9.13).

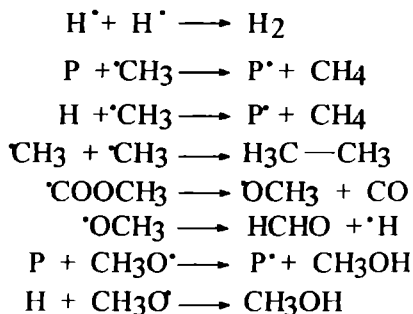


Figura 9.13. Reacții ale intermediarilor radicalici

Polienele pot să se degradeze sub acțiunea radiațiilor ionizante pe două căi (figura 9.14): fie prin atacul oxigenului la dubla legătură (mecanismul 9.14a), fie prin atacul la gruparea metil aflată în poziția α față de dubla legătură (mecanismul 9.14b).

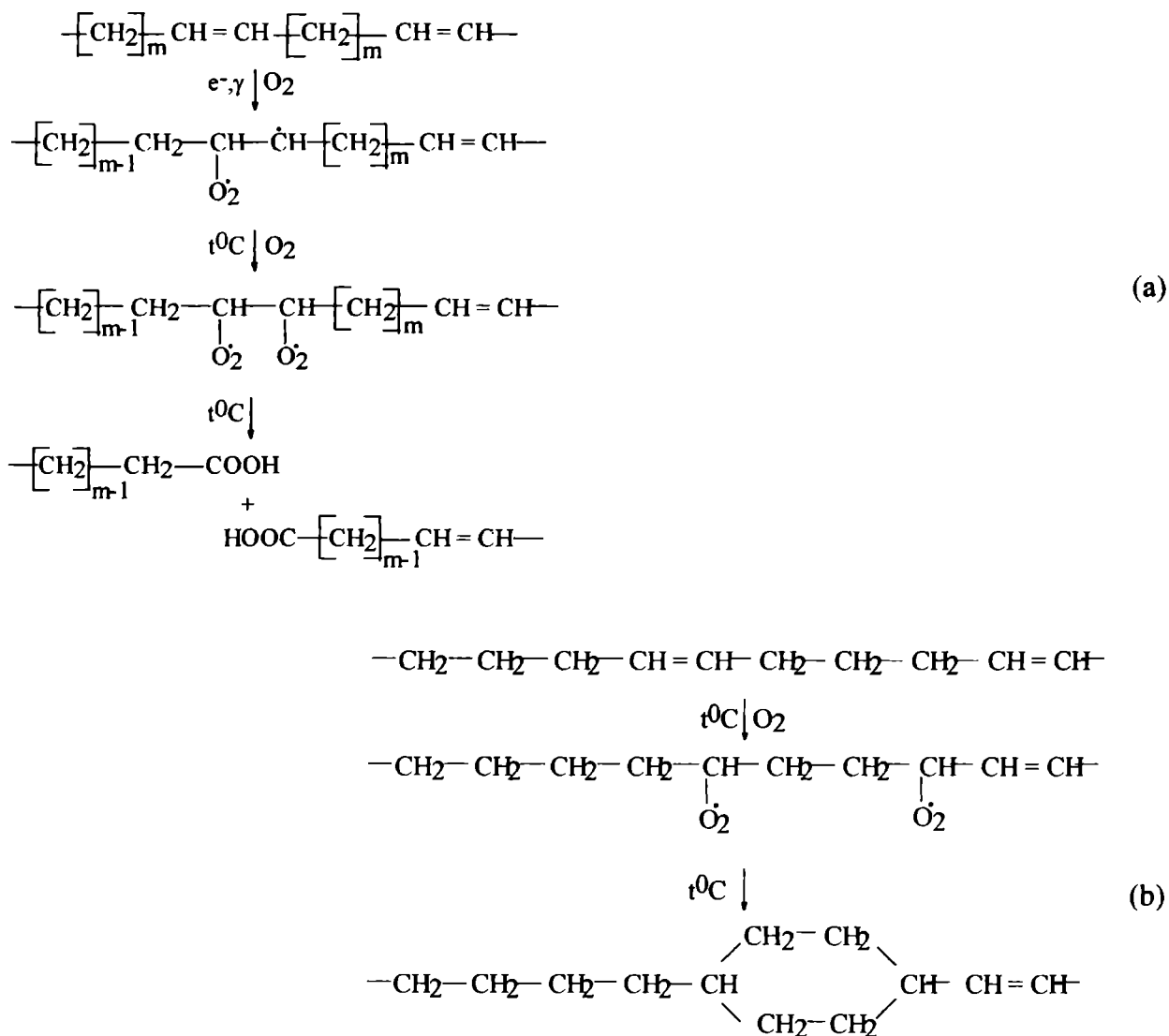
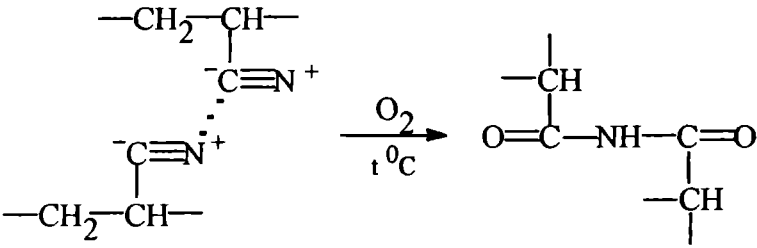
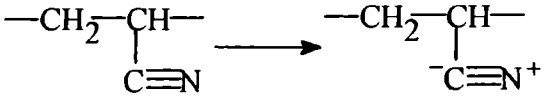
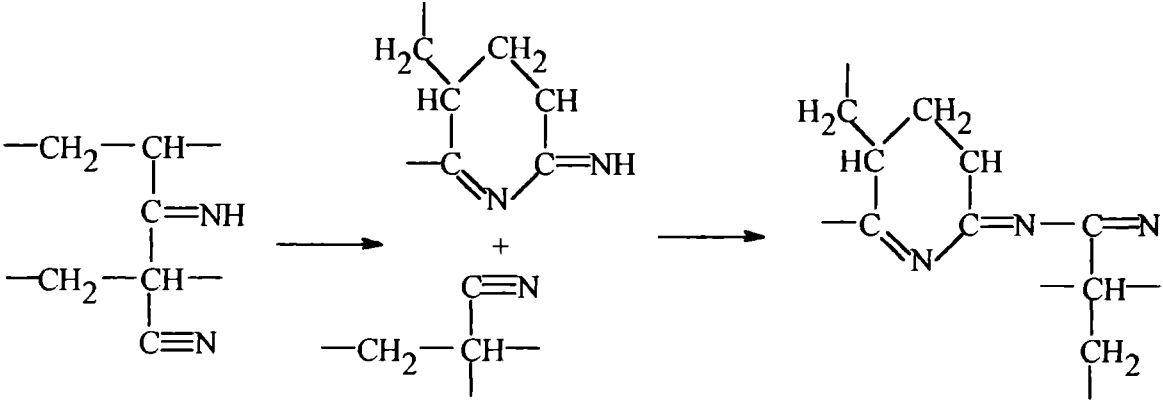


Figura 9.14. Radiodegradarea oxidativă a polienulelor

Iradierarea acrilonitrililor conduce la formarea de compuși oxigenați, simultan cu produși de ciclizare. Mecanismul degradării acrilonitrililor este prezentat în figura 9.15.



(a) formarea compușilor oxigenați



(b) formarea structurilor ciclice

Figura 9.15. Degradarea polimerilor acrilonitrilici.

STABILIZAREA POLIMERILOR LA DEGRADAREA OXIDATIVĂ

Problema stabilizării polimerilor reprezintă un aspect extrem de important al menținerii sau, mai mult, a măririi durabilității acestor clase de materiale. Natura radicalică a autooxidării polimerilor a impus producerea de materiale de stabilizare (antioxidanți) care să încetinească procesul de degradare oxidativă. Compuși care prezintă proprietăți de prevenire a degradării oxidative trebuie să conțină un atom de hidrogen mobil pentru a fi ușor substituit cu radicalii mediului de stabilizat. Cei mai cunoscuți antioxidanți care reacționează cu radicalii peroxil sunt fenolii sau aminele împiedicate steric (compușii în care funcțiunea OH sau aminică este ecranată de grupări alchilice voluminoase, ca de exemplu *t*-butilul). Ei intervin în lanțul procesului de oxidare prin blocarea radicalilor peroxi și deci întrerup propagarea oxidării.

În mod curent antioxidanții fenolici sunt folosiți pentru a mări stabilitatea termică pe când aminele împiedicate steric sunt eficiente pentru procesul de fotostabilizare. În ultimul timp, un accent deosebit se pune pe efectul sinergic al antioxidanților pentru a se obține o activitate deosebit de ridicată.

Calea prin care aditivii de stabilizare reacționează cu radicalii peroxil este, într-o primă fază, formarea de radicali aroxil relativ stabili la temperatura obișnuită. Aroxilii formați reacționează cu alți radicali peroxi formând peroxi - 2, 5 -ciclohexadienone sau se stabilizează cu formarea de benzochinone, difenochinone sau stilbenchinone. Efectul măsurabil este dependent de implicarea transformărilor succesive ale radicalilor antioxidantului în captarea radicalilor peroxi. Se preconizează chiar un autohomosinergism ca rezultat al cooperării dintre antioxidantul fenolic inițial și produșii lui de transformare specificați. În felul acesta se modifică activitatea de captare a radicalilor materialului degradat. În figura 10.1 se prezintă o schemă de principiu care descrie principalele căi de reacție a fenolilor ecranați cu radicalii peroxil ca un exemplu pentru activitatea antioxidanților întrerupătorilor de lanț.

Mecanismul altor antioxidanți, cei de prevenirea oxidării constă în descompunerea peroxizilor fără a forma radicali liberi (figura 10.2a). Fosfiții acționează în acest mod, dar sunt posibile și reacții cu radicali peroxi sau alcoxi (figura 10.2b), reacții care au loc pe măsură ce concentrația acestor intermediari oxigenați devine relevantă. În mod similar se comportă sulfurile care se comportă ca antioxidanți secundari (figura 10.c) și care, prin transformarea hidroperoxizilor în alcooli, previn formarea a doi radicali ($RO\cdot$ și $\cdot OH$) prin descompunerea intermediarului generat în

lanțul de degradare radiochimică oxidativă.

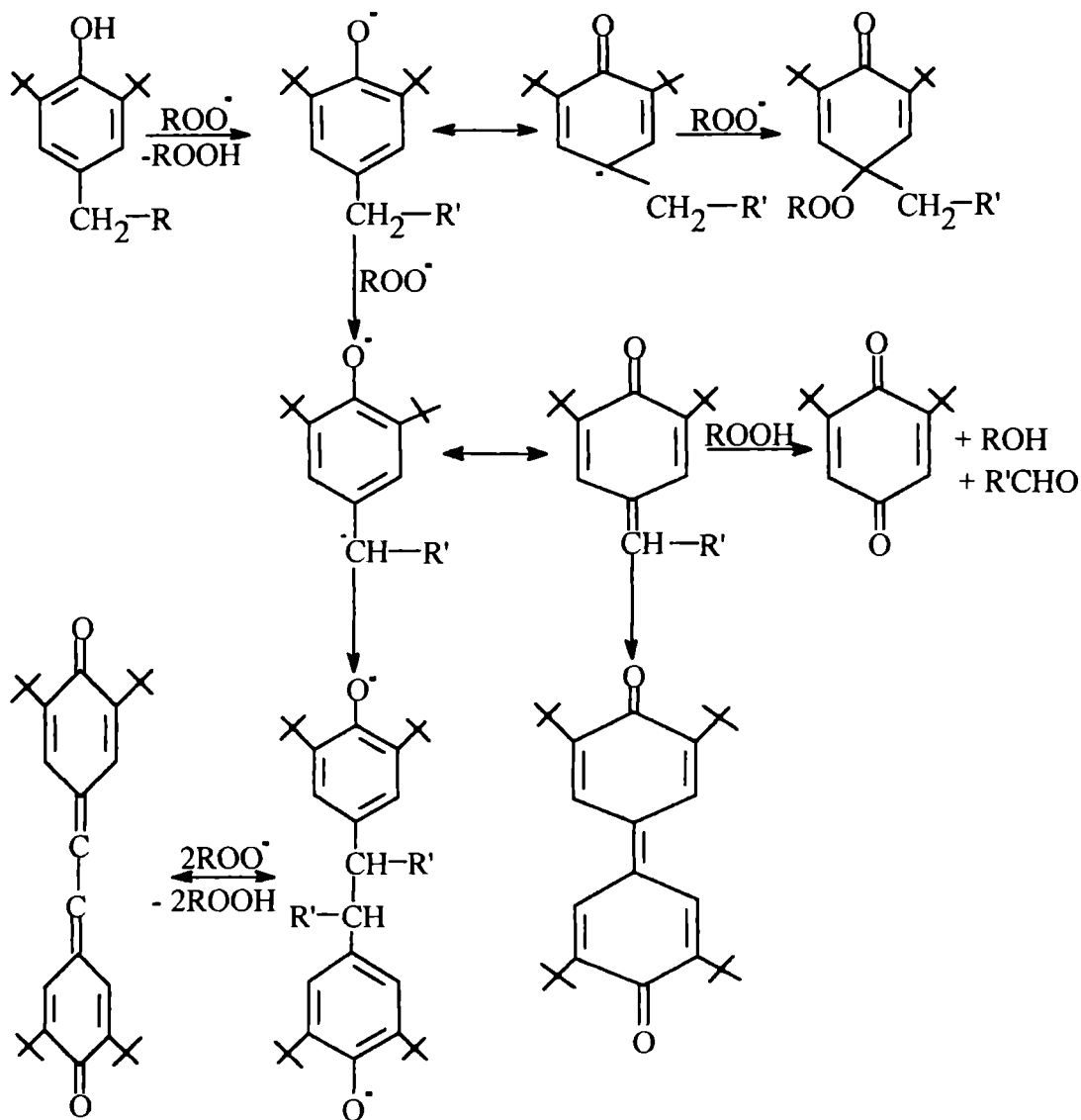


Figura 10.1. Mecanismul de stabilizare al fenolilor ecranati

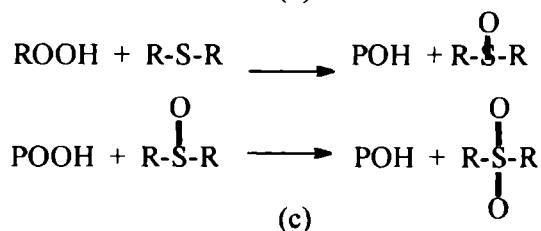
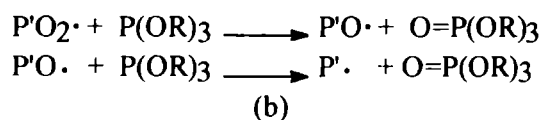
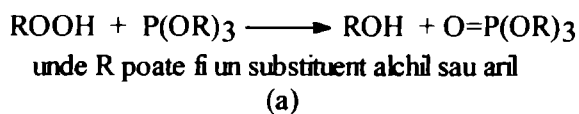


Figura 10.2. Mecanismul de stabilizare al antioxidanților de prevenire

Structura aditivilor de stabilizare are un rol esențial asupra eficacității lor, influențele electronice reprezentând un factor cheie în mobilitatea atomului de hidrogen al grupărilor OH ale fenolilor. Se pot menționa trei factori structurali care determină eficacitatea antioxidanților fenolici:

- ecranarea grupelor OH care condiționează stabilitatea aroxilului format prin reacția cu radicalii peroxil, împiedicând inițierea unui nou lanț de reacții;
- existența în poziția *para* față de OH a unui substituent care să permită reacții ulterioare ale aroxilului cu radicali peroxil;
- masa moleculară a antioxidantului trebuie să fie suficient de mare pentru a se minimaliza pierderile prin evaporare, dar să permită difuzia stabilizatorului prin masa de substrat polimeric.

Un factor important în stabilirea condițiilor de eficacitate maximă este temperatura de lucru. Antioxidanții foarte eficace la o anumită temperatură își pierd din activitate la alte temperaturi. Mai mult, domeniul de concentrație al antioxidantului trebuie să fie bine ales pentru a realiza o stabilizare corespunzătoare. Tabelul 10.1 ilustrează dependența timpului de inducție al oxidării polietilenei stabilizată cu Irganox 1010 de concentrația aditivului.

Tabelul 10.1. Timpul de inducție al oxidării polietilenei stabilizată cu Irganox 1010 la diferite concentrații de stabilizator

Concentrație AO (%)	Perioada de inducție a oxidării (min)					
	190 ⁰ C	195 ⁰ C	200 ⁰ C	205 ⁰ C	210 ⁰ C	215 ⁰ C
0,025	25,8	14,9	7,8	5,5	-	-
0,050	46,2	27,4	16,3	11,0	6,5	-
0,075	81,5	51,9	30,0	18,2	11,8	6,7
0,100	106,3	68,6	41,6	26,4	15,3	8,6
0,150	-	112,2	67,4	41,3	36,0	16,8

În timpul degradării polimerilor stabilizați antioxidantul se consumă astfel încât se ajunge la un moment dat când procesul de oxidare nu mai este inhibat. Sfârșitul acestei perioade de inducție a oxidării poate fi determinat prin diferite metode fizico-chimice.

Măsurătorile cinetice efectuate pentru determinarea vitezei de consum a antioxidanților în polietilenă și în polipropilenă au condus la reacții de ordinul zero sau unu. Din datele experimentale se poate calcula o energie de activare pentru procesul de degradare oxidativă a polimerilor atât în stare nestabilizată, cât și în prezența diferiților compuși de inhibare a oxidării. Dependența de temperatură a constantelor de viteză corespunzătoare reacției de oxidare a polietilenei permite evaluarea energiilor de activare ale procesului. În funcție de activitatea de stabilizare a

antioxidantului, energia de activare a procesului global de degradare oxidativă poate să prezinte valori specifice. Oxidarea polietilenei de joasă densitate aditivat cu Irganox 1010, tetra-[3-(3,5-di-*t*-butyl-4-hidroxifenil)propionat, necesită 167,43 kJ/mol, în timp ce prezența stabilizatorului Cyanox 1790, tri-*N*-[2,6-dimetil-3-hidroxi-4-*t*-butil-benzil izocianat, implică numai 147,04 kJ/mol. Aceasta înseamnă că primul antioxidant este mai eficient decât al doilea pentru polietilena de joasă densitate.

Acțiunea de stabilizare a unui compus aminic este sintetizată în figura 10.3. În funcție de tăria legăturii N – H activitatea de stabilizare a compusului este mai pronunțată sau mai slabă.

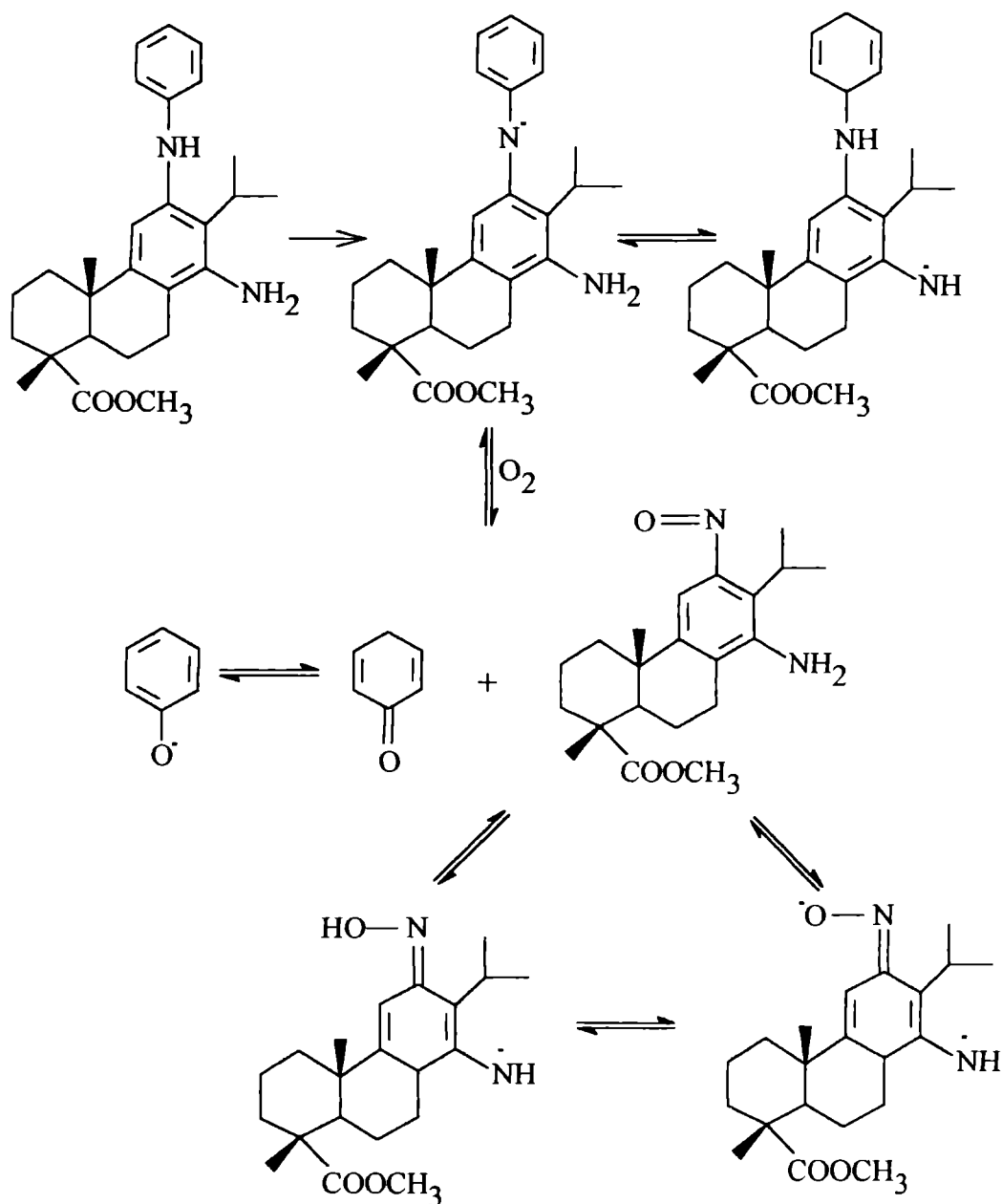


Figura 10.3. Mecanismul de stabilizare al unei amine multifuncționale

Eficiența de stabilizare poate fi evaluată prin diferite metode care sunt capabile să scoată în evidență diferențele de reactivitate a polimerului cu oxigenul molecular din atmosfera de testare. Pentru caracterizarea activității de blocare temporară a procesului de degradare oxidativă se pot defini mai mulți parametri, printre care cei mai folosiți sunt perioada de inducție a oxidării, viteza de propagare a oxidării și energia de activare necesară procesului de stabilizare. Prin **perioada de inducție a oxidării** se înțelege timpul în care nu se pun în evidență modificări chimice; cu alte cuvinte, perioada sa de inducție este intervalul de timp în care concentrația de intermediari oxigenați este atât de mică, încât prezența lor se situează cantitativ sub limita de detecție a aparatului folosit. **Viteza de propagare a oxidării** se definește sub forma cantității de polimer degradată în unitatea de timp în etapa de propagare. Această viteză prezintă o valoare maximă și constantă în stadiul de propagare a oxidării. **Energia de activare a oxidării** este cantitatea de energie consumată de un mol de polimeri pentru a se degrada. Un antioxidant este cu atât mai eficient, cu cât perioada de inducție este mai lungă, cu cât viteza de propagare a oxidării este mai mică și cu cât energia de activare a procesului are valoare mai ridicată. În figura 10.4 sunt prezentate oxidograme pentru probe de polietilenă de joasă densitate aditivată cu diferiți compuși cu proprietăți de antioxidanți.

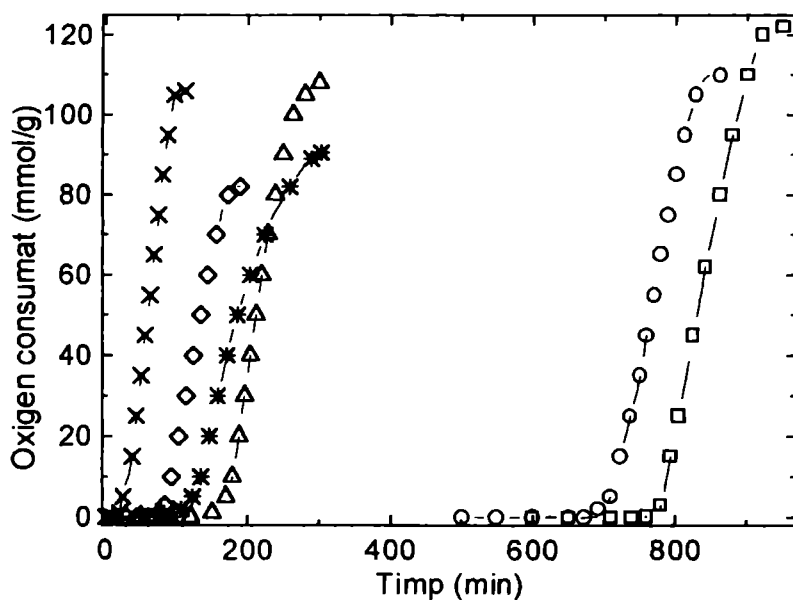


Figura 10.4. Dependența de timp a consumului de oxigen pentru probe de PEJd stabilizată cu diferiți compuși: (x) nestabilizat; (□) aditiv aminic A11; (○) aditiv aminic A8; (Δ) Irganox 1076; (*) seleniu elementar; (◇) Irganox 1081.

În timpul iradierii, transferul de energie afectează nu numai substratul polimeric, ci și aditivii, fapt care a condus la apariția termenului antirad pentru stabilizatorii care conferă o

stabilitate radiochimică polimerilor în care sunt introduși. În general, eficiența aditivului de stabilizare este bună până la o doză de aproximativ 80-100 kGy dacă suportul polimeric prezintă o stabilitate moderată sau bună la acțiunea radiațiilor ionizante. Acest aspect se poate considera ca un aspect de bază în operațiile de sterilizare radiochimică. Este evident că eficacitatea unui antioxidant va determina atât concentrația în care el se adaugă polimerului, cât și doza de iradiere limită, până la care proprietățile polimerului nu prezintă modificări majore.

În figura 10.5 sunt prezentate oxidogramele obținute pentru probe de polietilenă de joasă densitate iradiate cu radiații γ la diferite doze. Se poate remarca diferența mare de comportament la primirea dozelor mici, acolo unde modificările induse în concentrația antioxidantului sunt importante (figura 10.6).

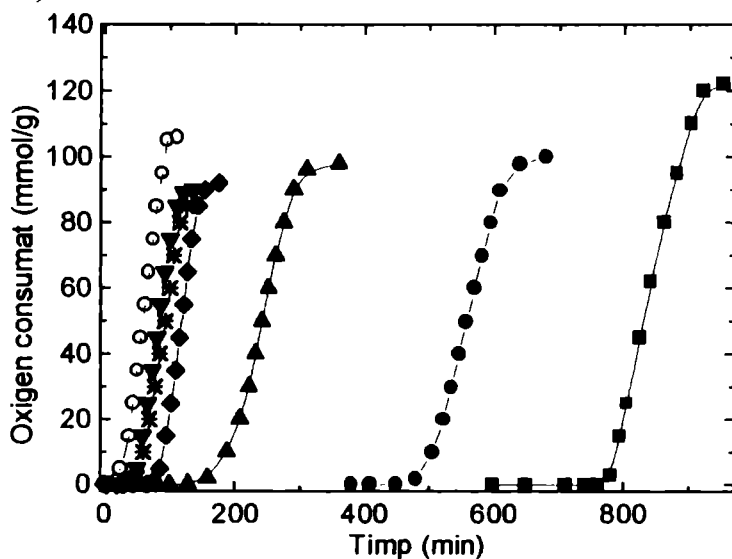


Figura 10.5. Oxidogramele probelor de PEJd aditate cu antioxidantul aminic A11 obținute la 190°C în aer pe probe iradiate la diferite doze.

(○) neaditivată; (■) neiradiată; (●) 10 kGy; (▲) 25 kGy; (◆) 40 kGy; (▼) 55 kGy, (*) 70 kGy.

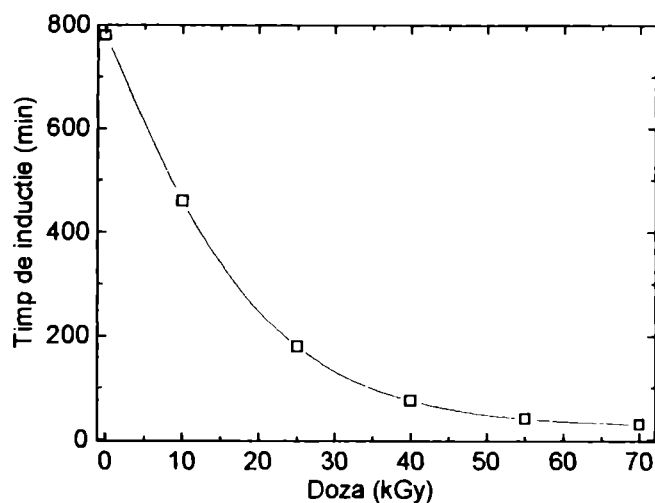


Figura 10.6. Diagrama scăderii activității de stabilizare, măsurată prin timpul de inducție, pentru probe de polietilenă de joasă densitate stabilizată cu antioxidantul aminic A11 și expuse la diferite doze totale gama.

Efectul sinergic manifestat de cupluri de antioxidanți este rezultatul unei cooperări a celor doi sau trei stabilizatori în sensul măririi timpului de inducție a oxidării mai mult decât suma valorilor similare pentru componenți. În tabelul 10.2 sunt prezentate astfel de valori pentru cupluri de antioxidanți seleniu elementar-triazine. Se poate remarca importanța structurii chimice (figura 10.7) a componentelor, care permite mărirea eficienței sistemului de antioxidanți

Tabelul 10.2. Efectul sinergic al cuplurilor triazină-seleniu elementar

ADITIV	Raport triazină / Se		
	0.3	0.6	1.00
T2	1,09	1,17	1,22
T3	0,97	0,94	-
T4	0,62	-	0,88
T5	1,17	1,31	1,31
T6	0,63	0,49	-
T7	1,33	1,49	1,62
Irganox 565	1,09	1,55	2,00

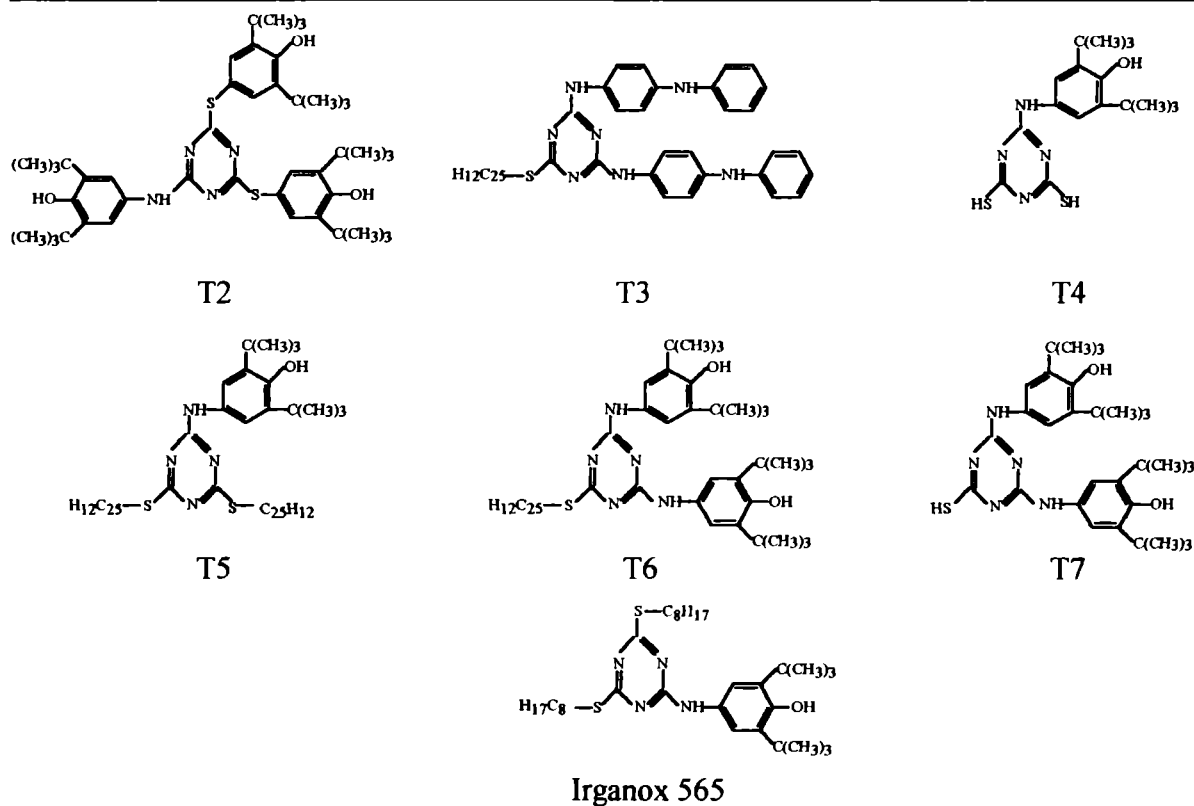


Figura 10.7. Structurile moleculare ale antioxidanților folosiți în determinările prezentate în tabelul 10.2

De altfel, eficiența de stabilizare este rezultatul unei configurații capabile să permită realizarea unei reactivități locale ridicate, adică să poată reacționa cu radicalii liberi sau radicalii peroxil pentru a bloca propagarea lanțului de degradare oxidativă. Un exemplu elocvent este diferența între activitățile diferiților membri ai seriei Irganox.

Antioxidanții au o viață limitată în polimeri: Conform mecanismelor de stabilizare se pot identifica intermediarii formați în timpul stabilizării exemplificând transformările în care sunt implicați. Unii compuși cu proprietăți antioxidante contribuie la împiedicarea alterării structurilor moleculare atât prin formele lor primare de existență, cât și prin intermediari (figura 10.8). Nu toți antioxidantii formează intermediari capabili să contribuie la păstrarea stabilității termochimice sau radiochimice. Intermediarii pot fi și pro-oxidanți. Un exemplu este seleniul elementar care este un stabilizator bine cunoscut în chimie și biologie. Prin oxidare el formează dioxidul de seleniu, care, la rândul său, prezintă proprietăți de antioxidant. Dar acidul selenic este un derivat pro-oxidant.

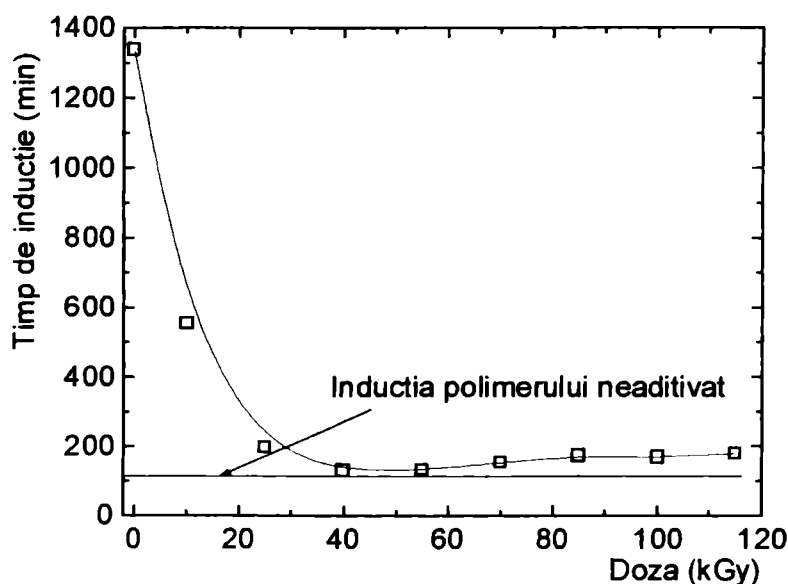


Figura 10.8. Modificarea timpului de inducție a oxidării polietilenei de joasă densitate stabilizată cu o amină derivată din colofoniu după expuneri la diferite doze γ .

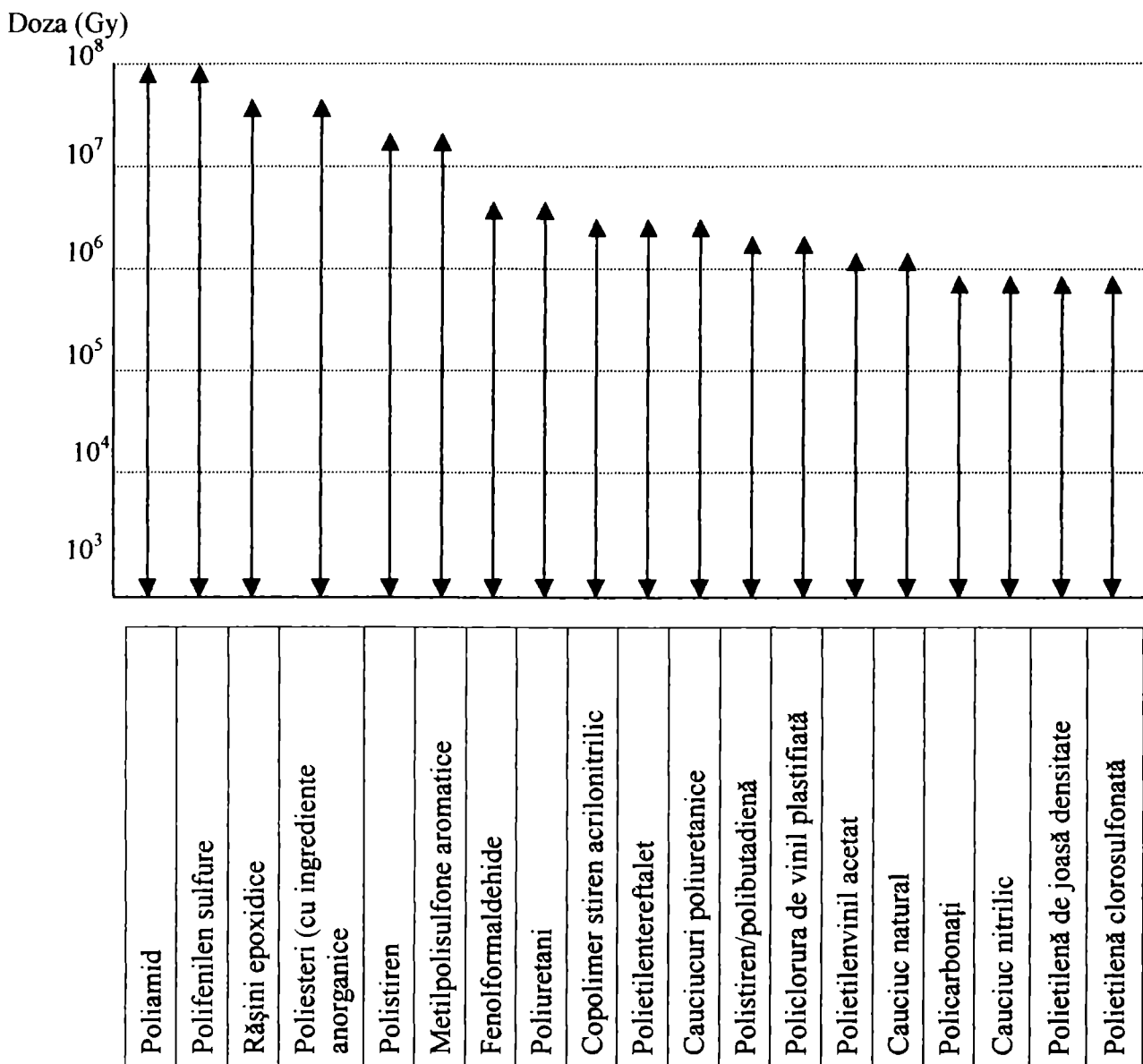
Majoritatea polimerilor nu pot fi prelucrați și utilizați fără antioxidanți, care sunt folosiți în concentrații foarte mici de ordinul a doar câteva zecimi de procent. Antioxidanții au atins foarte repede o poziție cheie în ingredientele constituente ale rețetelor tehnologice. Polimerii pot fi folosiți în cele mai diverse domenii, inclusiv cel nuclear, în condițiile în care instabilitatea produselor limitează durabilitatea lor.

ANEXE

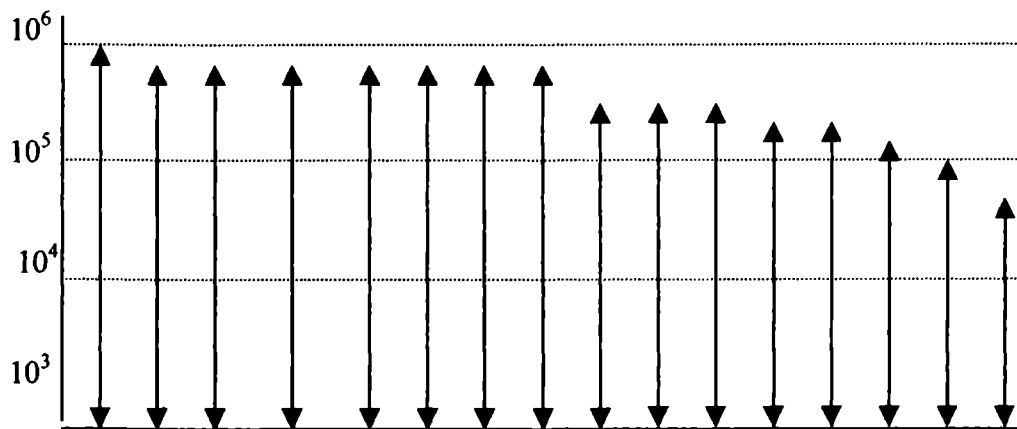
Radiostabilitatea polimerilor

Tabelul A1.1

Dozele corespund valorilor la care alungirea la rupere se reduce cu 50 %. Dozele debit se situează, în cea mai mare parte a cazurilor, în domeniul $10^4 - 10^5$ Gy/h, iradierile efectuându-se pe eşantioane cu un grad scăzut de oxidare.



Doza (Gy)



Cauciuc etilen-propilenic
Cauciuc acrilic
Polifluorura de vinil
Poli(etilen tetra)fluoretilenă
Cauciuc policloroprenic
Poliamidă alifatică
Alcool polivinilic
Poli(etilen de înaltă densitate)
Cauciuc siliconic
Polimeri derivați din celuloză
Polimetilmetacrilat
Polipropilenă
Polifluorocloretilenă
Cauciuc butilic
poli(tetra)fluoretilenă
Polioximetilenă

Tabelul A1.2

Randamente radiochimice de reticulare și de scindare

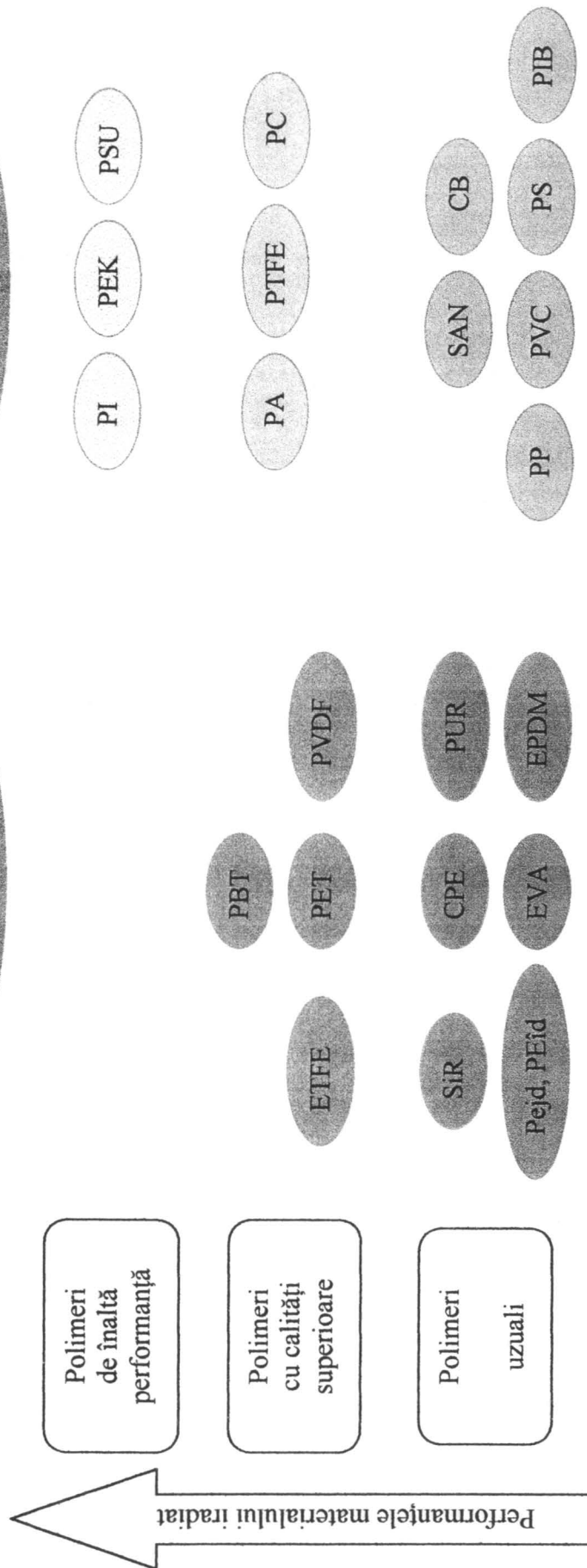
Polimer	Randament de reticulare, G(X)	Randament de scindare G(S)
Poli(etilen de joasă densitate)	0,8 – 1,1	0,4 – 0,5
Poli(etilen de înaltă densitate)	0,5 – 1,1	0,4 – 0,5
Polivinilfluorura	1,00	0,30
Polimetilmetacrilat	0,50	0,77
Polimetilacrilat	0,50	0,04
Nylon 6	0,67	0,68
Nylon 6,6	0,50	0,70
Polivinilacetat	0,30	0,07
Polipropilena atactică	0,27	0,22
Polipropilena izotactică	0,16	0,24
Polistiren	0,019 – 0,051	0,0094 – 0,019
Cauciucul natural	1,05	0,1 – 0,2
Polibutadiena	5,3	0,53
Poli(tetra)fluoretilenă	0,1 – 0,3	3,0 – 5,0
Poliizobutilenă	0,5	5
Celuloză	(mic)	11

Corelarea structurii polimerilor cu proprietățile de interes aplicativ în vederea obținerii unui randament maxim de radioprocésare

Tabelul A2.1

Proprietate	Caracteristică	Tip de polimer
Rigiditate dielectrică ridicată	<ul style="list-style-type: none"> • material nepolar • rezistent la difuzia apei 	<ul style="list-style-type: none"> • poliolefine (PE, EPDM) • compuși fluorurați (PTFE, ETFE) • compuși siliconici
Flexibilitate și maleabil	<ul style="list-style-type: none"> • cristalinitate redusă • temperatură de tranziție sticloasă mică 	<ul style="list-style-type: none"> • elastomeri • PVC plasticizat
Integritate la temperaturi ridicate	<ul style="list-style-type: none"> • Temperatură ridicată de topire • Susceptibilitate de reticulare 	<ul style="list-style-type: none"> • polimeri rezistenți la uzură (PETP, CSM, PEI)
Rezistență la foc	<ul style="list-style-type: none"> • stabilitate la piroliză • compatibilitate cu ignifuganți 	<ul style="list-style-type: none"> • materiale speciale (PTFE, ETFE) • compuși reticulați
Rezistență la uleiuri	<ul style="list-style-type: none"> • grupe superficiale polare 	<ul style="list-style-type: none"> • poliuretani • poliamide • poliesteri • cauciucuri nitrilice sau acrilice
Folosire exterioară	<ul style="list-style-type: none"> • stabilitate la intemperii • compatibilitate cu aditivi specifici 	<ul style="list-style-type: none"> • materiale stabilizate cu antioxidanți
Preț de cost scăzut	<ul style="list-style-type: none"> • accesibilitate 	<ul style="list-style-type: none"> • poliolefine • PVC

Clasificarea polimerilor în funcție de comportarea lor în câmp de radiații



Repartiția dozei în probe iradiate cu electroni accelerați

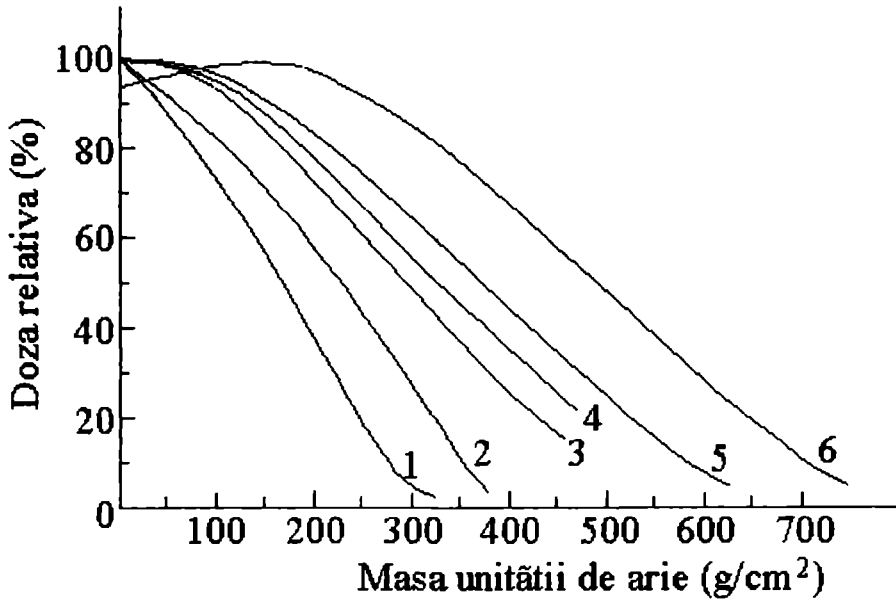


Figura A4.1. Distribuția dozei în funcție de adâncimea de penetrare.

(1)	150 keV	83 g/m ²	(4)	230 keV	258 g/m ²
(2)	180 keV	133 g/m ²	(5)	250 keV	308 g/m ²
(3)	210 keV	213 g/m ²	(6)	280 keV	398 g/m ²

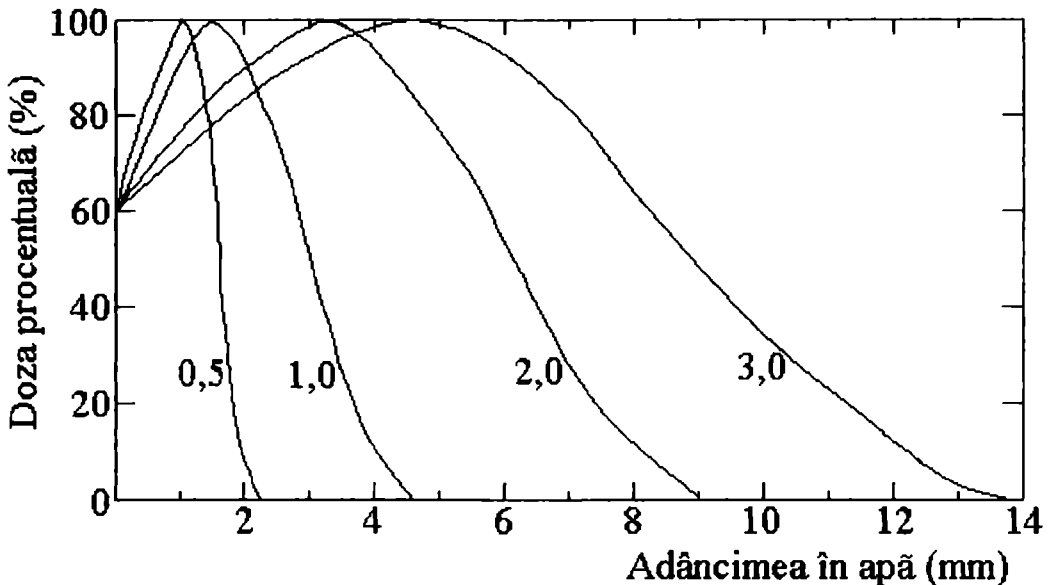


Figura A4.2. Doza relativă la diferite adâncimi în apă pentru mai multe energii ale electronilor incidenti (Valorile de energie exprimate în MeV sunt menționate în dreptul fiecărei curbe)

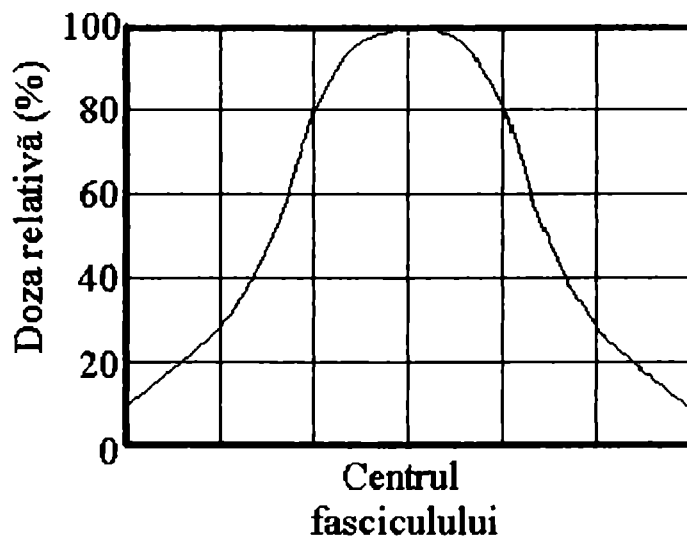


Figura A4.3. Distribuția axială de doză într-un fascicul de electroni accelerați.

Caracteristicile câtorva dozimetre polimerice

Dozimetro	Formula	Domeniul de utilizare (Gy)	Lungimea de undă de evaluare (nm)
Poliamidă colorată	$(C_7H_3NO)_n$	$10^3 - 2 \cdot 10^5$	510, 550, 600
Policarbonat	$(C_{16}H_{16}O_3)_n$	$10^4 - 5 \cdot 10^5$	290, 300, 325
Policlorostiren colorat	$(C_{17}H_{18}Cl_2)_n$	$10^3 - 2 \cdot 10^5$	430, 630
Polieterentereftalat	$(C_{10}H_8O_4)_n$	$5 \cdot 10^4 - 10^7$	325, 330
Polimetilmetacrilat	$(C_5H_8O_2)_n$	$10^3 - 5 \cdot 10^4$	305, 315
Polimetilmetacrilat colorat în roșu	$(C_5H_8O_2)_n$	$5 \cdot 10^3 - 5 \cdot 10^4$	615, 640
Polimetilmetacrilat colorat în maro	$(C_5H_8O_2)_n$	$10^3 - 5 \cdot 10^4$	603, 651
Polistiren colorat	$(C_8H_8)_n$	$5 \cdot 10^2 - 5 \cdot 10^5$	610, 640
Politerafluoretilenă	$(C_2F_4)_n$	$3 \cdot 10^2 - 10^7$	Rezonanță electronică de spin
Alcool polivinilic colorat	$(C_2H_4O)_n$	$10^2 - 3 \cdot 10^4$	525
Policlorură de vinil	$(C_2H_3Cl)_n$	$5 \cdot 10^3 - 6 \cdot 10^4$	396, 480
Policlorură de vinil colorată	$(C_2H_3Cl)_n$	$10^3 - 10^6$	diferite
Polifluorura de vinil	$(C_2H_3F)_n$	$10^4 - 3 \cdot 10^5$	315

Energii de activare pentru scindarea lanțului principal

Polimer	Energia de activare (kJ/mol)
Polietilenă	28,2
Polivinilacetat	28,1
Polivinilfluorură	27,7
Polipropilenă	24,3
Polistiren	20,4
Polimetilacrilat	23,4
Poli- α -metilstiren	22,8
Polivinilclorură	20,9
Polivinilidenfluorură	31,4
Polimetilmetacrilat	20,4
Poliizobutilenă	18,2
Politetrafluoretilenă	35,1

VERIFICAT
2017

VERIFICAT
2007

B

DE SPIRITU ET ANIMA
**Biblioteca
Centrală
Universitar.
CAROL I**

**DATA
RESTITUIRII**

DATA RESTITUIRII		

ISBN 973-575-803-2

Lei 75000